

**UNIVERSIDAD NACIONAL
TORIBIO RODRÍGUEZ DE MENDOZA DE AMAZONAS**



**FACULTAD DE INGENIERÍA Y CIENCIAS AGRARIAS
ESCUELA PROFESIONAL INGENIERÍA AGRÓNOMA**

**TESIS PARA OBTENER EL TÍTULO PROFESIONAL DE
INGENIERO AGRÓNOMO**

**BIOACUMULACIÓN DEL CADMIO (Cd) EN
PLANTACIONES DE CACAO (*Theobroma cacao L.*)
ASOCIADAS A LA COOPERATIVA APROCAM EN LA
REGIÓN AMAZONAS**

Autor: Bach. Felix Antonio Tuesta Gomez

Asesor: Dr. Segundo Manuel Oliva Cruz

Co-Asesor: Mg. Nilton Beltrán Rojas Briceño

Registro: (.....)

CHACHAPOYAS – PERÚ

2022

DATOS DE ASESORES

Dr. Segundo Manuel Oliva Cruz

DNI N° 05374749

Registro ORCID N° 0000-0002-9670-0970

<https://orcid.org/0000-0002-9670-0970>

Campo de la Investigación y Desarrollo, según la Organización para la Cooperación y el Desarrollo Económico (OCDE):

4.00.00 – Ciencias agrícolas

4.01.00 – Agricultura, Silvicultura, Pesquería

4.01.06 -- Agronomía

DEDICATORIA

A MI FAMILIA

A mis padres que me permitieron dar este paso en mi vida profesional gracias a su apoyo incondicional. A mis hermanos por confiar en mí, darme su apoyo y motivarme en todo momento.

A MIS AMIGOS

A todas las personas que me brindaron su apoyo y me ayudaron a seguir a delante, amigos, compañeros y docentes.

AGRADECIMIENTO

Esta tesis se realizó como parte del proyecto “Fitoextracción de cadmio con hierba mora (*Solanum nigrum* L.) en suelos cultivados con cacao (*Theobroma cacao* L.) en Amazonas” - FitoCd (contrato N° 366-2019-FONDECYT); financiado por el Fondo Nacional de Desarrollo Científico, Tecnológico y de Innovación Tecnológica (FONDECYT) y ejecutado por el Instituto de Investigación para el Desarrollo Sustentable de Ceja de Selva (INDES-CES) de la Universidad Nacional Toribio Rodríguez de Mendoza de Amazonas (UNTRM-A).

A la universidad Nacional Toribio Rodríguez de Mendoza que me acogió en su centro superior de estudios y por todas las oportunidades brindadas a lo largo de mi formación, agradezco el afecto de mis maestros, mis compañeros y a la universidad en general, por todos los conocimientos que me han otorgado.

A mis padres, que siempre me brindaron su apoyo y comprensión en todos los momentos difíciles, son el motivo que me impulsa a seguir a delante y cumplir todas mis metas planteadas.

Felix Antonio Tuesta Gomez

AUTORIDADES UNIVERSITARIAS

Dr. Policarpio Chauca Valqui

Rector

Dr. Miguel Ángel Barrena Gurbillón

Vicerrector Académico

Dra. Flor Teresa García Huamán

Vicerrectora de Investigación

M.Sc. Armstrong Barnard Fernández Jeri

Decano de la Facultad de Ingeniería y Ciencias Agrarias



UNTRM

REGLAMENTO GENERAL
PARA EL OTORGAMIENTO DEL GRADO ACADÉMICO DE
BACHILLER, MAESTRO O DOCTOR Y DEL TÍTULO PROFESIONAL

ANEXO 3-K

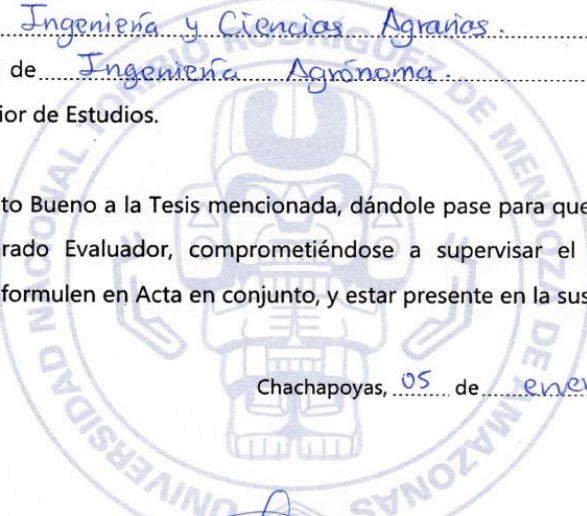
VISTO BUENO DEL ASESOR DE TESIS PARA OBTENER EL TÍTULO PROFESIONAL

El que suscribe el presente, docente de la UNTRM ()/Profesional externo (), hace constar que ha asesorado la realización de la Tesis titulada "Bioacumulación del cadmio (cd) en plantaciones de cacao (Theobroma cacao L.) asociadas a la cooperativa APROCAM en la región Amazonas"; del egresado Bach. Felix Antonio Tuesta Gomez de la Facultad de Ingeniería y Ciencias Agrarias, Escuela Profesional de Ingeniería Agrónoma, de esta Casa Superior de Estudios.



El suscrito da el Visto Bueno a la Tesis mencionada, dándole pase para que sea sometida a la revisión por el Jurado Evaluador, comprometiéndose a supervisar el levantamiento de observaciones que formulen en Acta en conjunto, y estar presente en la sustentación.

Chachapoyas, 05 de enero del 2022


Firma y nombre completo del Asesor
Dr. Cs. Segundo Manuel Oliva Cruz



UNTRM

REGLAMENTO GENERAL
PARA EL OTORGAMIENTO DEL GRADO ACADÉMICO DE
BACHILLER, MAESTRO O DOCTOR Y DEL TÍTULO PROFESIONAL

ANEXO 3-K

VISTO BUENO DEL ASESOR DE TESIS PARA OBTENER EL TÍTULO PROFESIONAL

El que suscribe el presente, docente de la UNTRM ()/Profesional externo (), hace constar que ha asesorado la realización de la Tesis titulada "Bioacumulación del cadmio (cd) en plantaciones de Cacao (Theobroma cacao L.) asociadas a la cooperativa APROCAM en la región Amazonas" del egresado Bach. Félix Antonio Tuesta Gómez, de la Facultad de Ingeniería y Ciencias Agrarias, Escuela Profesional de Ingeniería Agrónoma, de esta Casa Superior de Estudios.



El suscripto da el Visto Bueno a la Tesis mencionada, dándole pase para que sea sometida a la revisión por el Jurado Evaluador, comprometiéndose a supervisar el levantamiento de observaciones que formulen en Acta en conjunto, y estar presente en la sustentación.

Chachapoyas, 05 de enero del 2022

Firma y nombre completo del Asesor
Mg. Néstor Beltrán Rojas Briceño

JURADO EVALUADOR DE LA TESIS



Ing. Mg. Santos Triunfo Leiva Espinosa
PRESIDENTE



Ing. Guillermo Idrogo Vásquez
SECRETARIO



Ing. M. Cs. César Guevara Hoyos
VOCAL

CONSTANCIA DE ORIGINALIDAD DE LA TESIS



ANEXO 3-O

CONSTANCIA DE ORIGINALIDAD DE LA TESIS PARA OBTENER EL TÍTULO PROFESIONAL

Los suscritos, miembros del Jurado Evaluador de la Tesis titulada:

"Bioacumulación del Cadmio (cd), en plantaciones de cacao (*Theobroma cacao L.*) asociadas a la cooperativa APROCAM en la región Amazonas presentada por el estudiante ()/egresado (X) Bach. Felix Antonio Tuesta Gomez de la Escuela Profesional de Ingeniería Agrícola con correo electrónico 7289322451@unrm.edu.pe" después de revisar con el software Turnitin el contenido de la citada Tesis, acordamos:

- La citada Tesis tiene 22 % de similitud, según el reporte del software Turnitin que se adjunta a la presente, el que es menor () / igual () al 25% de similitud que es el máximo permitido en la UNTRM.
- La citada Tesis tiene % de similitud, según el reporte del software Turnitin que se adjunta a la presente, el que es mayor al 25% de similitud que es el máximo permitido en la UNTRM, por lo que el aspirante debe revisar su Tesis para corregir la redacción de acuerdo al Informe Turnitin que se adjunta a la presente. Debe presentar al Presidente del Jurado Evaluador su Tesis corregida para nueva revisión con el software Turnitin.

Chachapoyas, 25 de enero del 2022



SECRETARIO

PRESIDENTE

VOCAL

OBSERVACIONES:

.....
.....

ACTA DE SUSTENTACIÓN DE LA TESIS



ANEXO 3-Q

ACTA DE SUSTENTACIÓN DE TESIS PARA OBTENER EL TÍTULO PROFESIONAL

En la ciudad de Chachapoyas, el día 10 de marzo del año 2022 siendo las horas, el aspirante: Felix Antonio Tuesta Gomez, defiende en sesión pública presencial () / a distancia (X) la Tesis titulada: Bioacumulación del cadmio (Cd) en plantaciones de cacao (*Theobroma cacao L.*) asociadas a la cooperativa APROCAM en la región, Amazonas teniendo como asesor a Drs. Segundo Manuel Oliva Cruz, para obtener el Título Profesional de Ingeniero Agrónomo, a ser otorgado por la Universidad Nacional Toribio Rodríguez de Mendoza de Amazonas; ante el Jurado Evaluador, constituido por:

Presidente: Ing. Mg. Santos Thunfo Leiva Espinoza

Secretario: Ing. Guillermo Idrogo Vásquez

Vocal: Ing. M. Cs. Cesar Gerara Hoyos.



Procedió el aspirante a hacer la exposición de la Introducción, Material y métodos, Resultados, Discusión y Conclusiones, haciendo especial mención de sus aportaciones originales. Terminada la defensa de la Tesis presentada, los miembros del Jurado Evaluador pasaron a exponer su opinión sobre la misma, formulando cuantas cuestiones y objeciones consideraron oportunas, las cuales fueron contestadas por el aspirante.

Tras la intervención de los miembros del Jurado Evaluador y las oportunas respuestas del aspirante, el Presidente abre un turno de intervenciones para los presentes en el acto de sustentación, para que formulen las cuestiones u objeciones que consideren pertinentes.

Seguidamente, a puerta cerrada, el Jurado Evaluador determinó la calificación global concedida a la sustentación de la Tesis para obtener el Título Profesional, en términos de:

Aprobado (X)

Desaprobado ()

Otorgada la calificación, el Secretario del Jurado Evaluador lee la presente Acta en esta misma sesión pública. A continuación se levanta la sesión.

Siendo las 17:00 horas del mismo día y fecha, el Jurado Evaluador concluye el acto de sustentación de la Tesis para obtener el Título Profesional.

SECRETARIO

PRESIDENTE

VOCAL

OBSERVACIONES:

.....
.....

ÍNDICE GENERAL

DATOS DE ASESOR	ii
DEDICATORIA.....	iii
AGRADECIMIENTO	iv
AUTORIDADES UNIVERSITARIAS	v
VISTO BUENO DEL ASESOR.....	vi
VISTO BUENO DEL COASESOR.....	vii
JURADO EVALUADOR DE LA TESIS	viii
CONSTANCIA DE ORIGINALIDAD DE LA TESIS.....	ix
ACTA DE SUSTENTACIÓN DE LA TESIS.....	x
ÍNDICE GENERAL	xi
ÍNDICE DE TABLAS	xii
ÍNDICE DE FIGURAS	xiii
RESUMEN	xiv
ABSTRACT.....	xv
I. INTRODUCCIÓN	16
II. MATERIAL Y MÉTODOS	18
2.1. Diseño experimental.....	18
2.2. Población y muestra.....	18
2.3. Variables de estudio	20
2.4. Recolección, secado y almacenamiento de muestras.....	20
2.5. Análisis de las muestras de suelo	21
2.6. Análisis de las muestras de las partes vegetales del cacao.....	21
2.7. Análisis de datos	22
III. RESULTADOS	22
3.1. Análisis físico-químico del suelo de las plantaciones de cacao.....	22
3.2. Contenido de cadmio en las partes vegetales del cacao	27
3.3. Correlación de los parámetros físico químicos del suelo y el contenido de cadmio en las partes vegetales del cacao	33
IV. DISCUSION	38
V. CONCLUSIONES	41
VI. REFERENCIAS BIBLIOGRÁFICAS.....	42
ANEXOS	45

ÍNDICE DE TABLAS

Tabla 1. Variables de estudio.....	18
Tabla 2. Parámetros físico-químicos del suelo a profundidad de 0 cm - 30 cm, a nivel de altitudes (Media ± desviación estándar).....	21
Tabla 3. Parámetros físico-químicos del suelo a profundidad de 30 cm - 60 cm, a nivel de altitudes (Media ± desviación estándar).....	22
Tabla 4. Parámetros físico-químicos del suelo a profundidad de 0 cm - 30 cm, por variedades (Media ± desviación estándar).....	23
Tabla 5. Parámetros físico-químicos del suelo a profundidad de 30 cm - 60 cm, por variedades (Media ± desviación estándar).....	24
Tabla 6. Contingencia de la relación entre la clase textural del suelo de 0-30 cm, la altitud y la variedad del cacao.....	25
Tabla 7. Contingencia de la relación entre la clase textural del suelo de 30-60 cm, la altitud y la variedad del cacao.....	26
Tabla 8. Contenidos de cadmio en las partes vegetales del cacao, por altitudes (Media ± desviación estándar).....	27
Tabla 9. Contenidos de cadmio en las partes vegetales del cacao, por variedades (Media ± desviación estándar).....	27
Tabla 10. Contenidos de cadmio en las partes vegetales del cacao, por textura del suelo de 0-30 cm (Media ± desviación estándar).....	28
Tabla 11. Factor de transferencia entre las partes vegetales del cacao y el suelo a una profundidad de 0-30 cm, por altitud (Media ± desviación estándar).....	29
Tabla 12. Factor de transferencia entre el suelo a una profundidad de 30-60 cm y las partes vegetales del cacao, por altitud (Media ± desviación estándar).....	29
Tabla 13. Factor de transferencia entre el suelo a una profundidad de 0-30 cm y las partes vegetales del cacao, por variedad (Media ± desviación estándar)	30
Tabla 14. Factor de transferencia entre el suelo a una profundidad de 30-60 cm y las partes vegetales del cacao, por variedad (Media ± desviación estándar)	31
Tabla 15. Factor de transferencia entre las partes vegetales de la planta de cacao, por altitud (Media ± desviación estándar).....	31
Tabla 16. Factor de transferencia entre las partes vegetales de la planta de cacao, por variedad (Media ± desviación estándar)	32
Tabla 17. Correlación de la concentración de Cd del suelo a profundidades de 0 – 30 cm y 30 - 60 cm, con la textura del suelo (Media ± desviación estándar).....	33
Tabla 18. Análisis de correlación entre las características químicas del suelo a la profundidad de 0-30 cm y las concentraciones de cadmio en el suelo, las partes vegetales del cacao y altitud	35
Tabla 19. Análisis de correlación entre las características químicas del suelo a la profundidad de 30-60 cm y las concentraciones de cadmio en el suelo, las partes vegetales del cacao y altitud	35
Tabla 20. Análisis de correlación entre las concentraciones de cadmio en las partes vegetales de cacao.....	36

ÍNDICE DE FIGURAS

Figura 1. Mapa fisiográfico de la distribución de los puntos de muestreo en las provincias de Utcubamba, Bagua y Condorcanqui	17
---	----

RESUMEN

El cacao es un cultivo de importancia económica para miles de agricultores en el Perú, los cuales están siendo afectados debido a la presencia de metales pesados como el Cd en sus cultivos. El presente estudio tiene como objetivo determinar la bioacumulación del cadmio (Cd) en las plantaciones de cacao de la región Amazonas. Se tomó 56 puntos de muestreo de las parcelas pertenecientes a la cooperativa de servicios múltiples APROCAM. Se tomaron muestras de suelo y partes vegetales de la planta incluido el fruto. Las muestras se clasificaron en altitudes, variedad y profundidad de muestreo del suelo. Para el análisis estadístico se usó el programa InfosStat, donde se realizó análisis de varianza ANVA ($p<0.05$) de las características físico químicas del suelo relacionado con la altitud y variedad; análisis de varianza entre los contenidos de cadmio en las partes vegetales de la planta con la altitud y variedad y por último un análisis de correlación entre las características físico químicas del suelo y la bioacumulación del cadmio en la planta de cacao. Se encontró una mayor bioacumulación de cadmio en toda la planta de cacao en la variedad CCN51, en altitudes menores a los 400 msnm y en suelos de clase textural franca. El contenido de cadmio en las almendras de cacao de la región Amazonas sobrepasa los límites máximos permitidos, sobre todo en la variedad nativo; estos valores están influenciados por el pH y la altitud a la que se encuentra la plantación.

Palabras clave: Cacao, cadmio, bioacumulación, suelo, fruto.

ABSTRACT

Cocoa is a crop of economic importance for thousands of farmers in Peru, who are being affected due to the presence of heavy metals such as Cd in their crops. The present study aims to determine the bioaccumulation of cadmium (Cd) in cocoa plantations in the Amazon region. 56 sampling points were taken from the plots belonging to the multiple services cooperative APROCAM. Soil and plant parts samples were taken from the plant including the fruit. The samples were classified in altitudes, variety and depth of soil sampling. For the statistical analysis, the InfosStat program was used, where ANVA variance analysis ($p < 0.05$) of the physical-chemical characteristics of the soil related to altitude and variety was performed; analysis of variance between the cadmium contents in the plant parts of the plant with the altitude and variety and finally a correlation analysis between the physical-chemical characteristics of the soil and the bioaccumulation of cadmium in the cocoa plant. A greater bioaccumulation of cadmium was found in the CCN51 variety, at altitudes lower than 400 meters above sea level and in loamy textural class soils. The cadmium content in cocoa beans in some areas of the Amazon region exceeds the maximum permitted limits, these values are influenced by the pH and the altitude at which the plantation is located.

Keywords: **Cocoa, cadmium, bioaccumulation, soil, fruit.**

I. INTRODUCCIÓN

El cacao, *Theobroma cacao*, es un árbol originario de las zonas húmedas del norte de América del Sur (Gregorio et al., 2016). Gracias a su fácil manejo y grandes beneficios económicos, este cultivo ha tenido un incremento bastante marcado en los principales países productores (Casteblanco, 2018).

El Perú es uno de los principales países exportadores de cacao orgánico, la producción se ha incrementado año tras año ya que resulta una alternativa sostenible para mejorar la económica de los agricultores (Arévalo et al., 2016). Actualmente, 223 482 familias están involucrados con la producción de café a nivel nacional (Ministerio de Desarrollo Agrario y Riego, 2019). Entre los años 2009 y 2015 la producción aumentó en un promedio anual de 15,5%, pasando de una producción de 36.8 mil toneladas en el 2009 a una producción de 87, 3 mil toneladas en el 2015 (Romero, 2016). Amazonas, Cajamarca, San Martín y Huánuco son los departamentos que representan el 56% de la producción nacional (Arévalo et al., 2016). Nuestro país ha sido clasificado por la Organización Internacional del Cacao, un país donde se produce principalmente un cacao fino y de aroma (Pedraza, 2017). Sin embargo, actualmente los productores se enfrentan a una fuerte legislación emanada por la Unión Europea, con respecto a los contenidos máximos de metales pesados presentes en los granos de cacao para exportación (Casteblanco, 2018).

Desde el año 2013, la Unión Europea estableció un nuevo límite máximo de metales pesados como el cadmio y el plomo para la exportación de cacao, chocolate y derivados; los cuales entraron en vigor desde el año 2019 (Wong, 2017). Se estableció que los derivados del cacao deberían contener un máximo de 0.3 ppm de cadmio y 1.0 ppm de plomo (Del Aguila, 2017). Estos minerales en ciertas cantidades, pueden ocasionar disfunciones en el organismo de los seres vivos, son altamente tóxicos y se pueden llegar a bioacumularse en los organismos vivos (Cardenas, 2012)

El cadmio (Cd) es un metal pesado que se encuentra distribuido de manera natural en el medio ambiente. Este metal junto con el mercurio y el plomo son considerados como los elementos más tóxicos para el ser humano (Sánchez, 2016). El cadmio no es esencial para las plantas y su presencia se puede deberse al uso de fertilizantes fosfatados (Llatance et al., 2018), la contaminación de los suelos por este metal ha incrementado en los últimos años debido a las actividades humanas (Pedraza, 2017). El cadmio en el cacao se acumula en las semillas, teniendo en cuenta que es utilizado en diversos productos para el consumo

humano, pone en riesgo la salud del consumidor. Por lo cual este producto genera rechazo en el mercado internacional (Mora, 2019).

Actualmente se vienen promoviendo estudios sobre el diagnóstico y alternativas de mitigación, lo cual permitirá incrementar la base de estudio con respecto al cadmio en las plantaciones de cacao. En este estudio se llevará a cabo los análisis del contenido de cadmio tanto en las partes vegetales de la planta, así como el contenido total de cadmio en el suelo, estos resultados servirán para futuras investigaciones, relacionadas a la disminución del cadmio total en el suelo y en el producto comercial.

El objetivo principal de esta investigación es evaluar la bioacumulación del cadmio (Cd) en plantaciones de cacao (*Theobroma cacao* L.) asociadas a la cooperativa APROCAM en la región Amazonas. Los objetivos específicos son establecer las características físico-químicas del suelo en las plantaciones de cacao, establecer las concentraciones de cadmio en la, raíz, tallo, hoja y fruto de plantas de cacao y determinar la correlación de parámetros físico-químicos del suelo y la bioacumulación del cadmio en plantas de cacao.

II. MATERIAL Y MÉTODOS

2.1. Diseño experimental

La presente investigación es descriptiva.

2.2. Población y muestra

Población

La población estuvo conformada por las 235 parcelas cacaoteras registradas y activas en la Cooperativa de Servicios Múltiples APROCAM, ubicadas en las provincias de Utcubamba (40), Bagua (255), y Condorcanqui (5). Se realizará la investigación en las plantaciones de cacao de los agricultores socios de esta cooperativa ya que es una de las más importantes y agrupa a pequeños productores de cacao en Amazonas.

Muestra

Para determinar el tamaño de la muestra se utilizó el Muestreo de Población Finita descrita por Bustamante (2011):

$$n = \frac{z^2 * (p * q) * N}{e^2 * (N - 1) + z^2 * (p * q)}$$

Donde:

n = Tamaño de la muestra

z = Nivel de confianza deseado

p = Proporción deseada

q = Proporción no deseada

e = Margen de error

Con la formula anterior calculamos la muestra para lo cual se toman en cuenta los siguientes datos

Tamaño de la población: 235

Nivel de confianza: 90% = 1.695

$$n = \frac{1.695^2 * (0.5 * 0.5) * 235}{0.1^2 * (235 - 1) + 1.695^2 * (0.5 * 0.5)}$$

$$n = 56$$

Por tanto, este trabajo se llevó a cabo en 56 parcelas de agricultores de cacao orgánico pertenecientes a la Cooperativa de servicios múltiples APROCAM, las cuales están distribuidas en las provincias de Bagua, Utcubamba y Condorcanqui en la región Amazonas (Figura 1).

Muestreo: Se realizó por conveniencia del investigador, de acuerdo a la accesibilidad e importancia que tenían dentro de esta cooperativa. Resultando seleccionadas 8 parcelas la provincia de Condorcanqui, 33 en la provincia de Bagua y 15 en la provincia de Utcubamba. Además, todos los puntos de muestreo fueron debidamente georreferenciados (Anexo 7); se utilizó el programa ArcGIS para el mapa fisiográfico.

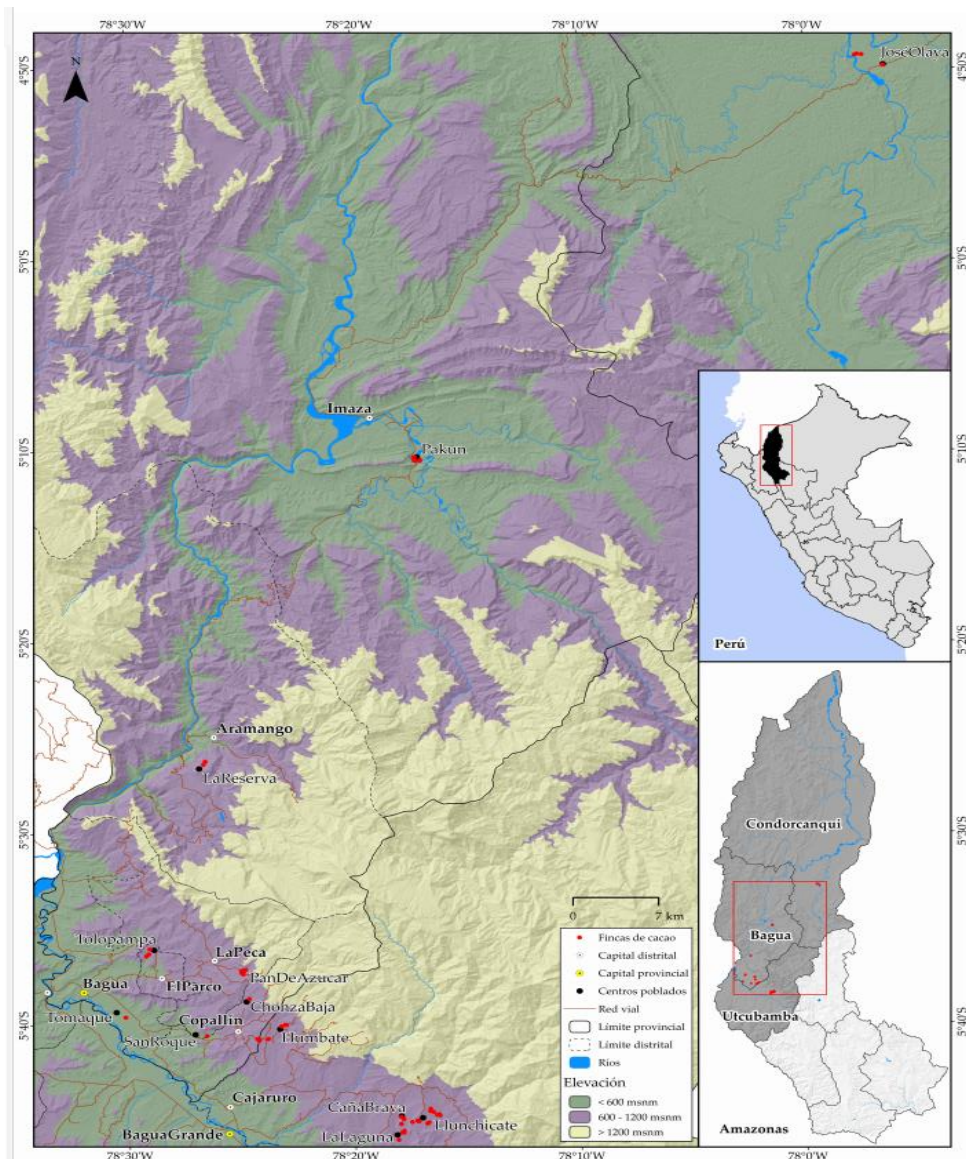


Figura 1. Mapa fisiográfico de la distribución de los puntos de muestreo en las provincias de Utcubamba, Bagua y Condorcanqui.

2.3. Variables de estudio

Tabla 1. *Variables de estudio*

Suelo 0-30 cm	Suelo 30-60 cm	Altitud	Partes vegetales	Variedades
pH	pH	<400 msnm (A1)	Raíz	CCN51
CE	CE	400-800 msnm (A2)	Tallo	Nativo
P	P	>800 msnm (A3)	Hojas	
K	K		Cáscara	
C	C		Testa	
MO	MO		Almendra	
N	N			
Clase textural	Clase textural			
CIC	CIC			
Ca	Ca			
Mg	Mg			
K	K			
Na	Na			
Al	Al			
Cd	Cd			

Fuente: Elaboración propia

2.4. Recolección, secado y almacenamiento de muestras

Las muestras de suelo fueron recolectadas en las 56 parcelas distribuidas en las provincias de Condorcanqui, Bagua y Utcubamba. En cada planta seleccionada se realizó un hoyo en cada punto cardinal de la planta, de donde se extrajo las 4 sub muestras de suelo, a dos intervalos de profundidad (0-30 cm y 30-60 cm), posteriormente se mezclaron las sub muestras, dando como resultado una sola muestra de 1kg (Anexo 1), según lo establece la Guía para Muestreo de Suelos del Ministerio del Ambiente (MINAM, 2014).

Las muestras de suelo en el laboratorio de suelos fueron depositadas en crisoles de porcelana, seguidamente se procedió a realizar el etiquetado, se escribió su respectivo código a cada uno sobre un trozo de cinta masking Tape. Seguidamente se colocó en los crisoles de porcelana en una estufa con temperatura controlada a 40°C, para evitar la pérdida de las sustancias volátiles como el Fósforo, nitrógeno y la descomposición de la materia orgánica (Anexo 2). Cuando las muestras de suelo estaban completamente secas, se procedió con la trituración, ayudándonos con un molino eléctrico y morteros de porcelana. Estas muestras trituradas fueron cambiadas de

recipientes a tápers de plástico redondo, y fueron etiquetadas con el mismo código correspondiente.

Para la recolección del material vegetativo se utilizó una tijera podadora, machete y cuchillo; La raíz se recolectó a 1m de distancia del centro de la planta, con la finalidad de extraer los pelos absorbentes. El tallo se recolectó a 1m de altura del suelo, quitando la corteza de la planta. Las hojas fueron Recolectadas de los 4 puntos cardinales de la planta, recolectando 5 hojas en cada lado. Se tomó 2 frutos por planta para las muestras de cascara, almendra y testa. Las muestras fueron lavadas en alcohol y fueron depositadas en sobres manila, seguidamente fueron enviadas a la Universidad Nacional Toribio Rodríguez de Mendoza (UNTRM), para su posterior secado y análisis en el Laboratorio de Investigación de Suelos y Aguas (LABISAG). Además, cada lugar fue debidamente georreferenciado utilizando un GPS Diferencial Garmin (Anexo 3). Cada una de las muestras vegetales se recolectó del mismo punto donde se recolectaron las muestras de suelo, además se lavó en alcohol antes de meterlas en el sobre manila para su envío. En el laboratorio las muestras de las partes vegetales se enjuagaron con agua destilada y se dejó secar a la intemperie por 2 meses. Los frutos se abrieron y se separaron las semillas de la cascara y se dejó secar a la intemperie (Anexo 4).

2.5. Análisis de las muestras de suelo

Para el análisis del potencial de hidrógeno (pH) y la conductividad eléctrica (CE) se empleó el método relación suelo agua 1:1 (v:v), el contenido de fósforo (P) en el suelo se determinó por el método de Olsen Modificado (Sanchez, 2016), el potasio (K), calcio (Ca), magnesio (Mg), sodio (Na), aluminio (Al) y capacidad de intercambio catiónico (CIC) fueron determinados por el método Saturación con Acetato de Amonio 1N pH 7.0 (Sanchez, 2016); el porcentaje de materia orgánica (MO) fue determinada por el método de Walkley y Black (Walkley & Black, 1934). el cadmio disponible en el suelo fue determinado con la metodología EPA 3050B (Barrueta Rivera, 2013) (Anexo 5).

2.6. Análisis de las muestras de las partes vegetales del cacao

Para el análisis de cadmio de las muestras de las partes vegetales se empleó el método de Vía Seca descrita por (Cardenas, 2012): las muestras se secaron, se picaron y se pesó 2 gr, se lo colocó en un crisol, seguidamente se procedió a quemar la muestra

en una estufa a 450°C a por 5 horas. Las muestras calcinadas se humedecieron con agua destilada, luego se agregó 2ml de Ácido Clorhídrico concentrado, se evaporó el contenido lentamente hasta su sequedad, se agregó nuevamente 2ml de agua destilada y 2ml de Ácido Clorhídrico concentrado, se calentó suavemente hasta que se disuelva la muestra, el contenido se transfirió a una fiola de 50 ml y se dejó filtrar, por último, el contenido se llevó a leer en el Espectrofotómetro de emisión atómica Marca Agilent Technologies, Modelo 4100 MP-AES con una precisión del 95%. (Anexo 6).

2.7. Análisis de datos

Se calcularon los factores de transferencia de las concentraciones de Cd (Oliva et al., 2020), entre todas las partes de la planta y el suelo (Ecuación 1) y entre todas las partes superiores de la planta y la raíz (Ecuación 2):

$$FT = \text{Plant parts Cd} / \text{Soil Cd}, \quad (1)$$

$$FT = \text{Up plant parts Cd} / \text{Root Cd}, \quad (2)$$

El análisis de los resultados se realizó con el Software estadístico InfoStat versión 2018 (Rienzo et al., 2008). Para determinar las características físico-químicas del suelo y las concentraciones de cadmio en la raíz, tallo, hoja y fruto de planta de cacao, se realizó el cálculo de las medias resumen y la prueba de comparaciones múltiples de LSD Fisher ($p \leq 0,05$) para determinar el nivel de significancia de estas características según la altura de muestreo, variedad de cacao cultivada y textura del suelo. Mediante las tablas de contingencia se determinó la relación entre textura del suelo, la variedad y la altura de muestreo ($p \leq 0,05$)

Con respecto a la determinación de la correlación entre los parámetros físico químicos del suelo y la bioacumulación de cadmio en las plantas de cacao (variables numéricas) se realizó una correlación de Pearson ($p \leq 0,05$) entre todas las variables cuantitativas evaluadas.

III. RESULTADOS

3.1. Análisis físico-químico del suelo de las plantaciones de cacao

En el (Anexo 8) se puede observar los resultados obtenidos del análisis de caracterización del suelo en las 56 parcelas muestreadas, los cuales muestran el potencial de hidrógeno (pH), conductividad eléctrica (CE), fósforo (P), potasio (K),

carbono (C), materia orgánica (MO), nitrógeno (N), clase textural, capacidad de intercambio catiónico (CIC), cationes cambiables (Ca^{+2} , Mg^{+2} , K^{+2} , Na^{+2} y $\text{Al}^{+3}+\text{H}^{+}$) y cadmio (Cd).

La tabla 2 presenta los parámetros químicos del suelo a una profundidad de 0 a 30 cm a nivel de 3 pisos altitudinales (A1<400 msnm, A2 >401-800 msnm, A3 >800 msnm), en la altitud 1 se reportan suelos más ácidos con un pH de 6.59 y los suelos más alcalinos se encuentran a altitudes de 400-800 msnm.

Los parámetros que muestran diferencias significativas entre las medias son el pH, CE, K, C, MO, N, CIC, Ca, Mg, K+ y Na. Los valores más altos de las medias que se reportan en la A2 son pH (8.07 ± 0.4), CE (0.39 ± 0.14 ds/m) y K (340.47 ± 88.51 ppm). Se registró un mayor contenido de cadmio en el suelo a una profundidad de 0-30 cm en A3 (0.05 ± 0.14), mientras que en A2 no se detecta contenido de cadmio en el suelo (Anexo 10).

Tabla 2. Parámetros físico-químicos del suelo a profundidad de 0 cm - 30 cm, a nivel de altitudes (Media ± desviación estándar).

Parámetro	A1 (<400 msnm)	A2 (400-800 msnm)	A3 (>800 msnm)
n	11	11	34
pH (1:1)	6.59 ± 0.35 c	8.07 ± 0.4 a	7.22 ± 0.64 b
CE (1:1) ds/m	0.07 ± 0.03 b	0.39 ± 0.14 a	0.30 ± 0.18 a
P (ppm)	8.42 ± 8.25 a	3.33 ± 2.06 b	5.14 ± 4.46 ab
K (ppm)	105.3 ± 55.48 b	340.47 ± 88.51 a	325.12 ± 107.83 a
C (%)	1.57 ± 0.71 b	1.68 ± 1.05 b	2.63 ± 0.91 a
MO (%)	2.70 ± 1.23 b	2.90 ± 1.81 ab	4.53 ± 1.57 ba
N (%)	0.14 ± 0.06 b	0.15 ± 0.09 b	0.23 ± 0.08 a
CIC (meq/100g)	15.49 ± 5.33 c	34.39 ± 2.76 a	29.74 ± 5.8 b
Ca (meq/100g)	7.75 ± 3.25 c	29.68 ± 2.38 a	24.66 ± 5.75 b
Mg (meq/100g)	1.00 ± 0.61 c	3.64 ± 1.44 a	2.38 ± 0.82 b
K (meq/100g)	0.27 ± 0.14 b	0.82 ± 0.24 a	0.75 ± 0.26 a
Na (meq/100g)	0.12 ± 0.03 b	0.26 ± 0.07 a	0.22 ± 0.09 a
Al (meq/100g)	0.00 ± 0.00 a	0.00 ± 0.00 a	0.0029 ± 0.02 a
Cd (ppm)	0.03 ± 0.09 a	0.00 ± 0.00 a	0.05 ± 0.14 a

Medias con igual letra en filas no difieren significativamente según LSD Fisher Alfa=0,05

La tabla 3 presenta los parámetros físicos y químicos del suelo a una profundidad de 30 a 60 cm a nivel de 3 pisos altitudinales (A1<400 msnm, A2 >401-800 msnm, A3 >800 msnm), en la altitud 1 se reportan suelos más ácidos con una media de pH de

6.46 y los suelos más alcalinos se encuentran a altitudes de 400 msnm a 800 msnm con una media de pH de 8.4.

Los parámetros que muestran una diferencia significativa entre las medidas son el pH, CE, K, CIC, Ca, Mg, K+, Na y Al. En A1 se presentan las medias más bajas de todos los parámetros químicos. Los valores más altos de las medias que se presentan en A2 son pH (8.4 ± 0.29), CE (0.31 ± 0.13), K (258.39 ± 83.91), C (1.67 ± 0.8), MO (2.87 ± 1.38), CIC (34.07 ± 5.42), Ca (29.83 ± 4.5), Mg (3.29 ± 1.71 c) y K+ (0.65 ± 0.22 b). Los valores más altos de las medias que se presentan en A3 son P (4.49 ± 4.82) y Al (0.02 ± 0.10). Solo se registró contenido de cadmio en el suelo a una profundidad de 30-60 en A3 (0.02 ± 0.10) (Anexo 11).

Tabla 3. Parámetros físico-químicos del suelo a profundidad de 30 cm - 60 cm, a nivel de altitudes (Media ± desviación estándar)

Parámetro	A1 (<400 msnm)	A2 (400-800 msnm)	A3 (>800 msnm)
n	11	11	34
pH (1:1)	6.46 ± 0.40 c	8.4 ± 0.29 a	7.44 ± 0.73 b
CE (1:1) ds/m	0.03 ± 0.01 c	0.31 ± 0.13 a	0.21 ± 0.15 b
P (ppm)	3.59 ± 3.43 a	2.24 ± 1.78 a	4.49 ± 4.82 a
K (ppm)	80.97 ± 34.94 b	258.39 ± 83.91 a	248.11 ± 98.26 a
C (%)	1.07 ± 0.63 a	1.67 ± 0.80 a	1.62 ± 0.64 a
MO (%)	1.84 ± 1.08 a	2.87 ± 1.38 a	2.79 ± 1.10 a
N (%)	0.09 ± 0.05 b	0.14 ± 0.07 a	0.14 ± 0.05 a
CIC (meq/100g)	16.2 ± 6.01 c	34.07 ± 5.42 a	28.07 ± 6.38 b
Ca (meq/100g)	6.87 ± 2.8 c	29.83 ± 4.5 a	23.15 ± 8.11 b
Mg (meq/100g)	0.77 ± 0.48 c	3.29 ± 1.71 a	1.82 ± 0.85 b
K+ (meq/100g)	0.19 ± 0.11 b	0.65 ± 0.22 a	0.59 ± 0.25 a
Na (meq/100g)	0.11 ± 0.02 b	0.30 ± 0.11 a	0.24 ± 0.11 a
Al (meq/100g)	0.00 ± 0.00 a	0.00 ± 0.00 a	0.02 ± 0.10 a
Cd (ppm)	0.00 ± 0.00 a	0.00 ± 0.00 a	0.02 ± 0.10 a

Medias con igual letra en filas no difieren significativamente según LSD Fisher Alfa=0,05

La tabla 4 presenta los parámetros físicos y químicos del suelo a una profundidad de 0 a 30 cm a nivel de variedades (CCN51 y Nativo) en la variedad CCN51 se reportan suelos más ácidos, con una media de pH de 6.75 y los suelos más alcalinos se relacionan con la variedad nativo con una media de pH de 7.34.

Los parámetros que muestran una diferencia significativa entre las medidas son el pH, CE, K, CIC, Ca, Mg y K+. Se detectó el mayor contenido de cadmio en el suelo a la profundidad de 0-30 cm en plantaciones con cacao CCN51 (0.06 ± 0.12) y los

valores más bajos del contenido de Cd se encontraron en suelos con plantaciones de cacao Nativo (Anexo 12).

Tabla 4. Parámetros físico-químicos del suelo a profundidad de 0 cm - 30 cm, por variedades (Media ± desviación estándar).

Parámetro	CCN51	Nativo
N	7	49
pH (1:1)	6.75±0.47b	7.34±0.72a
CE (1:1) ds/m	0.12±0.08b	0.29±0.19a
P (ppm)	4.18±3.99a	5.60±5.44a
K (ppm)	138.17±120.93b	305.93±118.718a
C (%)	2.03±1.20a	2.26±1.00a
MO (%)	3.00±2.065a	3.90±1.72a
N (%)	0.18±0.10a	0.19±0.09a
CIC (meq/100g)	21.01±7.46b	28.83±7.95a
Ca (meq/100g)	13.3±6.84b	23.61±8.46a
Mg (meq/100g)	1.40±0.97b	2.49±1.22a
K+ (meq/100g)	0.36±0.29b	0.71±0.28a
Na (meq/100g)	0.15±0.08a	0.22±0.09a
Al (meq/100g)	0.00±0.00a	0.02±0.01a
Cd (ppm)	0.06±0.12a	0.04±0.12a

Medias con igual letra en filas no difieren significativamente según LSD Fisher Alfa=0,05

La tabla 5 presenta los parámetros físicos y químicos del suelo a una profundidad de 30 a 60 cm a nivel de 2 variedades de cacao (CCN51 y Nativo) en la variedad CCN51 se reportan suelos más ácidos, con una media de pH de 6.64 y los suelos más alcalinos se relacionan con la variedad nativo con una media de pH de 7.55.

Los parámetros que muestran una diferencia significativa entre las medidas son el pH, K, Ca, K+ y Na. En la variedad CCN51 se presentan las medias más bajas de todos los parámetros químicos analizados. Los valores más altos de las medias se presentan en la variedad Nativo. Solo se detectó contenido de cadmio en el suelo a la profundidad de 30-60 cm en la variedad nativo (0.02±0.08) (Anexo 13).

Tabla 5. Parámetros físico-químicos del suelo a profundidad de 30 cm - 60 cm, por variedades (Media ± desviación estándar).

Parámetro	CCN51	Nativo
n	7	43
pH (1:1)	6.64±0.76b	7.55±0.82a
CE (1:1) ds/m	0.09±0.09a	0.21±0.16a
P (ppm)	1.92±1.7a	4.15±4.36a
K (ppm)	119.45±74.68b	231.28±106.70a

C (%)	1.10±0.61a	1.58±0.69a
MO (%)	1.9±1.06a	2.72±1.19a
N (%)	0.1±0.05a	0.14±0.06a
CIC (meq/100g)	21.19±6.77a	27.74±8.33a
Ca (meq/100g)	11.35±4.04b	22.68±9.97a
Mg (meq/100g)	1.26±0.68a	1.99±1.33a
K+ (meq/100g)	0.29±0.2b	0.55±0.27a
Na (meq/100g)	0.11±0.03b	0.24±0.12a
Al (meq/100g)	0.00±0.00a	0.01±0.08a
Cd (ppm)	0.00±0.00a	0.02±0.08a

Medias con igual letra en filas no difieren significativamente según LSD Fisher Alfa=0,05

En la tabla 6 (Anexo 14), se presentan los valores de contingencia entre la clase textural del suelo a la profundidad de 0-30 cm relacionado con 3 altitudes (A1<400 msnm, A2 >401-800 msnm, A3 >800 msnm) y 2 variedades (CCN51 y Nativo). En A1 se observa un mayor número de muestras que son de la clase textural franco (6) y las clases texturales que no se encontró en esta altitud fue arcilloso y arcilloso arenoso. En A2 se observa una predominancia de la clase textural arcillosa (7), mientras que las clases texturales que no se encontró en esta altitud son fracos y franco arenosos. En la A3 se registra un mayor número de muestras de a clase textural arcilloso (19).

En la clase textural relacionado a la variedad, encontramos que en la variedad CCN51 se registran un mayor número de muestras de clase franco (3), no se registra muestras de clase textural arcilloso, arcilloso arenoso y franco arenoso. En la variedad nativo se encuentra un mayor número de muestras en la clase textural arcilloso (26), y el menor número de muestras es de la clase textural franco arenoso (3).

Tabla 6. Contingencia de la relación entre la clase textural del suelo de 0-30 cm, la altitud y la variedad del cacao.

	Ar.	Ar.A	Fr.	Fr.A.	Fr.Ar	Fr.Ar.A.	Total
A1 (<400 msnm)	0	0	6	3	1	1	11
A2 (400-800 msnm)	7	1	0	0	2	1	11
A3 (>800 msnm)	19	5	0	0	5	5	34
Total	26	6	6	3	8	7	56
CCN51	0	0	3	0	2	2	7
Nativo	26	6	3	3	6	5	49
Total	26	6	6	3	8	7	56

Ar. = Arcilloso; Ar.A. = Arcillo Arenoso; Fr. = Franco; Fr.A. = Franco Arenoso; Fr.Ar. = Franco Arcilloso; Fr.Ar.A. = Franco Arcillo Arenoso.

En la tabla 7 (Anexo 15), se presentan los valores de contingencia entre la clase textural del suelo a la profundidad de 30-60 cm relacionado con 3 altitudes (A1<400 msnm, A2 >401-800 msnm, A3 >800 msnm) y 2 variedades (CCN51 y Nativo). En A1 se observa un mayor número de muestras que son de la clase textural franco (4) y las clases texturales que no se encontró en esta altitud fue arcilloso arenoso, franco arenoso y franco arcilloso arenoso. En A2 se observa una predominancia de la clase textural arenosa (9), mientras que las clases texturales que no se encontró en esta altitud son arcilloso arenoso, fracos, fracos arenosos y fracos arcillosos. En la A3 se registra un mayor número de muestras de a clase textural arcilloso (27).

En cuanto a la clase textural relacionado a la variedad, encontramos que en la variedad CCN51 se registran un mayor número de muestras de clase arenoso (4), no se registra muestras de clase textural arcilloso arenoso, franco arenoso y franco arcilloso arenoso. En la variedad nativo se encuentra un mayor número de muestras en la clase textural arcilloso (34), y el menor número de muestras es de la clase textural franco arenoso (3).

Tabla 7. Contingencia de la relación entre la clase textural del suelo de 30-60 cm, la altitud y la variedad del cacao.

	Ar.	Ar.A	Fr.	Fr.A.	Fr.Ar	Fr.Ar.A.	Total
A1 (<400 msnm)	2	0	4	3	2	0	11
A2 (400-800 msnm)	9	0	0	0	0	2	11
A3 (>800 msnm)	27	3	0	0	2	2	34
Total	38	3	4	3	4	4	56
CCN51	4	0	1	0	2	0	7
Nativo	34	3	3	3	2	4	49
Total	38	3	4	3	4	4	56

Ar. = Arcilloso; Ar.A. = Arcillo Arenoso; Fr. = Franco; Fr.A. = Franco Arenoso; Fr.Ar. = Franco Arcilloso; Fr.Ar.A. = Franco Arcillo Arenoso.

3.2. Contenido de cadmio en las partes vegetales del cacao

Se realizó tres lecturas en el espectrofotómetro de emisión atómica para cada una de las muestras analizadas (Anexo 9), los puntos de muestreo se clasificaron en tres altitudes; 1: altitudes 0-400 msnm, 2: 401-800 msnm y 3: mayores a 800 msnm (Anexo 4). De los resultados obtenidos se elaboró un cuadro resumen donde nos indica las concentraciones de cadmio promedio de raíz, tallo, hoja, cáscara, testa y almendra relacionados con la altitud.

La tabla 8 muestra los contenidos de cadmio en las partes vegetales del cacao, a nivel de 3 pisos altitudinales (A1<400 msnm, A2 >401-800 msnm, A3 >800 msnm). En la altitud 1 se reportan los mayores contenidos de cadmio en todas las partes del cacao y los menores contenidos de cadmio se encuentran a altitudes de 400-800 msnm.

Los parámetros que muestran una diferencia significativa entre las medidas del contenido de cadmio en las partes vegetales del cacao son raíz, tallo, hoja, cáscara, testa y almendra. Se puede observar que los valores máximos de cadmio total den la planta se encuentran a una altitud <400 msnm (8.26 ± 4.20), seguido de >800 msnm (0.91 ± 1.33) y los menores contenidos de cadmio total en la planta se encuentran a una altitud de 400-800 msnm (0.71 ± 0.82) (Anexo 16).

Tabla 8. Contenidos de cadmio en las partes vegetales del cacao, por pisos altitudinales (Media ± desviación estándar).

Parámetro	A1 (<400 msnm)	A2 (400-800 msnm)	A3 (>800 msnm)
N	11	11	34
Raíz (ppm)	2.12 ± 1.4 a	0.06 ± 0.15 b	0.24 ± 0.45 b
Tallo (ppm)	1.21 ± 0.64 a	0.05 ± 0.08 b	0.13 ± 0.31 b
Hoja (ppm)	3.32 ± 2.12 a	0.32 ± 0.36 b	0.37 ± 0.58 b
Cáscara (ppm)	0.90 ± 0.43 a	0.16 ± 0.39 b	0.07 ± 0.14 b
Testa (ppm)	0.70 ± 0.78 a	0.12 ± 0.24 b	0.11 ± 0.13 b
Almendra (ppm)	0.88 ± 0.61 a	0.17 ± 0.24 b	0.19 ± 0.2 b
Total	8.26 ± 4.20 a	0.71 ± 0.82 b	0.91 ± 1.33 b

Medias con igual letra en filas no difieren significativamente según LSD Fisher Alfa=0,05

La tabla 9 muestra los contenidos de cadmio en las partes vegetales del cacao, a nivel de variedades (CCN51 y Nativo). La variedad CCN51 registra los valores más altos de contenido de cadmio en la raíz (0.76 ± 0.57), tallo (0.49 ± 0.35), hoja (1.39 ± 0.9) y cáscara (0.42 ± 0.38). La variedad Nativo registra las medias más bajas de contenido de cadmio en todas las partes vegetales de cacao, excepto en la testa (0.23 ± 0.46) y la almendra (0.33 ± 0.44).

Las partes vegetales del cacao no presentan una diferencia significativa entre las medias del contenido de cadmio clasificado por variedades (Anexo 17).

Tabla 9. Contenidos de cadmio en las partes vegetales del cacao, por variedad cultivada (Media ± desviación estándar).

Parámetro	CCN51	Nativo
N	7	49
Raíz (ppm)	0.76 ± 0.57 a	0.54 ± 1.09 a

Tallo (ppm)	0.49±0.35a	0.30±0.60a
Hoja (ppm)	1.39±0.9a	0.87±1.64a
Cáscara (ppm)	0.42±0.38a	0.22±0.43a
Testa (ppm)	0.20±0.20a	0.23±0.46a
Almendra (ppm)	0.28±0.28a	0.33±0.44a
Total (ppm)	3.54±2.38a	2.51±4.17a

Medias con igual letra en filas no difieren significativamente según LSD Fisher Alfa=0,05

En la tabla 10 se muestran los contenidos de cadmio en las diferentes partes vegetales de la planta, a nivel de las texturas del suelo a la profundidad de 0-30 cm (Arcilloso, Arcilloso arenoso, Franco, Franco arenoso, Franco arcilloso y Franco arcilloso arenoso). En Ar. Se encuentran los valores más bajos de las medias del contenido de cadmio en raíz (0.09±0.15), tallo (0.04±0.05), cáscara (0.07±0.26), testa (0.10±0.17), almendra (0.19±0.21) y el contenido total de cadmio en la planta (0.57±0.65). Los suelos Fr.A presentan los mayores contenidos de cadmio en todas las partes vegetales de la planta de cacao, así como en el total de cadmio acumulado (10.86±4.31).

Todas las partes vegetales del cacao presentan diferencias significativas relacionadas a la textura del suelo a la profundidad de 0-30 cm (Anexo 18).

Tabla 10. *Contenidos de cadmio en las partes vegetales del cacao, por textura del suelo de 0-30 cm (Media ± desviación estándar).*

Parámetro	Ar.	Ar.A.	Fr.	Fr.A.	Fr.Ar.	Fr.Ar.A.
Parcelas (n)	26	6	6	3	8	7
Raíz	0.09±0.15c	0.12±0.21cb	2.07±1.36a	2.85±1.86a	0.38±0.48cb	0.72±0.83b
Tallo	0.04±0.05c	0.06±0.07cb	1.31±0.73a	1.45±0.28a	0.36±0.61b	0.25±0.22cb
Hoja	0.26±0.32b	0.19±0.29b	3.21±1.49a	4.46±3.60a	0.64±0.76b	0.97±1.08b
Cáscara	0.07±0.26b	0.11±0.15b	0.88±0.50a	1.16±0.13a	0.19±0.31b	0.15±0.19b
Testa	0.10±0.17b	0.17±0.12b	0.76±0.96a	0.93±0.61a	0.11±0.13b	0.13±0.19b
Almendra	0.19±0.21c	0.20±0.17c	0.89±0.65b	1.30±0.07a	0.27±0.28c	0.11±0.12c
Total	0.57±0.65b	0.64±0.79b	8.23±4.23a	10.86±4.31a	1.67±2.17b	2.23±2.04b

Medias con igual letra en filas no difieren significativamente según LSD Fisher Alfa=0,05

Ar. = Arcilloso; Ar.A. = Arcillo Arenoso; Fr. = Franco; Fr.A. = Franco Arenoso; Fr.Ar. = Franco Arcilloso; Fr.Ar.A. = Franco Arcillo Arenoso.

La tabla 11 muestra el factor de transferencia entre las partes vegetales del cacao y el suelo a la profundidad de 0-30 cm a nivel de 3 altitudes (A1<400 msnm, A2 >401-800 msnm, A3 >800 msnm). En la altitud 1 se reporta los valores más bajos de las medias del factor de transferencia En la altitud 2 no se encuentra factor de transferencia entre las partes vegetales del cacao y el suelo. En la altitud 3 se reportan

los valores de las medias más altas en cuanto al factor de transferencia del cadmio de las partes vegetales y el suelo.

No existe una diferencia significativa entre las medidas del factor de transferencia de las partes vegetales del cacao y el suelo a una profundidad de 0-30 cm por altitudes (Anexo 18).

Tabla 11. Factor de transferencia entre las partes vegetales del cacao y el suelo a una profundidad de 0-30 cm, por altitud (Media ± desviación estándar).

Parámetro	A1 (<400 msnm)	A2 (400-800 msnm)	A3 (>800 msnm)
n	11	11	34
Raíz/suelo	0.38±1.26a	0.00±00a	0.46±1.48a
Tallo/suelo	0.22±0.74a	0.00±00a	0.23±0.88a
Hoja/suelo	0.53±1.75a	0.00±00a	0.88±2.88a
Cáscara/suelo	0.15±0.49a	0.00±00a	0.16±0.6a
Almendra/suelo	0.17±0.56a	0.00±00a	0.46±1.89a
Testa/suelo	0.10±0.32a	0.00±00a	0.13±0.33a
Total/suelo	1.37±4.56a	0.00±0.00a	1.86±5.64a

Medias con igual letra en filas no difieren significativamente según LSD Fisher Alfa=0,05

La tabla 12 muestra el factor de transferencia entre las partes vegetales del cacao y el suelo a la profundidad de 30-60 cm a nivel de 3 altitudes (A1<400 msnm, A2 >401-800 msnm, A3 >800 msnm). En la altitud 1 y 2 no se reporta valores de las medias en cuanto al factor de transferencia. En la altitud 3 se reportan los valores de las medias más altas en cuanto al factor de transferencia del cadmio de las partes vegetales y el suelo a la profundidad de 30-60 cm.

No existe una diferencia significativa entre las medidas del factor de transferencia de las partes vegetales del cacao y el suelo a una profundidad de 30-60 cm por altitudes (Anexo 18).

Tabla 12. Factor de transferencia entre el suelo a una profundidad de 30-60 cm y las partes vegetales del cacao, por altitud (Media ± desviación estándar).

Parámetro	A1 (<400 msnm)	A2 (400-800 msnm)	A3 (>800 msnm)
n	11	11	34
Raíz/suelo	0.00±0.00a	0.00±0.00a	0.17±0.88a
Tallo/suelo	0.00±0.00a	0.00±0.00a	0.23±1.28a
Hoja/suelo	0.00±0.00a	0.00±0.00a	0.22±1.00a
Cáscara/suelo	0.00±0.00a	0.00±0.00a	0.07±0.43a
Testa/suelo	0.00±0.00a	0.00±0.00a	0.04±0.16a

Almendra/suelo	0.00±0.00a	0.00±0.00a	0.11±0.49a
Total/suelo	0.00±0.00a	0.00±0.00 a	0.73±3.71a

Medias con igual letra en filas no difieren significativamente según LSD Fisher Alfa=0,05

La tabla 13 muestra el factor de transferencia entre las partes vegetales del cacao y el suelo a la profundidad de 0-30 cm clasificado por 2 variedades (CCN51 y Nativo). En la variedad CCN51 se registran los valores de las medias más altas del factor de transferencia entre las partes del cacao y el suelo a una profundidad de 0-30 cm, excepto en almendra/suelo (0.20 ± 0.40). En la variedad Nativo se registra los valores más bajos del factor de transferencia entre las partes vegetales del cacao y el suelo a la profundidad de 0-30 cm, excepto en almendra/suelo (0.32 ± 1.58).

No existe una diferencia significativa entre las medidas del factor de transferencia de las partes vegetales del cacao y el suelo a una profundidad de 0-30 cm por variedades (Anexo 18).

Tabla 13. Factor de transferencia entre el suelo a una profundidad de 0-30 cm y las partes vegetales del cacao, por variedad (Media ± desviación estándar).

Parámetro	CC51	Nativo
N	7	49
Raíz/suelo	0.60±1.58a	0.32±1.25 ^a
Tallo/suelo	0.35±0.93a	0.16±0.74 ^a
Hoja/suelo	0.83±2.19a	0.61±2.42 ^a
Cáscara/suelo	0.23±0.62a	0.11±0.50 ^a
Testa/suelo	0.28±0.70a	0.08±0.28 ^a
Almendra/suelo	0.20±0.40a	0.32±1.58 ^a
Total/suelo	2.77±6.28a	1.72±6.67 ^a

Medias con igual letra en filas no difieren significativamente según LSD Fisher Alfa=0,05

La tabla 14 muestra el factor de transferencia entre las partes vegetales del cacao y el suelo a la profundidad de 30-60 cm clasificado por 2 variedades (CCN51 y Nativo). En la variedad CCN51 no se registran valores de las medias del factor de transferencia entre las partes del cacao y el suelo a una profundidad de 30-60 cm. En la variedad nativo se registran todos los valores del factor de transferencia entre las partes vegetales del cacao y el suelo a la profundidad de 30-60 cm.

No existe una diferencia significativa entre las medidas del factor de transferencia de las partes vegetales del cacao y el suelo a una profundidad de 30-60 cm por variedades (Anexo 18).

Tabla 14. Factor de transferencia entre el suelo a una profundidad de 30-60 cm y las partes vegetales del cacao, por variedad (Media ± desviación estándar).

Parámetro	CC51	Nativo
N	7	49
Raíz/suelo	0.00±0.00a	0.12±0.73a
Tallo/suelo	0.00±0.00a	0.16±1.06a
Hoja/suelo	0.00±0.00a	0.15±0.83a
Cáscara/suelo	0.00±0.00a	0.05±0.36a
Almendra/suelo	0.00±0.00a	0.02±0.13a
Testa/suelo	0.00±0.00a	0.08±0.41a
Total/suelo	0.00±0.00a	0.59±3.50a

Medias con igual letra en filas no difieren significativamente según LSD Fisher Alfa=0,05

La tabla 15 muestra el factor de transferencia entre las partes vegetales de la planta del cacao y la raíz por 3 altitudes (A1<400 msnm, A2 >401-800 msnm, A3 >800 msnm). En la altitud 1 se muestran las medias más altas del factor de transferencia entre las partes vegetales del cacao y la raíz. En la altitud 2 se registran las medias más bajas de los valores del factor de transferencia en hoja/raíz (0.53±0.60),y almendra/raíz (0.29±0.40). En la altitud 3 se registran las medias más bajas del valor del factor de transferencia en tallo/raíz (0.37±0.61) y cascara/raíz (0.11±0.24).

No existe una diferencia significativa entre las medidas del factor de transferencia de las partes vegetales del cacao por altitudes (Anexo 18).

Tabla 15. Factor de transferencia entre las partes vegetales de la planta de cacao y la raíz, por altitud (Media ± desviación estándar).

Parámetro	A1 (<400 msnm)	A2 (400-800 msnm)	A3 (>800 msnm)
N	11	11	34
Tallo/raíz	0.77±0.62a	0.42±0.79a	0.37±0.61a
Hoja/raíz	5.54±3.53a	0.53±0.60a	0.61±0.97a
Cáscara/raíz	1.50±0.72a	0.27±0.66a	0.11±0.24a
Testa/raíz	1.17±1.30a	0.19±0.39a	0.19±0.22a
Almendra/raíz	1.46±1.01a	0.29±0.40a	0.33±0.34a

Medias con igual letra en filas no difieren significativamente según LSD Fisher Alfa=0,05

La tabla 16 muestra el factor de transferencia entre las partes vegetales del cacao y la raíz por 2 variedades (CCN51 y Nativo). En la variedad CCN51 se muestran las medias más altas del factor de transferencia entre las partes vegetales del cacao y la raíz en tallo/raíz (0.50±0.47), hoja/raíz (2.31±1.51) y cáscara/raíz (0.70±0.64). En la variedad nativo se registran las medias más altas de los valores del factor de

transferencia en entre las partes vegetales del cacao y la raíz en testa/raíz (0.39 ± 0.76) y almendra/raíz (0.55 ± 0.73).

No existe una diferencia significativa entre las medidas del factor de transferencia de las partes vegetales del cacao por variedades (Anexo 18).

Tabla 16. Factor de transferencia entre las partes vegetales de la planta de cacao y la raíz, por variedad (Media ± desviación estándar).

Parámetro	CC51	Nativo
N	7	49
Tallo/raíz	0.50 ± 0.47 a	0.45 ± 0.68 a
Hoja/raíz	2.31 ± 1.51 a	1.46 ± 2.73 a
Cáscara/raíz	0.70 ± 0.64 a	0.37 ± 0.71 a
Testa/raíz	0.34 ± 0.34 a	0.39 ± 0.76 a
Almendra/raíz	0.46 ± 0.46 a	0.55 ± 0.73 a

Medias con igual letra en filas no difieren significativamente según LSD Fisher Alfa=0,05

3.3. Correlación de los parámetros físico químicos del suelo y el contenido de cadmio en las partes vegetales del cacao

Se realizó un análisis de correlación de los parámetros físicos y químicos del suelo y el contenido de cadmio en las partes vegetales del cacao, con la finalidad de observar las relaciones que existe entre las características del suelo y las concentraciones de cadmio en la planta, clasificados por altitud y variedad.

En la tabla 17 se observa la correlación que existe entre la concentración de cadmio a 2 profundidades (0-30 cm y 30-60 cm), y la clase textural del suelo (Arcilloso, Arcilloso arenoso, Franco, Franco arenosos, Franco arcilloso y Franco arcilloso arenoso). En la clase textural franco arcilloso arenoso se encuentran los valores máximos de las medias del contenido de cadmio en el suelo a la profundidad de 0-30 cm (0.15 ± 0.25), y en la clase textural franco arcilloso se encuentran los máximos valores de las medias del contenido de cadmio en el suelo a la profundidad de 30-60 cm.

Se observa que existe una diferencia significativa en cuanto al contenido de cadmio a la profundidad de 0-30 cm y la profundidad de 30-60 cm (Anexo 19).

Tabla 17. Correlación de la concentración de Cd del suelo a profundidades de 0 – 30 cm y 30 - 60 cm, con la textura del suelo (Media ± desviación estándar).

	Ar.	Ar.A	Fr.	Fr.A.	Fr.Ar	Fr.Ar.A.
n	26	6	6	3	8	7
Cd 0-30 cm	0.0±0.0c	0.0±0.0c	0.05±0.13b	0.0±0.00c	0.10±0.14a	0.15±0.25ab
Cd 30-60 cm	0.0±0.0 b	0.0±0.0b	0.0±0.0b	0.0±0.0b	0.10±0.20a	0.0±0.0b

Medias con igual letra en filas no difieren significativamente según LSD Fisher Alfa=0,05.

En la tabla 18 (Anexo 20) se observa la correlación que existe entre las características químicas del suelo a la profundidad de 0-30 cm con las concentraciones de cadmio en el suelo, las partes vegetales de la planta de cacao y la altitud de la parcela muestreada. Encontramos que el pH del suelo a la profundidad de 0-30 cm tiene una correlación negativa altamente significativa con el contenido de cadmio en raíz, tallo, cáscara y el total de cadmio en la planta; sin embargo, no se encontró una correlación significativa entre en pH del suelo a la profundidad de 0-30 cm con la concentración de cadmio en el suelo a la profundidad de 0-30 cm y 30-60 cm; tampoco se encontró una correlación significativa con la altitud.

Se encontró que la profundidad de 0-30 cm, la CE a la tiene una correlación negativa altamente significativa con los contenidos de cadmio en raíz, tallo, hoja, cáscara, almendra, contenido total de cadmio y una correlación positiva altamente significativa con la altitud. Los contenidos de P tienen una correlación positiva altamente significativa con los contenidos de cadmio en la raíz, almendra y contenido total de cadmio. Los valores de K, CIC y Ca⁺ tienen una correlación negativa altamente significativa con las concentraciones de cadmio de todas las partes vegetales del cacao y una correlación positiva altamente significativa con la altitud. El porcentaje de MO tiene una correlación significativa con los contenidos de cadmio en cáscara, testa y almendra. Las características químicas del suelo a la profundidad de 0-30 cm no tienen una correlación significativa con las concentraciones de Cd en el suelo. No se encontraron correlaciones significativas entre el contenido de Al y las concentraciones de cadmio en el suelo, las partes vegetales del cacao y la altitud.

En la tabla 19 (Anexo 21) se observa la correlación que existe entre las características químicas del suelo a la profundidad de 30-60 cm con las concentraciones de cadmio en el suelo, las partes vegetales de la planta de cacao y la altitud de la parcela muestreada. Encontramos que el pH del suelo a la profundidad de 30-60 cm tiene una

correlación negativa altamente significativa con el contenido de cadmio en raíz, tallo, hoja, cáscara y el total de cadmio en la planta; además se encontró una correlación significativa con la altitud. Sin embargo, no se encontró una correlación significativa entre en pH del suelo a la profundidad de 30-60 cm con la concentración de cadmio en la testa, tampoco en el suelo a la profundidad de 0-30 cm y 30-60 cm.

Se encontró que en la profundidad de 30-60 cm, la CE a la tiene una correlación negativa altamente significativa con los contenidos de cadmio en raíz, tallo, hoja y contenido total de cadmio en la planta; también presenta una correlación positiva significativa con la altitud. Los contenidos de P no tienen una correlación significativa con los contenidos de cadmio en las partes vegetales del cacao, contenido de cadmio en el suelo y tampoco altitud. Los valores de K, CIC y Ca^+ tienen una correlación negativa altamente significativa con las concentraciones de cadmio de todas las partes vegetales del cacao y una correlación positiva altamente significativa con la altitud. El porcentaje de MO tiene una correlación altamente significativa con la altitud del punto de muestreo. Las características químicas del suelo a la profundidad de 30-60 cm no tienen una correlación significativa con las concentraciones de Cd en el suelo. No se encontraron correlaciones significativas entre el contenido de Al y las concentraciones de cadmio en el suelo, las partes vegetales del cacao y la altitud.

Tabla 18. Análisis de correlación entre las características químicas del suelo a la profundidad de 0-30 cm y las concentraciones de cadmio en el suelo, las partes vegetales del cacao y altitud

	pH	CE	P	K	C	MO	N	CIC	Ca ⁺	Mg ⁺	K ⁺	Na ⁺	Al ⁺
Raíz	-0.38**	-0.45**	0.47**	-0.58**	-0.19	-0.19	-0.19	-0.71**	-0.75**	-0.45**	-0.56**	-0.41**	-0.07
Tallo	-0.44**	-0.48**	0.24	-0.62**	-0.22	-0.21	-0.21	-0.67**	-0.76**	-0.38**	-0.59**	-0.44**	-0.07
Hoja	-0.34*	-0.42**	0.32*	-0.52**	-0.22	-0.22	-0.22	-0.65**	-0.71**	-0.37**	-0.50**	-0.38**	-0.08
Cáscara	-0.37**	-0.40**	0.23	-0.58**	-0.29*	-0.29*	-0.29*	-0.58**	-0.67**	-0.33**	-0.54**	-0.30*	-0.08
Testa	-0.27*	-0.32*	0.20	-0.34**	-0.33*	-0.33*	-0.32*	-0.44**	-0.49**	-0.24*	-0.32*	-0.26	-0.06
Almendra	-0.27*	-0.37**	0.34*	-0.44**	-0.28*	-0.28*	-0.28*	-0.54**	-0.58**	-0.34*	-0.39**	-0.34*	-0.09
Total	-0.4**	-0.47**	0.36**	-0.60**	-0.26	-0.26	-0.25	-0.71**	-0.78**	-0.41**	-0.57**	-0.42**	-0.08
Cd_60	0.05	0.06	0.14	-0.18	0.16	0.16	0.16	-0.05	-0.03	-0.04	-0.13	-0.19	-0.02
Cd_30	0.04	0.10	0.23	-0.16	0.17	0.17	0.17	-0.17	-0.14	-0.11	-0.12	-0.12	-0.04
Altitud	0.19	0.42**	-0.14	0.63**	0.53**	0.53**	0.53**	0.52**	0.59**	0.28*	0.58**	0.36**	0.08

*=Valores de correlación significativos ($p \leq 0.05$). **=Valores de correlación altamente significativos ($p \leq 0.01$).

Tabla 19. Análisis de correlación entre las características químicas del suelo a la profundidad de 30-60 cm y las concentraciones de cadmio en el suelo, las partes vegetales del cacao y altitud

	pH	CE	P	K	C	MO	N	CIC	Ca ⁺	Mg ⁺	K ⁺	Na ⁺	Al ⁺
Raíz	-0.41**	-0.47**	0.11	-0.58**	-0.24	-0.24	-0.24	-0.70**	-0.64**	-0.39**	-0.55**	-0.30*	-0.07
Tallo	-0.45**	-0.5**	-0.02	-0.6**	-0.14	-0.15	-0.14	-0.67**	-0.67**	-0.42**	-0.58**	-0.33*	-0.07
Hoja	-0.39**	-0.44**	0.14	-0.53**	-0.23	-0.23	-0.23	-0.61**	-0.62**	-0.37**	-0.48**	-0.32*	-0.08
Cáscara	-0.43**	-0.32*	-0.01	-0.53**	-0.18	-0.18	-0.18	-0.52**	-0.59**	-0.27*	-0.5**	-0.24	-0.08
Testa	-0.24	-0.29*	-0.05	-0.39**	-0.04	-0.04	-0.04	-0.37**	-0.39**	-0.18	-0.38**	-0.2	-0.06
Almendra	-0.28*	-0.33*	0.01	-0.44**	-0.22	-0.22	-0.22	-0.51**	-0.47**	-0.25	-0.41**	-0.22	-0.09
Total	-0.44**	-0.47**	0.08	-0.6**	-0.22	-0.22	-0.22	-0.67**	-0.67**	-0.39**	-0.56**	-0.33*	-0.08
Cd suelo	0.04	-0.06	0.2	-0.13	-0.17	-0.17	-0.17	-0.18	-0.08	-0.08	-0.08	0.07	-0.02
Altitud	0.3*	0.33*	0.14	0.57**	0.35**	0.35**	0.35**	0.36**	0.45**	0.11	0.52**	0.28*	0.08

*=Valores de correlación significativos ($p \leq 0.05$). **=Valores de correlación altamente significativos ($p \leq 0.01$).

En la tabla 20 (Anexo 21) se observa la correlación entre los contenidos de cadmio en las partes vegetales de la planta de cacao, todos contra todos y la correlación entre los contenidos de camio en las partes vegetales de la planta y los contenidos de cadmio en el suelo a la profundidad de 0-30 cm y 30-60 cm. Encontramos que existe una correlación positiva altamente significativa entre las partes vegetales del cacao, sin embargo, no se observa que haya una correlación significativa entre las partes vegetales del cacao y el contenido de cadmio en el suelo.

Se encontró que los contenidos de cadmio en las partes vegetales del cacao tienen una correlación negativa altamente significativa con la altitud a la que se encuentra la parcela de cacao.

Tabla 20. Análisis de correlación entre las concentraciones de cadmio en las partes vegetales de cacao.

	Raíz	Tallo	Hoja	Cáscara	Testa	Almendra	Total	Cd_60	Cd_30	Altitud
Raíz	1									
Tallo	0.82**	1								
Hoja	0.85**	0.81**	1							
Cáscara	0.66**	0.77**	0.74**	1						
Testa	0.59**	0.71**	0.55**	0.5**	1					
Almendra	0.74**	0.75**	0.73**	0.75**	0.75**	1				
Total	0.93**	0.92**	0.95**	0.81**	0.70**	0.82**	1			
Cd_60	0.02	0.11	0.01	-0.03	-0.02	0.11	0.02	1		
Cd_30	0.11	0.17	0.13	0.0015	0.03	0.07	0.12	0.43**	1	
Altitud	-0.58**	-0.61**	-0.63**	-0.67**	-0.47**	-0.55**	-0.67**	0.14	0.09	1

*=Valores de correlación significativos ($p \leq 0.05$). **=Valores de correlación altamente significativos ($p \leq 0.01$).

IV. DISCUSION

Las características químicas del suelo de las 56 parcelas evaluadas son diferentes, las parcelas que se ubican por debajo de los 400 msnm presentan suelos más ácidos, con bajas concentraciones de P, MO y N; así mismo, estas fincas tienen las concentraciones más bajas de micronutrientes. En cambio, las fincas de A2 (400-800 msnm) son fincas con suelos más alcalinos y tienen la mayor concentración de macro y micro nutrientes. Por su parte, las fincas que se encuentran en A3 (>800 msnm) son de pH neutro, con altas concentraciones de macronutrientes y materia orgánica, pero poseen concentraciones medias de micro nutrientes. Estos resultados coinciden con la investigación de (Oliva et al., 2020) quien encontró que los suelos con una menor elevación tenían un pH más ácido y las tierras con mayor altitud fueron las que obtuvieron un mayor contenido de materia orgánica.

Con lo que respecta a la presencia de Cd en los suelos del agroecosistema cacao no se muestran diferencias significativas en función a los pisos altitudinales, esto nos permite afirmar que independientemente al piso altitudinal al que se encuentra la finca, la presencia de este metal pesado en el suelo es similar. Los resultados coinciden con los obtenidos en Venezuela, donde se observa que no existe relación entre la altitud y la concentración de cadmio en el suelo (Pilco, 2020).

Los resultados muestran que los parámetros químicos del suelo con respecto a la variedad de cacao solo varían significativamente en K y CIC, sin embargo, también se encuentran los valores más bajos de la media del pH (6.75) y CE(0.12) en la variedad CCN51, resultados que coinciden con las investigaciones de Mora, (2019); donde encontró que la variedad CCN51 presenta menor valor de la media del pH (4.46), CE (0.16) y MO(2.75) a comparación de la variedad nativa.

Se observa que la presencia de Cd está condicionada por la clase textural del suelo, los resultados indican que en los suelos franco arcilloso arenosos, se encuentra un mayor contenido de cadmio. Los resultados coinciden con las investigaciones realizadas en Huánuco y Ucayali-Perú (Huamaní-Yupanqui et al., 2012)(Cardenas et al., 2012); donde se reporta mayor concentración de cadmio en suelos franco arcillosos y francos, de igual modo en otra investigación sobre el contenido de Cd en suelos cacaoteros en 3 regiones del Perú (Norte, centro y sur), encontró que el

porcentaje de arcilla en el suelo tiene una correlación positiva con el contenido de Cd en el suelo (Arévalo et al., 2016).

Los resultados del contenido de cadmio en las partes vegetales nos indican que se encuentra un mayor contenido de cadmio en la hoja, seguido de la raíz y el tallo estos resultados tienen similitud con la investigación realizada por (Pedraza, 2017), quien encontró los mayores contenidos de cadmio en las ramas, seguido por las hojas y las raíces; estos resultados difieren con la investigación de (Cardenas, 2012), quien encontró una mayor concentración de cadmio a nivel foliar. Sin embargo, difiere de la investigación de Scaccabarozzi, quien encontró que las regiones como Amazonas y San Martín con climas templados, baja humedad y alta elevación tuvieron valores más altos de cadmio en los suelos de las plantaciones de cacao (Scaccabarozzi et al., 2020).

Las concentraciones de cadmio en las partes vegetales de la planta de cacao variaron significativamente con la altitud. Se encontraron valores máximos de las medias del contenido de cadmio en todas las partes vegetales del cacao a una altitud menor a 400 msnm, estos resultados concuerdan con la investigación realizada por Oliva et al., (2020), donde encontraron que las concentraciones de cadmio más altas se encontraban en las zonas de baja altitud.

Con respecto a la presencia de cadmio por clase textural, se observa que hay una mayor acumulación de cadmio en las hojas de la planta y una mayor acumulación de cadmio en las partes vegetales del cacao en suelos con clase textura franco Arenoso. Resultados similares se encontraron en Ecuador, donde se determinó la absorción de cadmio y plomo en genotipos de cacao (Chupillón, 2017). En Venezuela con la investigación de Sánchez se determinó la absorción de cadmio mediante isotermas de absorción en suelos, los resultados indican que la absorción del cadmio en los suelos están influenciados directamente por los contenidos de arcilla, MO y pH (Sánchez et al., 2011).

La variedad de cacao CCN51 es la que más acumula Cd en sus partes vegetales, a comparación del cacao Nativo. Resultados similares se encontraron en Venezuela, donde mostraron que las variedades de cacao híbridas son las que tienen una alta acumulación de Cd en las partes vegetales (Gregorio et al., 2016). Sin embargo, se observa valores más altos de Cd en almendra y testa en el cacao Nativo, coincidiendo

con la investigación realizada en México, donde se observa que hay una mayor cantidad de Cd en la harina proveniente de la cascarillas de cacao Nativo, a comparación del cacao CCN51 (El Salous & Pascual, 2018). También en Ecuador se encontró que el cacao Nativo tenía una mayor concentración de Cd en las hojas, almendras y testa, y una menor cantidad en el cacao CCN51 (Armijos, 2019), En Perú, Huamaní también encontró una mayor bioacumulación de cadmio en cacao CCN51 (Rosales-Huamani et al., 2020).

En cuanto al factor de transferencia, se puede observar que existe una mayor transferencia de camio entre las partes vegetales de la planta y el suelo a una altitud menor a los 400 msnm, también se observa que hay mayor transferencia de cadmio entre la hoja/tallo y la almendra/testa. Estos resultados coinciden con los resultados obtenidos en Amazonas-Perú (Oliva et al., 2020). El factor de transferencia entre las partes vegetales de la planta y el suelo, influenciadas por la clase textural muestra que existe una mayor transferencia del cadmio entre el suelo y las partes vegetales del cacao cuando la textura del suelo es franca, estos resultados se comparan con la investigación realizadas por Cardenas en Tingo María, departamento de Huánuco (Cardenas, 2012). La textura franca arcillosa ayuda a absorber los metales pesados y disminuir la acumulación del Cd en las partes vegetales de la planta (Armijos, 2019).

La correlación de los contenidos de cadmio entre las partes vegetales mostró que existe una correlación positiva altamente significativa con la concentración de cadmio en las partes vegetales, lo que significa que cuanto mayor sea el contenido en una parte de la planta, mayor será el contenido en todas las partes de la planta. Estos resultados no coinciden del todo con la investigación de (Pedraza, 2017), quien encontró que solo había una correlación positiva entre el cadmio en las almendras y el cadmio en las hojas, donde a mayor contenido de cadmio en las hojas mayor e el contenido de cadmio en las almendras.

V. CONCLUSIONES

Los valores más altos de cadmio en suelo se encontraron a una profundidad de 0-30 cm, también se encontró que las menores concentraciones de cadmio en las partes vegetales de la planta de cacao están a una altitud de 400-800 msnm. A demás la variedad que registró mayor bioacumulación de cadmio en las partes vegetales es la variedad CCN51, sin embargo, un mayor contenido de cadmio solo en las almendras fue encontrado en la variedad Nativo.

Los suelos cacaoteros de la región amazonas se encuentran por debajo de los límites máximos permitidos, sin embargo, el contenido de cadmio en las partes vegetales del cacao sobrepasa los límites máximos permitidos (0.05 ppm), sobre todo en la almendra, que presenta un promedio de 0.32 ppm.

Los contenidos de cadmio en las partes vegetales del cacao están relacionados de manera inversa con los valores de pH, CE, K, CIC, Ca, Mg, K^+ y Na; mientras que se encuentran relacionadas directamente con la altitud en la que se encuentra la parcela. Sin embargo, los contenidos de cadmio en el suelo no presentan una relación con ninguna característica físico química del suelo, salvo en la profundidad a la que se encuentra el mineral.

VI. REFERENCIAS BIBLIOGRÁFICAS

- Arévalo, E., Obando, M. E., Zúñiga, L. B., Arévalo, C. O., Baligar, V., & He, Z. (2016). Metales pesados en suelos de plantaciones de cacao (*Theobroma cacao L.*) en tres regiones del Perú. *Ecología Aplicada*, 15(2), 81. <https://doi.org/10.21704/rea.v15i2.747>
- Armijos, A. (2019). *Comparación de los niveles de cadmio en cacao tipo nacional en la parroquia Río Bonito, Provincia de el Oro-Ecuador.* <http://repositorio.utmachala.edu.ec/handle/48000/15158>
- Barrueta, S. (2013). *Guía metodológica para el muestreo y detección de cadmio en suelos, agua, fertilizantes, almendras de cacao y productos derivados* (p. 77). Comisión Nacional para el Desarrollo y Vida Sin Drogas.
- Bustamante, G. (2011). Aproximación al muestreo estadístico en investigaciones científicas. *Revista de Actualización Clínica*, 10, 476–480. http://www.revistasbolivianas.org.bo/scielo.php?pid=S2304-37682011000700006&script=sci_arttext&tlang=es
- Cardenas, A. (2012). Presencia del Cadmio en algunas parcelas de cacao orgánico en la cooperativa Agraria Industrial Naranjillo - Tingo María - Perú. In *Universidad Nacional Agraria de la Selva*. <http://repositorio.unas.edu.pe/handle/UNAS/153>
- Casteblanco, J. (2018). Heavy metals remediation with potential application in cocoa cultivation. *Granja*, 27(1), 21–35. <https://doi.org/10.17163/lgr.n27.2018.02>
- Chupillón, J. (2017). Determinación de la absorción de cadmio y plomo en genotipos de cacao (*Theobroma cacao L.*) para el establecimiento de plantaciones comerciales [Universidad Nacional de San Martín]. In *Universidad nacional de san Martín-Tarapoto* (Vol. 01). <http://www.albayan.ae>
- Del Aguila, E. (2017). Determinación de cadmio y plomo en granos de cacao, frescos, secos y en licor de cacao (*Theobroma cacao*) [Universidad Nacional Agraria de la Selva]. In *Repositorio Institucional* - UNAS. <http://repositorio.unas.edu.pe/handle/UNAS/1269>
- Di Rienzo, J., Balzarini, M., Robledo, C., Casanoves, F., Gonzales, L., & Tablada, E.

- (2008). InfoStat Software manual del usuario. *FCA Universidad Nacional de Córdoba, November 2015*, 334.
- El Salous, A., & Pascual, A. (2018). Determinación de cadmio, plomo y ocratoxina en la harina proveniente de las cascarillas de dos variedades de cacao en Ecuador. *I+D Tecnológico*, 14(1), 49–53. <https://doi.org/10.33412/idt.v14.1.1802>
- Gregorio, J., César, P., José, N., Hugo, V., Del, E., Metales, C. D. E., En, P., & Teobroma, C. (2016). EVALUACIÓN DEL CONTENIDO DE METALES PESADOS EN CACAO (Teobroma cacao L.) DE SANTA BÁRBARA DEL ZULIA, VENEZUELA. *SABER*, 28.
- Huamaní H., Huauya, M., Mansilla, L., Florida, N., & Neira, G. (2012). Presencia de metales pesados en cultivo de cacao [Theobroma cacao L.) orgánico. *Acta Agronomica*, 61(4), 339–344.
- Llatance, W., Saavedra, C., Gonzales, Guzmán, W., & Mondragón, E. (2018). Bioacumulación de cadmio en el cacao (Theobroma cacao) en la Comunidad Nativa de Pakun, Perú. *Revista Forestal Del Perú*, 33(1), 63–75. <https://doi.org/http://dx.doi.org/10.21704/rfp.v33i1.1156>
- MINAGRI. (2019). Situación actual del café en el país. <https://www.midagri.gob.pe/portal/485-feria-scaa/10775-el-cafe-peruano#:~:text=En%20la%20actualidad%2C%2020223%2C482%20familias,peruanos%20dependen%20de%20esta%20actividad>.
- MINAM. (2014). Guía para muestreo de suelos. In *Ministerio del Ambiente* (p. 38). http://www.minam.gob.pe/wp-content/uploads/2014/04/GUIA-MUESTREO-SUELO_MINAM1.pdf
- Mora, A. (2019). *Relación de los niveles de cadmio en raíz, hojas, testa y almendras de cultivares de theobroma cacao*. 43. <http://repositorio.utmachala.edu.ec/handle/48000/15166>
- Oliva, M., Rubio, K., Epquin, M., Marlo, G., & Leiva, S. (2020). Cadmium Uptake in Native Cacao Trees in Agricultural Lands of Bagua, Peru. *Agronomy*, 634.
- Pedraza, E. (2017). Distribución del contenido de cadmio en los diferentes órganos del

- cacao CCN-51 en suelo aluvial y residual en las localidades de Jacintillo y Ramal de Aspuzana. *Revista de Investigación En Agroproducción Sustentable*, 1(2), 69–78. <https://doi.org/10.25127/aps.20172.199>
- Pilco, J. (2020). Determinación de cadmio en suelos agríolas en el cantón Pallatanga, provincia de Chimborazo. In *Universidad de Guayaquil*. <http://mpoc.org.my/malaysian-palm-oil-industry/>
- Romero, C. (2016). *Estudio del cacao en el Perú y el mundo* (pp. 1–90).
- Rosales, J., Breña, J., Sespedes, S., De la Cuba, L., Centeno, L., Otiniano, A., Andradee, J., Valverde, S., & Castillo, J. (2020). Study to Determine Levels of Cadmium in Cocoa Crops Applied to Inland Areas of Peru: “The Case of the Campo Verde-Honoria Tournavista Corridor.” *Agronomy*, 10(10 October). <https://doi.org/10.3390/agronomy10101576>
- Sanchez, G. (2016). *Ecotoxicología del Cadmio: Riesgo para la Salud de la Utilización de Suelos Ricos en Cadmio.* 23. <http://147.96.70.122/Web/TFG/TFG/Memoria/GARA SANCHEZ BARRON.pdf>
- Sánchez, N., Subero, N., & Rivero, C. (2011). Determinación de la adsorción de cadmio mediante isotermas de adsorción en suelos agrícolas venezolanos. *Acta Agronómica*, 60(2), 190–197.
- Scaccabarozzi, D., Castillo, L., Aromatisi, A., Milne, L., Castillo, A. B., & Muñoz-Rojas, M. (2020). Soil, site, and management factors affecting cadmium concentrations in cacao-growing soils. *Agronomy*, 10(6). <https://doi.org/10.3390/agronomy10060806>
- Walkley, A., & Black, I. (1934). Un examen del método degtjareff para determinar la materia orgánica del suelo y una modificación propuesta en el método de titulación con ácido crómico. *Ciencia Del Suelo*, 37, 29–38.
- Wong, A. (2017). Determinación de cadmio en el suelo de cultivo de cacao CCN-51 mediante análisis de espectroscopía de absorción atómica [Universidad de Guayaquil]. In *Guayaquil - Ecuador* (Issue 4). <https://doi.org/10.1002/ejsp.2570>

ANEXOS

Anexo 1. Recolección de las muestras de suelo.



Anexo 2. Secado y almacenamiento de las muestras de suelo en el laboratorio.



Anexo 3. Recolección de las muestras vegetales de la planta de cacao.



Anexo 4. Secado y almacenamiento de las muestras vegetales de la panta de cacao.





Anexo 5. Análisis de caracterización del suelo en el laboratorio.





Anexo 6. Análisis del contenido de cadmio en las partes vegetales de la planta de cacao.







Anexo 7. Georreferenciación de los puntos de muestreo.

Nº	Código	Localidad/origen	Distrito	Provincia	Coordenadas		Altura msnm	Variedad
					X	Y		
1	JO-01	José Olaya	Nieva	Condorcanqui	173792	9465314	169	CCN51
2	JO-02	José Olaya	Nieva	Condorcanqui	171501	9466291	163	CCN51
3	JO-03	José Olaya	Nieva	Condorcanqui	171679	9466365	200	CCN51
4	JO-04	José Olaya	Nieva	Condorcanqui	171679	9466365	198	CCN51
5	JO-05	José Olaya	Nieva	Condorcanqui	172056	9466326	194	CCN51
6	PI-06	Pakun	Imaza	Bagua	800757	9427715	301	Nativo
7	PI-07	Pakun	Imaza	Bagua	800719	9427643	287	Nativo
8	PI-08	Pakun	Imaza	Bagua	800767	9427351	291	Nativo
9	PI-09	Pakun	Imaza	Bagua	800864	9427300	294	Nativo
10	PI-10	Pakun	Imaza	Bagua	801220	9427327	287	Nativo
11	PI-11	Pakun	Imaza	Bagua	801240	9427386	295	Nativo
12	HLP-12	Humbate	La Peca	Bagua	786179	9378217	1013	Nativo
13	HLP-13	Humbate	La Peca	Bagua	786321	9377863	990	Nativo
14	HLP-14	Humbate	La Peca	Bagua	786181	9378001	995	Nativo
15	HLP-15	Humbate	La Peca	Bagua	786224	9378134	1019	Nativo
16	HLP-16	Humbate	La Peca	Bagua	786266	9378217	1028	Nativo
17	HLP-17	Humbate	La Peca	Bagua	786426	9378212	1047	Nativo
18	HLP-18	Humbate	La Peca	Bagua	786519	9378313	1069	Nativo
19	HLP-19	Humbate	La Peca	Bagua	786264	9378017	1026	Nativo
20	HLP-20	Humbate	La Peca	Bagua	786245	9378034	1022	Nativo
21	TEP-21	Tolopampa	El Parco	Bagua	778703	9380360	621	Nacional
22	TEP-22	Tolopampa	El Parco	Bagua	778626	9379870	588	Nacional
23	TEP-23	Tolopampa	El Parco	Bagua	778417	9379670	581	Nacional
24	LC-24	Llhuhana	Copallín	Bagua	787567	9371476	919	Nativo
25	LC-25	Llhuhana	Copallín	Bagua	787577	9371577	925	Nativo
26	LC-26	Llhuhana	Copallín	Bagua	788324	9371633	948	Nativo
27	LC-27	Llhuhana	Copallín	Bagua	788281	9371597	944	Nativo
28	PAC-28	Pan de Azucar	Copallín	Bagua	789396	9372824	1009	Nativo
29	PAC-29	Pan de Azucar	Copallín	Bagua	789793	9372965	1056	Nativo
30	PAC-30	Pan de Azucar	Copallín	Bagua	789696	9372960	1056	Nativo
31	LC-31	Pan de Azucar	Copallín	Bagua	787410	9371638	914	Nativo
32	LRA-32	La reserva	Aramango	Bagua	783392	9398426	788	CCN51
33	LRA-33	La reserva	Aramango	Bagua	783400	9398432	807	CCN51
34	SRC-34	San Roque	Copallín	Bagua	783297	9371944	516	Nativo
35	CMC-35	Chonza	Copallín	Bagua	786804	9375508	957	Nativo
36	TB-36	tomaque	Bagua	Bagua	776674	9373802	475	Nativo
37	LLC-37	La laguna	Cajaruro	Utcubamba	798880	9361774	646	Nativo
38	LLC-38	La laguna	Cajaruro	Utcubamba	799330	9362638	712	Nativo
39	LLC-39	La laguna	Cajaruro	Utcubamba	799318	9362459	701	Nativo
40	LLC-40	La laguna	Cajaruro	Utcubamba	799172	9362483	702	Nativo
41	CBC-41	Caña Brava	Cajaruro	Utcubamba	799101	9363312	775	Nativo
42	CBC-42	Caña Brava	Cajaruro	Utcubamba	799318	9363771	819	Nativo
43	CBC-43	Caña Brava	Cajaruro	Utcubamba	799081	9363988	828	Nativo
44	UC-44	Llunchicate	Cajaruro	Utcubamba	801499	9364536	942	Nativo
45	LC-45	Llunchicate	Cajaruro	Utcubamba	801480	9364556	820	Nativo
46	LC-46	Llunchicate	Cajaruro	Utcubamba	802272	9364114	862	Nativo
47	LC-47	Llunchicate	Cajaruro	Utcubamba	802208	9364214	860	Nativo
48	LC-48	Llunchicate	Cajaruro	Utcubamba	802031	9364164	859	Nativo
49	LC-49	Llunchicate	Cajaruro	Utcubamba	801742	9364453	908	Nativo
50	LC-50	Llunchicate	Cajaruro	Utcubamba	801501	9364763	965	Nativo
51	LC-51	Llunchicate	Cajaruro	Utcubamba	799997	9363493	844	Nativo
52	LC-52	Llunchicate	Cajaruro	Utcubamba	801232	9363337	918	Nativo
53	LC-53	Llunchicate	Cajaruro	Utcubamba	801372	9363438	911	Nativo
54	LC-54	Llunchicate	Cajaruro	Utcubamba	800540	9363539	916	Nacional
55	LC-55	Llunchicate	Cajaruro	Utcubamba	800450	9363636	923	Nacional
56	LC-56	Llunchicate	Cajaruro	Utcubamba	800438	9363593	912	Nacional

Anexo 8. Resultados del análisis de caracterización de los suelos muestreados

Código	pH	C.E.	P	K	C	M.O	N	Clase textural	CIC	Ca ⁺²	Mg ⁺²	K ⁺	Na ⁺	Al ³⁺ + H ⁺	Cd
	1:1	ds/m	ppm	ppm	%	%	%			meq/100g	ppm	ppm	ppm	ppm	ppm
JO-01-30	6.15	0.09	2.06	117.09	2.32	4	0.2	Fr.	20	11.83	1.2	0.35	0.15	0	N.D.
JO-01-60	5.65	0.05	0.24	86.07	0.77	1.33	0.07	Ar.	24	6.75	0.76	0.22	0.07	0	N.D.
JO-02-30	6.7	0.09	0.71	133.66	0.77	1.33	0.07	Fr.	22.4	14.45	1.24	0.36	0.14	0	0.31
JO-02-60	6.17	0.04	0.23	122.29	1.29	2.22	0.11	Ar.	28	12.02	2	0.25	0.14	0	N.D.
JO-03-30	6.35	0.06	11.49	63.3	1.29	2.22	0.11	Fr.Ar.A.	15.2	8.78	0.78	0.21	0.09	0	N.D.
JO-03-60	6.12	0.03	4.37	95.16	0.26	0.44	0.02	Fr.Ar.	16	7.49	1.04	0.23	0.15	0	N.D.
JO-04-30	7.53	0.14	7.93	83.44	2.67	4.6	0.23	Fr.	9.6	8.55	0.73	0.18	0.14	0	N.D.
JO-04-60	7.13	0.05	4.08	81.07	1.07	1.84	0.09	Fr.	10.21	9.33	0.53	0.22	0.13	0	N.D.
JO-05-30	6.69	0.03	1.58	70.35	0.53	0.92	0.05	Fr.Ar.	20	6.95	0.76	0.18	0.13	0	N.D.
JO-05-60	6.58	0.04	1.58	64.49	0.64	1.1	0.06	Fr.Ar.	20.8	10.84	1.17	0.16	0.12	0	N.D.
PI-06-30	6.67	0.08	3.21	63.56	2.27	3.92	0.2	Fr.	20	7.54	2.68	0.12	0.09	0	N.D.
PI-06-60	6.52	0.02	5.62	43.42	2.32	4	0.2	Fr.	17.6	5.72	0.44	0.08	0.12	0	N.D.
PI-07-30	6.44	0.05	5.14	195.18	1.6	2.76	0.14	Fr.	19.2	8.07	0.76	0.47	0.18	0	N.D.
PI-07-60	6.24	0.03	2.44	152.09	1.29	2.22	0.11	Fr.A.	9.6	5.26	0.54	0.38	0.11	0	N.D.
PI-08-30	6.48	0.03	10.33	37.72	1.29	2.22	0.11	Fr.A.	6.4	3.08	0.52	0.08	0.07	0	N.D.
PI-08-60	6.69	0.02	0.24	46.37	1.29	2.22	0.11	Fr.	16	4.19	0.48	0.08	0.11	0	N.D.
PI-09-30	6.35	0.04	6.48	168	0.77	1.33	0.07	Fr.	16	4.92	0.6	0.38	0.11	0	N.D.
PI-09-60	6.7	0.02	2.35	53.92	1.81	3.11	0.16	Fr.A.	12	5.55	0.43	0.07	0.09	0	N.D.
PI-10-30	6.56	0.06	14.08	176	1.6	2.76	0.14	Fr.A.	10.4	4.52	1.17	0.45	0.15	0	N.D.
PI-10-60	6.45	0.03	11.39	100.03	0.77	1.33	0.07	Fr.	13.6	2.99	0.52	0.32	0.09	0	N.D.
PI-11-30	6.59	0.09	29.56	50.01	2.13	3.68	0.18	Fr.A.	11.2	6.55	0.56	0.2	0.1	0	N.D.
PI-11-60	6.8	0.04	6.97	45.73	0.26	0.44	0.02	Fr.A.	10.4	5.47	0.59	0.08	0.1	0	N.D.
HLP-12-30	6.75	0.14	2.35	456.6	3.41	5.87	0.29	Ar.	38.4	31.92	3.45	1.15	0.12	0	N.D.
HLP-12-60	6.71	0.01	0.71	402.17	3.35	5.78	0.29	Ar.	34.4	29.04	1.09	0.94	0.09	0	N.D.
HLP-13-30	7.08	0.28	4.85	457.91	3.47	5.98	0.3	Ar.	28.72	25.63	1.82	1.07	0.19	0	N.D.
HLP-13-60	8.28	0.34	6.39	288.84	1.07	1.84	0.09	Ar.	33.07	31.01	1.15	0.54	0.37	0	N.D.
HLP-14-30	6.59	0.15	1.87	158.81	2.84	4.89	0.24	Fr.Ar.	28.8	18.66	3.35	0.5	0.16	0	0.34
HLP-14-60	7.02	0.06	1.1	160.4	1.6	2.76	0.14	Ar.	16.24	13.77	1.76	0.37	0.33	0	0.23
HLP-15-30	6.96	0.15	4.66	216.29	3.04	5.24	0.26	Fr.Ar.A.	32	24.47	3.21	0.52	0.32	0	N.D.
HLP-15-60	6.82	0.06	0.14	136.97	0.77	1.33	0.07	Ar.A.	28.8	14.91	2.25	0.28	0.09	0	N.D.
HLP-16-30	7.58	0.74	12.64	407.27	1	1.72	0.09	Ar.	28.06	24.91	1.89	0.99	0.26	0	N.D.
HLP-16-60	8.42	0.34	1.96	347.57	1.5	2.59	0.13	Ar.	30.18	27.94	1.12	0.76	0.36	0	N.D.
HLP-17-30	7.31	0.16	8.99	159.04	3.2	5.52	0.28	Fr.Ar.A.	15.8	12.48	2.7	0.35	0.28	0	N.D.
HLP-17-60	7.22	0.08	1.69	133.75	2.13	3.68	0.18	Fr.Ar.	23.3	19.87	2.73	0.35	0.35	0	N.D.
HLP-18-30	6.88	0.14	1	398.51	3.25	5.61	0.28	Fr.Ar.A.	28	21.81	1.53	0.73	0.2	0	N.D.
HLP-18-60	6.98	0.11	20.72	251.53	1.81	3.11	0.16	Ar.	26.4	12.88	0.88	0.57	0.15	0	N.D.
HLP-19-30	6.96	0.08	4.85	403.19	2.94	5.07	0.25	Ar.	35.2	29.94	2.03	0.94	0.12	0	N.D.
HLP-19-60	7.6	0.23	1.58	383.38	2.32	4	0.2	Ar.	31.89	29.93	1.05	0.8	0.11	0	N.D.
HLP-20-30	8.06	0.41	6.39	306.15	3.41	5.87	0.29	Ar.	32.25	29.1	2.34	0.69	0.11	0	N.D.
HLP-20-60	7.83	0.16	1.29	168.37	1.29	2.22	0.11	Ar.	21.7	19.31	1.88	0.43	0.08	0	N.D.
TEP-21-30	8.37	0.41	5.04	398.39	2.3	3.97	0.2	Ar.	32.27	27.42	3.6	0.97	0.28	0	N.D.
TEP-21-60	8.36	0.25	0.62	231.95	0.77	1.33	0.07	Ar.	35.59	31.14	3.55	0.6	0.3	0	N.D.
TEP-22-30	8.2	0.46	1.38	345.37	1	1.72	0.09	Ar.A.	34.56	30.61	2.71	0.93	0.32	0	N.D.
TEP-22-60	8.73	0.34	0.91	216.22	1.6	2.76	0.14	Ar.	36.02	30.45	4.67	0.51	0.39	0	N.D.
TEP-23-30	8.43	0.43	3.89	240.89	1	1.72	0.09	Fr.Ar.	30.6	26.61	3.11	0.64	0.23	0	N.D.
TEP-23-60	8.64	0.28	1.77	147.58	3	5.17	0.26	Fr.Ar.A.	35.14	31.6	3.06	0.35	0.14	0	N.D.
LC-24-30	7.89	0.47	1.87	318.4	2.83	4.87	0.24	Fr.Ar.	26.31	23.67	1.58	0.74	0.32	0	N.D.
LC-24-60	8.45	0.33	6.87	133.53	1.6	2.76	0.14	Fr.Ar.A.	24.72	23.29	1.22	0.37	0.28	0	N.D.
LC-25-30	7.09	0.22	11.32	235.49	2.67	4.6	0.23	Ar.	16.06	13.24	1.95	0.68	0.19	0	N.D.
LC-25-60	7.38	0.14	2.16	130.44	1.07	1.84	0.09	Ar.	20.41	18.27	1.53	0.27	0.34	0	N.D.
LC-26-30	7.86	0.41	12.93	154.16	3.25	5.61	0.28	Fr.Ar.	23.88	21.83	1.53	0.42	0.09	0	0.31
LC-26-60	7.89	0.18	11.58	131.82	0.53	0.92	0.05	Ar.A.	19.46	17.7	1.1	0.41	0.25	0	0.54
LC-27-30	7.22	0.26	8.99	185.57	2.84	4.89	0.24	Fr.Ar.A.	14.53	12.86	1.22	0.37	0.08	0	N.D.
LC-27-60	7.76	0.12	9.37	116.94	1.5	2.59	0.13	Fr.Ar.	16.48	14.75	1	0.37	0.36	0	N.D.
PAC-28-30	6.84	0.54	6.35	407.98	3.04	5.24	0.26	Ar.	30.4	22.6	3.76	1.02	0.27	0	N.D.
PAC-28-60	7.1	0.44	3.02	417.98	1.81	3.11	0.16	Ar.	23.5	20.98	1.36	0.99	0.18	0	N.D.
PAC-29-30	7.12	0.49	2.64	475.4	3.73	6.44	0.32	Ar.	25.84	22.91	1.66	0.96	0.31	0	N.D.
PAC-29-60	6.96	0.22	5.23	394.07	1.81	3.11	0.16	Ar.	20	3.41	1.37	0.89	0.17	0	N.D.
PAC-30-30	7.13	0.46	2.16	462.75	3.36	5.79	0.29	Ar.	25.24	22.09	1.68	1.15	0.31	0	N.D.
PAC-30-60	7.05	0.14	2.54	318.69	2.84	4.89	0.24	Ar.	33.8	30.54	2.43	0.72	0.1	0	N.D.
LC-31-30	8.14	0.63	18.89	415.1	3.55	6.12	0.31	Fr.Ar.A.	29.15	25.2	2.52	1.06	0.37	0	0.5
LC-31-60	8.56	0.27	5.62	171.66	2.13	3.68	0.18	Ar.	33.26	31.21	1.34	0.37	0.33	0	N.D.
LRA-32-30	7.15	0.27	3.21	406.54	3.79	6.53	0.33	Fr.Ar.A.	31.84	27.07	3.46	0.99	0.32	0	N.D.
LRA-32-60	7.93	0.27	1.96	283.76	2	3.45	0.17	Ar.	19.7	17.89	0.96	0.75	0.11	0	N.D.
LRA-33-30	6.67	0.18	2.25	92.78	2.84	4.89	0.24	Fr.Ar.	28	15.47	1.61	0.25	0.1	0	0.09
LRA-33-60	6.91	0.15	1	103.28	1.7	2.94	0.15	Ar.	29.6	15.14	2.39	0.22	0.08	0	N.D.
SRC-34-30	7.79	0.21	0.62	391.5	0.26	0.44	0.02	Ar.	38.85	30.17	7.42	1.02	0.24	0	0.09
SRC-34-60	8.06	0.2	2.35	346.32	2.32	4	0.2	Ar.	39.76	30.97	7.49	0.91	0.39	0	N.D.
CMC-35-30	8.06	0.53	4.38	360	3.25	5.6	0.28	Ar.	25.39	20.84	3.5	0.78	0.26	0	N.D.
CMC-35-60	8.05	0.63	2.83	310.73	2.5	4.31	0.22	Ar.	22.38	17.6	3.79	0.74	0.25	0	N.D.
TB-36-30	8.59	0.24	0.42	120.17	0.52	0.89	0.04	Fr.Ar.	35.85	31.66	3.82	0.22	0.14	0	N.D.
TB-36-60	8.93	0.24	2.35	90.35	0.48	0.83	0.04	Fr.Ar.A.	35.53	31.69	3.24	0.23	0.36	0	N.D.
LLC-37-30															

Anexo 9. Resultados del análisis del contenido de cadmio en las partes vegetales del cacao.

Código	Muestras de hoja				Muestras de tallo				Muestras de raíz				Almendra				Testa				Cáscara			
	Lect 1	Lect 2	Lect 3	Media	Lect 1	Lect 2	Lect 3	Media	Lect 1	Lect 2	Lect 3	Media	Lect 1	Lect 2	Lect 3	Media	Lect 1	Lect 2	Lect 3	Media	Lect 1	Lect 2	Lect 3	Media
JO-01	2.05	2.07	2.01	2.04	0.75	0.73	0.81	0.76	0.67	0.5	0.63	0.60	0.72	0.54	0.71	0.66	0.62	0.45	0.5	0.52	1.01	0.97	1.07	1.02
JO-02	1.82	1.84	1.79	1.82	0.78	0.71	0.81	0.77	1.31	1.24	1.38	1.31	0.5	0.81	0.44	0.58	0.32	0.33	0.35	0.33	0.54	0.42	0.57	0.51
JO-03	1.88	1.9	1.84	1.87	0.23	0.19	0.25	0.22	1.36	1.29	1.41	1.35	0	0	0.04	0.01	0	0	0	0.00	0.37	0.26	0.35	0.33
JO-04	1.78	1.77	1.71	1.75	0.64	0.62	0.69	0.65	1.02	0.98	1.07	1.02	0.25	0.15	0.25	0.22	0.13	0.1	0.2	0.14	0.33	0.3	0.27	0.30
JO-05	2.12	2.07	2.03	2.07	0.86	0.79	0.92	0.86	1.02	1.04	1.09	1.05	0.47	0.3	0.47	0.41	0.36	0.31	0.44	0.37	0.88	0.73	0.76	0.79
PI-06	5.05	5.05	4.89	5.00	2.02	2.08	2.16	2.09	2.31	2.37	2.46	2.38	0.5	0.35	0.57	0.47	0.33	0.31	0.39	0.34	1.25	1.18	1.53	1.32
PI-07	4.49	4.59	4.52	4.53	1.27	1.19	1.39	1.28	2.73	2.85	2.96	2.85	1.85	1.75	2.02	1.87	0.5	0.47	0.63	0.53	1.54	1.46	1.72	1.57
PI-08	2.29	2.22	2.18	2.23	1.69	1.66	1.79	1.71	0.68	0.67	0.78	0.71	1.33	1.34	1.47	1.38	1.56	1.61	1.6	1.59	1.31	1.25	1.37	1.31
PI-09	4.09	4.13	4.08	4.10	2.27	2.26	2.41	2.31	4.1	4.26	4.38	4.25	1.54	1.43	1.63	1.53	2.7	2.65	2.75	2.70	0.57	0.53	0.61	0.57
PI-10	8.35	8.9	8.62	8.62	1.46	1.4	1.59	1.48	3.57	3.71	3.89	3.72	1.31	1.17	1.33	1.27	0.79	0.76	0.85	0.80	1.13	1.03	1.15	1.10
PI-11	2.6	2.54	2.48	2.54	1.14	1.09	1.21	1.15	3.95	4.16	4.26	4.12	1.27	1.13	1.36	1.25	0.4	0.33	0.46	0.40	1.07	1.01	1.16	1.08
HLP-12	0	0	0	0.00	0	0	0	0.00	0	0	0	0.00	0	0	0	0	0	0	0	0.00	0	0	0	0.00
HLP-13	0	0	0	0.00	0	0	0	0.00	0	0	0	0.00	0	0	0	0	0	0	0	0.00	0	0	0	0.00
HLP-14	1.27	1.28	1.25	1.27	1.71	1.62	1.73	1.69	1.1	1.09	1.25	1.15	0.63	0.53	0.68	0.61	0.08	0.2	0.29	0.19	0.55	0.54	0.63	0.57
HLP-15	0.92	0.9	0.88	0.90	0.36	0.25	0.39	0.33	0.24	0.21	0.34	0.26	0.05	0.16	0.26	0.16	0.11	0.19	0.29	0.20	0.3	0.31	0.61	0.41
HLP-16	0	0	0	0.00	0.33	0	0	0.11	0	0	0	0.00	0.1	0	0.13	0.08	0.05	0.06	0.09	0.07	0	0	0	0.00
HLP-17	0	0	0	0.00	0.19	0.19	0.26	0.21	1.69	1.71	1.35	1.58	0	0	0.09	0.03	0	0	0	0.00	0	0	0	0.00
HLP-18	0.03	0.03	0	0.02	0	0	0.04	0.01	0	0	0	0.00	0	0	0	0.00	0	0	0	0.00	0	0	0	0.00
HLP-19	0	0	0	0.00	0	0	0	0.00	0	0	0	0.00	0.04	0.02	0.26	0.11	0	0	0	0.00	0	0.03	0.02	0.02
HLP-20	0.86	0.85	0.81	0.84	0	0	0.12	0.04	0.42	0.44	0.55	0.47	0.27	0.24	0.46	0.32	0.02	0	0.11	0.04	0	0	0	0.00
TEP-21	0	0	0	0.00	0	0	0	0.00	0	0	0	0.00	0	0	0	0.00	0	0	0.11	0.04	0	0	0	0.00
TEP-22	0.11	0.09	0.1	0.10	0	0	0	0.00	0	0	0	0.00	0	0	0	0.00	0	0.06	0.06	0.04	0	0	0	0.00
TEP-23	0	0	0	0.00	0	0	0	0.00	0	0	0	0.00	0	0	0	0.00	0	0	0	0.00	0	0	0	0.00
LC-24	0.74	0.73	0.71	0.73	0	0	0.09	0.03	0.35	0.27	0.41	0.34	0.45	0.43	0.64	0.51	0.02	0.02	0.17	0.07	0.12	0.15	0.16	0.14
LC-25	0.78	0.77	0.76	0.77	0.16	0.1	0.32	0.19	0.51	0.52	0.59	0.54	0.35	0.4	0.59	0.45	0.19	0.34	0.4	0.31	0.35	0.41	0.43	0.40
LC-26	0.95	0.97	0.96	0.96	0.19	0.15	0.39	0.24	0.45	0.39	0.57	0.47	0.53	0.52	0.69	0.58	0.14	0.11	0.33	0.19	0	0	0	0.00
LC-27	2.9	2.92	2.89	2.90	0.63	0.62	0.83	0.69	1.82	1.82	1.9	1.85	0.23	0.16	0.42	0.27	0.14	0.16	0.2	0.17	0.33	0.37	0.26	0.32
PAC-28	0	0	0	0.00	0	0	0	0.00	0	0	0	0.00	0	0	0	0.00	0	0	0	0.00	0	0	0	0.00
PAC-29	0	0	0	0.00	0	0	0	0.00	0	0	0	0.00	0	0	0.02	0.01	0	0	0	0.00	0	0	0	0.00
PAC-30	0	0	0	0.00	0	0	0	0.00	0	0	0	0.00	0	0	0.06	0.02	0	0	0	0.00	0	0	0	0.00
LC-31	0.92	0.93	0.94	0.93	0.06	0.03	0.26	0.12	0	0	0	0.00	0.23	0.18	0.42	0.28	0.45	0.56	0.58	0.53	0	0	0.03	0.01
LRA-32	0.17	0.11	0.17	0.15	0.09	0.11	0.31	0.17	0	0	0	0.00	0	0	0.11	0.04	0	0	0.08	0.03	0	0	0	0.00
LRA-33	0	0	0	0.00	0	0	0	0.00	0	0	0	0.00	0	0	0.03	0.01	0	0	0.09	0.03	0	0	0	0.00
SRC-34	1.05	1.04	1.05	1.05	0	0	0.1	0.03	0	0	0	0.00	0.66	0.66	0.92	0.75	0.79	0.78	0.85	0.81	0.33	0.47	0.43	0.41
CMC-35	0.08	0.05	0.08	0.07	0	0	0.02	0.01	0	0	0	0.00	0	0	0.04	0.01	0	0	0.01	0.00	0	0	0	0.00
TB-36	0.13	0.1	0.11	0	0	0	0.00	0	0	0	0	0.00	0	0	0.02	0.01	0	0	0	0.00	0	0	0	0.00
LLC-37	0.93	0.93	0.94	0.93	0.14	0.18	0.41	0.24	0.45	0.46	0.63	0.51	0	0.13	0.3	0.14	0	0	0.13	0.04	0	0.12	0.07	0.06
LLC-38	0.42	0.4	0.42	0.41	0	0	0.13	0.04	0	0.01	0.18	0.06	0.16	0.13	0.32	0.20	0	0	0.12	0.04	0	0	0	0.00
LLC-39	0.15	0.14	0.17	0.15	0	0	0.04	0.01	0	0	0	0.00	0	0	0.15	0.05	0	0	0	0.00	0	0	0	0.00
LLC-40	0.19	0.15	0.18	0.17	0	0	0.13	0.04	0	0	0.05	0.02	0.16	0.16	0.46	0.26	0.04	0.1	0.27	0.14	0.19	1.28	1.4	1.29
CBC-41	0.43	0.41	0.43	0.42	0	0	0.09	0.03	0	0	0.1	0.03	0.31	0.4	0.65	0.45	0.04	0.15	0.27	0.15	0	0	0.01	0.00
CBC-42	0.2	0.17	0.18	0.18	0	0	0	0.00	0	0	0	0.00	0.18	0.18	0.45	0.27	0	0.1	0.17	0.09	0	0	0	0.00
CBC-43	0.74	0.69	0.73	0.72	0	0	0.25	0.08	0.26	0.22	0.47	0.32	0.62	0.66	0.98	0.75	0.07	0.2	0.36	0.21	0.04	0.12	0.15	0.10
UC-44	0.18	0.15	0.16	0.16	0	0	0.05	0.02	0	0	0.17	0.06	0	0.03	0.36	0.13	0.11	0.11	0.12	0.11	0	0	0	0.00
LC-45	0.36	0.34	0.37	0.36	0	0	0.22	0.07	0.05	0.05	0.26	0.12	0	0.09	0.17	0.09	0	0	0.00	0	0	0	0	0.00
LC-46	0.13	0.11	0.09	0.11	0	0	0.12	0.04	0.11	0.11	0.32	0.18	0.08	0.2	0.48	0.25	0.26	0.3	0.44	0.33	0	0	0	0.00
LC-47	0.36	0.34	0.35	0.35	0	0	0.23	0.08	0	0	0	0.00	0.04	0.1	0.28	0.14	0	0.07	0.22	0.10	0	0	0	0.00
LC-48	0.12	0.08	0.12	0.11	0	0	0.06	0.02	0	0	0.09	0.03	0.35	0.44	0.66	0.48	0.24	0.43	0.42	0.36	0	0	0.1	0.03
LC-49	0.15	0.11	0.14	0.13	0	0	0.12	0.04	0.05	0.08	0.31	0.15	0	0.06	0.35	0.14	0	0	0.12	0.04	0	0	0	0.00
LC-50	0.65	0.58	0.65																					

Anexo 10. Análisis de varianza del suelo a la profundidad de 0-30 cm por altitudes

Medidas resumen

Altitud C	Variable	n	Media	D.E.
1	pH_30	11	6.59	0.35
1	CE_30	11	0.07	0.03
1	P_30	11	8.42	8.25
1	K_30	11	105.30	55.48
1	C_30	11	1.57	0.71
1	MO_30	11	2.70	1.23
1	N_30	11	0.14	0.06
1	CIC_30	11	15.49	5.33
1	Ca_30	11	7.75	3.25
1	Mg_30	11	1.00	0.61
1	K_301	11	0.27	0.14
1	Na_30	11	0.12	0.03
1	Al_30	11	0.00	0.00
2	pH_30	11	8.07	0.40
2	CE_30	11	0.39	0.14
2	P_30	11	3.33	2.06
2	K_30	11	340.47	88.51
2	C_30	11	1.68	1.05
2	MO_30	11	2.90	1.81
2	N_30	11	0.15	0.09
2	CIC_30	11	34.39	2.76
2	Ca_30	11	29.68	2.38
2	Mg_30	11	3.64	1.44
2	K_301	11	0.82	0.24
2	Na_30	11	0.26	0.07
2	Al_30	11	0.00	0.00
3	pH_30	34	7.22	0.64
3	CE_30	34	0.30	0.18
3	P_30	34	5.14	4.46
3	K_30	34	325.12	107.83
3	C_30	34	2.63	0.91
3	MO_30	34	4.53	1.57
3	N_30	34	0.23	0.08
3	CIC_30	34	29.74	5.80
3	Ca_30	34	24.66	5.75
3	Mg_30	34	2.38	0.82
3	K_301	34	0.75	0.26
3	Na_30	34	0.22	0.09
3	Al_30	34	2.9E-03	0.02

Ánálisis de la varianza

PH-30

Variable	N	R ²	R ² Aj	CV
PH-30	56	0.42	0.40	7.66

Cuadro de Análisis de la Varianza (SC tipo III)

F.V.	SC	gl	CM	F	p-valor
Modelo	12.13	2	6.06	19.56	<0.0001
Altitud-C	12.13	2	6.06	19.56	<0.0001
Error	16.43	53	0.31		
Total	28.56	55			

Test:LSD Fisher Alfa=0,05 DMS=0,41905

Error: 0,3100 gl: 53

Altitud-C	Medias	n	E.E.
1	6.59	11	A
3	7.22	34	0.10
2	8.07	11	0.17

Medias con una letra común no son significativamente diferentes ($p > 0,05$)

CE_30cm

Variable	N	R ²	R ² Aj	CV
CE_30cm	56	0.33	0.31	57.64

Cuadro de Análisis de la Varianza (SC tipo III)

F.V.	SC	gl	CM	F	p-valor
Modelo	0.64	2	0.32	13.08	<0.0001
Altitud-C	0.64	2	0.32	13.08	<0.0001
Error	1.29	53	0.02		
Total	1.93	55			

Test:LSD Fisher Alfa=0,05 DMS=0,11760

Error: 0,0244 gl: 53

Altitud-C	Medias	n	E.E.
1	0.07	11	A
3	0.30	34	0.03

2 0.39 11 0.05 B
Medias con una letra común no son significativamente diferentes ($p > 0,05$)

P_30cm

Variable	N	R ²	R ² Aj	CV
P_30cm	56	0.10	0.06	94.09
Cuadro de Análisis de la Varianza (SC tipo III)				
F.V.	SC	gl	CM	F
Modelo	149.63	2	74.81	2.87
Altitud-C	149.63	2	74.81	2.87
Error	1380.4953		26.05	
Total	1530.1255			

Test:LSD Fisher Alfa=0,05 DMS=3,84138

Error: 26,0470 gl: 53

Altitud-C	Medias	n	E.E.
2	3.33	11	1.54 A
3	5.14	34	0.88 A
1	8.42	11	1.54 B

Medias con una letra común no son significativamente diferentes ($p > 0,05$)

K_30cm

Variable	N	R ²	R ² Aj	CV
K_30cm	56	0.47	0.45	33.84
Cuadro de Análisis de la Varianza (SC tipo III)				
F.V.	SC	gl	CM	F
Modelo	443787.20	2	221893.60	23.86 <0.0001
Altitud-C	443787.20	2	221893.60	23.86 <0.0001
Error	492804.22	53	9298.19	
Total	936591.42	55		

Test:LSD Fisher Alfa=0,05 DMS=72,57838

Error: 9298,1928 gl: 53

Altitud-C	Medias	n	E.E.
1	105.30	11	29.07 A
3	325.12	34	16.54 B
2	340.47	11	29.07 B

Medias con una letra común no son significativamente diferentes ($p > 0,05$)

C_30cm

Variable	N	R ²	R ² Aj	CV
C_30cm	56	0.24	0.21	40.51
Cuadro de Análisis de la Varianza (SC tipo III)				
F.V.	SC	gl	CM	F
Modelo	13.49	2	6.74	8.24 0.0008
Altitud-C	13.49	2	6.74	8.24 0.0008
Error	43.39	53	0.82	
Total	56.87	55		

Test:LSD Fisher Alfa=0,05 DMS=0,68100

Error: 0,8186 gl: 53

Altitud-C	Medias	n	E.E.
1	1.57	11	0.27 A
2	1.68	11	0.27 A
3	2.63	34	0.16 B

Medias con una letra común no son significativamente diferentes ($p > 0,05$)

MO_30cm

Variable	N	R ²	R ² Aj	CV
MO_30cm	56	0.24	0.21	40.54
Cuadro de Análisis de la Varianza (SC tipo III)				
F.V.	SC	gl	CM	F
Modelo	40.02	2	20.01	8.22 0.0008
Altitud-C	40.02	2	20.01	8.22 0.0008
Error	129.02	53	2.43	
Total	169.05	55		

Test:LSD Fisher Alfa=0,05 DMS=1,17437

Error: 2,4344 gl: 53

Altitud-C	Medias	n	E.E.
1	2.70	11	0.47 A
2	2.90	11	0.47 A
3	4.53	34	0.27 B

Medias con una letra común no son significativamente diferentes ($p > 0,05$)

N_30cm

Variable	N	R ²	R ² Aj	CV
N_30cm	56	0.23	0.20	40.31
Cuadro de Análisis de la Varianza (SC tipo III)				
F.V.	SC	gl	CM	F
Modelo	0.09	2	0.05	7.92 0.0010

Altitud-C	0.09	2	0.05	7.92	0.0010
Error	0.32	53	0.01		
Total	0.41	55			

Test:LSD Fisher Alfa=0,05 DMS=0,05824

Error: 0,0060 gl: 53

Altitud-C	Medias	n	E.E.	
1	0.14	11	0.02	A
2	0.15	11	0.02	A
3	0.23	34	0.01	B

Medias con una letra común no son significativamente diferentes ($p > 0,05$)

CIC

Variable	N	R ²	R ² Aj	CV
CIC	56	0.61	0.59	18.90

Cuadro de Análisis de la Varianza (SC tipo III)

F.V.	SC	gl	CM	F	p-valor
Modelo	2272.19	2	1136.09	40.99	<0.0001
Altitud-C	2272.19	2	1136.09	40.99	<0.0001
Error	1468.84	53		27.71	
Total	3741.03	55			

Test:LSD Fisher Alfa=0,05 DMS=3,96239

Error: 27,7140 gl: 53

Altitud-C	Medias	n	E.E.	
1	15.49	11	1.59	A
3	29.74	34	0.90	B
2	34.39	11	1.59	C

Medias con una letra común no son significativamente diferentes ($p > 0,05$)

Ca+2

Variable	N	R ²	R ² Aj	CV
Ca+2	56	0.71	0.70	21.77

Cuadro de Análisis de la Varianza (SC tipo III)

F.V.	SC	gl	CM	F	p-valor
Modelo	3116.88	2	1558.44	65.98	<0.0001
Altitud-C	3116.88	2	1558.44	65.98	<0.0001
Error	1251.83	53		23.62	
Total	4368.71	55			

Test:LSD Fisher Alfa=0,05 DMS=3,65799

Error: 23,6194 gl: 53

Altitud-C	Medias	n	E.E.	
1	7.75	11	1.47	A
3	24.66	34	0.83	B
2	29.68	11	1.47	C

Medias con una letra común no son significativamente diferentes ($p > 0,05$)

Mg+2

Variable	N	R ²	R ² Aj	CV
Mg+2	56	0.45	0.43	39.73

Cuadro de Análisis de la Varianza (SC tipo III)

F.V.	SC	gl	CM	F	p-valor
Modelo	38.33	2	19.16	21.89	<0.0001
Altitud-C	38.33	2	19.16	21.89	<0.0001
Error	46.39	53		0.88	
Total	84.71	55			

Test:LSD Fisher Alfa=0,05 DMS=0,70417

Error: 0,8753 gl: 53

Altitud-C	Medias	n	E.E.	
1	1.00	11	0.28	A
3	2.38	34	0.16	B
2	3.64	11	0.28	C

Medias con una letra común no son significativamente diferentes ($p > 0,05$)

K+

Variable	N	R ²	R ² Aj	CV
K+	56	0.43	0.41	35.17

Cuadro de Análisis de la Varianza (SC tipo III)

F.V.	SC	gl	CM	F	p-valor
Modelo	2.22	2	1.11	19.97	<0.0001
Altitud-C	2.22	2	1.11	19.97	<0.0001
Error	2.95	53		0.06	
Total	5.16	55			

Test:LSD Fisher Alfa=0,05 DMS=0,17744

Error: 0,0556 gl: 53

Altitud-C	Medias	n	E.E.	
1	0.27	11	0.07	A
3	0.75	34	0.04	B
2	0.82	11	0.07	B

Medias con una letra común no son significativamente diferentes ($p > 0,05$)

Na+

Variable	N	R ²	R ² Aj	CV
Na+	56	0.25	0.22	38.71
Cuadro de Análisis de la Varianza (SC tipo III)				
F.V.	SC	gl	CM	F
Modelo	0.12	2	0.06	8.92
Altitud-C	0.12	2	0.06	8.92
Error	0.35	53	0.01	
Total	0.47	55		

Test:LSD Fisher Alfa=0,05 DMS=0,06145

Error: 0,0067 gl: 53

Altitud-C	Medias	n	E.E.
1	0.12	11	0.02 A
3	0.22	34	0.01 B
2	0.26	11	0.02 B

Medias con una letra común no son significativamente diferentes ($p > 0,05$)

Al+3 + H+

Variable	N	R ²	R ² Aj	CV
Al+3 + H+	56	0.01	0.00	757.82
Cuadro de Análisis de la Varianza (SC tipo III)				
F.V.	SC	gl	CM	F
Modelo	1.2E-04	2	5.8E-05	0.32
Altitud-C	1.2E-04	2	5.8E-05	0.32
Error	0.01	53	1.8E-04	
Total	0.01	55		

Test:LSD Fisher Alfa=0,05 DMS=0,01019

Error: 0,0002 gl: 53

Altitud-C	Medias	n	E.E.
2	0.00	11	4.1E-03 A
1	0.00	11	4.1E-03 A
3	2.9E-03	34	2.3E-03 A

Medias con una letra común no son significativamente diferentes ($p > 0,05$)

Anexo 11. Análisis de varianza del suelo a la profundidad de 30-60 cm por altitudes

Medidas resumen

Altitud C	Variable	n	Media	D.E.
1	pH_60	11	6.46	0.40
1	CE_60	11	0.03	0.01
1	P_60	11	3.59	3.43
1	K_60	11	80.97	34.94
1	C_60	11	1.07	0.63
1	MO_60	11	1.84	1.08
1	N_60	11	0.09	0.05
1	CIC_60	11	16.20	6.01
1	Ca_60	11	6.87	2.80
1	Mg_60	11	0.77	0.48
1	K_601	11	0.19	0.11
1	Na_60	11	0.11	0.02
1	Al_60	11	0.00	0.00
2	pH_60	11	8.40	0.29
2	CE_60	11	0.31	0.13
2	P_60	11	2.24	1.78
2	K_60	11	258.39	83.91
2	C_60	11	1.67	0.80
2	MO_60	11	2.87	1.38
2	N_60	11	0.14	0.07
2	CIC_60	11	34.07	5.42
2	Ca_60	11	29.83	4.50
2	Mg_60	11	3.29	1.71
2	K_601	11	0.65	0.22
2	Na_60	11	0.30	0.11
2	Al_60	11	0.00	0.00
3	pH_60	34	7.44	0.73
3	CE_60	34	0.21	0.15
3	P_60	34	4.49	4.82
3	K_60	34	248.11	98.26
3	C_60	34	1.62	0.64
3	MO_60	34	2.79	1.10
3	N_60	34	0.14	0.05
3	CIC_60	34	28.07	6.38
3	Ca_60	34	23.15	8.11

3	Mg_60	34	1.82	0.85
3	K_601	34	0.59	0.25
3	Na_60	34	0.24	0.11
3	Al_60	34	0.02	0.10

Análisis de la varianza

PH-60

Variable	N	R ²	R ² Aj	CV
PH-60	55	0.43	0.41	8.57
Cuadro de Análisis de la Varianza (SC tipo III)				
F.V.	SC	gl	CM	F
Modelo	16.23	2	8.11	19.78 <0.0001
Altitud-C	16.23	2	8.11	19.78 <0.0001
Error	21.32	52	0.41	
Total	37.55	54		

Test:LSD Fisher Alfa=0,05 DMS=0,48323

Error: 0,4101 gl: 52

Altitud-C	Medias	n	E.E.
1	6.56	11	0.19 A
3	7.51	33	0.11 B
2	8.27	11	0.19 C

Medias con una letra común no son significativamente diferentes ($p > 0,05$)

CE_60cm

Variable	N	R ²	R ² Aj	CV
CE_60cm	56	0.32	0.30	67.74
Cuadro de Análisis de la Varianza (SC tipo III)				
F.V.	SC	gl	CM	F
Modelo	0.45	2	0.23	12.67 <0.0001
Altitud-C	0.45	2	0.23	12.67 <0.0001
Error	0.94	53	0.02	
Total	1.39	55		

Test:LSD Fisher Alfa=0,05 DMS=0,10042

Error: 0,0178 gl: 53

Altitud-C	Medias	n	E.E.
1	0.03	11	0.04 A
3	0.21	34	0.02 B
2	0.31	11	0.04 C

Medias con una letra común no son significativamente diferentes ($p > 0,05$)

P_60cm

Variable	N	R ²	R ² Aj	CV
P_60cm	56	0.05	0.01	107.31
Cuadro de Análisis de la Varianza (SC tipo III)				
F.V.	SC	gl	CM	F
Modelo	43.48	2	21.74	1.26 0.2924
Altitud-C	43.48	2	21.74	1.26 0.2924
Error	915.67	53	17.28	
Total	959.15	55		

Test:LSD Fisher Alfa=0,05 DMS=3,12852

Error: 17,2768 gl: 53

Altitud-C	Medias	n	E.E.
2	2.24	11	1.25 A
1	3.59	11	1.25 A
3	4.49	34	0.71 A

Medias con una letra común no son significativamente diferentes ($p > 0,05$)

K_60cm

Variable	N	R ²	R ² Aj	CV
K_60cm	56	0.39	0.37	40.04
Cuadro de Análisis de la Varianza (SC tipo III)				
F.V.	SC	gl	CM	F
Modelo	255296.02	2	127648.01	16.86 <0.0001
Altitud-C	255296.02	2	127648.01	16.86 <0.0001
Error	401224.44	53	7570.27	
Total	656520.45	55		

Test:LSD Fisher Alfa=0,05 DMS=65,48831

Error: 7570,2724 gl: 53

Altitud-C	Medias	n	E.E.
1	80.97	11	26.23 A
3	248.11	34	14.92 B
2	258.39	11	26.23 B

Medias con una letra común no son significativamente diferentes ($p > 0,05$)

C_60cm

Variable	N	R ²	R ² Aj	CV
C_60cm	56	0.10	0.07	44.11
Cuadro de Análisis de la Varianza (SC tipo III)				
F.V.	SC	gl	CM	F
Modelo	2.79	2	1.39	3.10
Altitud-C	2.79	2	1.39	3.10
Error	23.82	53	0.45	
Total	26.60	55		
Test:LSD Fisher Alfa=0,05 DMS=0,50454				
Error: 0,4493 gl: 53				
Altitud-C	Medias	n	E.E.	
1	1.07	11	0.20	A
3	1.62	34	0.11	B
2	1.67	11	0.20	B
Medias con una letra común no son significativamente diferentes ($p > 0,05$)				
MO_60cm				
Variable	N	R ²	R ² Aj	CV
MO_60cm	56	0.11	0.07	44.14
Cuadro de Análisis de la Varianza (SC tipo III)				
F.V.	SC	gl	CM	F
Modelo	8.35	2	4.18	3.12
Altitud-C	8.35	2	4.18	3.12
Error	70.83	53	1.34	
Total	79.18	55		
Test:LSD Fisher Alfa=0,05 DMS=0,87009				
Error: 1,3363 gl: 53				
Altitud-C	Medias	n	E.E.	
1	1.84	11	0.35	A
3	2.79	34	0.20	B
2	2.87	11	0.35	B
Medias con una letra común no son significativamente diferentes ($p > 0,05$)				
N_60cm				
Variable	N	R ²	R ² Aj	CV
N_60cm	56	0.11	0.07	43.43
Cuadro de Análisis de la Varianza (SC tipo III)				
F.V.	SC	gl	CM	F
Modelo	0.02	2	0.01	3.21
Altitud-C	0.02	2	0.01	3.21
Error	0.17	53		3.3E-03
Total	0.19	55		
Test:LSD Fisher Alfa=0,05 DMS=0,04308				
Error: 0,0033 gl: 53				
Altitud-C	Medias	n	E.E.	
1	0.09	11	0.02	A
3	0.14	34	0.01	B
2	0.14	11	0.02	B
Medias con una letra común no son significativamente diferentes ($p > 0,05$)				
CIC1				
Variable	N	R ²	R ² Aj	CV
CIC1	56	0.48	0.46	22.80
Cuadro de Análisis de la Varianza (SC tipo III)				
F.V.	SC	gl	CM	F
Modelo	1871.26	2	935.63	24.84
Altitud-C	1871.26	2	935.63	24.84
Error	1996.42	53	37.67	
Total	3867.68	55		
Test:LSD Fisher Alfa=0,05 DMS=4,61951				
Error: 37,6683 gl: 53				
Altitud-C	Medias	n	E.E.	
1	16.20	11	1.85	A
3	28.07	34	1.05	B
2	34.07	11	1.85	C
Medias con una letra común no son significativamente diferentes ($p > 0,05$)				
Ca+21				
Variable	N	R ²	R ² Aj	CV
Ca+21	56	0.57	0.55	31.98
Cuadro de Análisis de la Varianza (SC tipo III)				
F.V.	SC	gl	CM	F
Modelo	3205.35	2	1602.67	34.66
Altitud-C	3205.35	2	1602.67	34.66
Error	2450.82	53		46.24
Total	5656.17	55		
Test:LSD Fisher Alfa=0,05 DMS=5,11830				

Error: 46,2419 gl: 53

Altitud-C	Medias	n	E.E.
1	6.87	11	2.05 A
3	23.15	34	1.17 B
2	29.83	11	2.05 C

Medias con una letra común no son significativamente diferentes ($p > 0,05$)

Mg+21

Variable	N	R ²	R ² Aj	CV
Mg+21	56	0.39	0.37	53.59

Cuadro de Análisis de la Varianza (SC tipo III)

F.V.	SC	gl	CM	F	p-valor
Modelo	35.31	2	17.66	17.00	<0.0001
Altitud-C	35.31	2	17.66	17.00	<0.0001
Error	55.05	53	1.04		
Total	90.36	55			

Test:LSD Fisher Alfa=0,05 DMS=0,76711

Error: 1,0387 gl: 53

Altitud-C	Medias	n	E.E.
1	0.77	11	0.31 A
3	1.82	34	0.17 B
2	3.29	11	0.31 C

Medias con una letra común no son significativamente diferentes ($p > 0,05$)

K+1

Variable	N	R ²	R ² Aj	CV
K+1	56	0.37	0.35	42.51

Cuadro de Análisis de la Varianza (SC tipo III)

F.V.	SC	gl	CM	F	p-valor
Modelo	1.54	2	0.77	15.66	<0.0001
Altitud-C	1.54	2	0.77	15.66	<0.0001
Error	2.61	53	0.05		
Total	4.15	55			

Test:LSD Fisher Alfa=0,05 DMS=0,16694

Error: 0,0492 gl: 53

Altitud-C	Medias	n	E.E.
1	0.19	11	0.07 A
3	0.59	34	0.04 B
2	0.65	11	0.07 B

Medias con una letra común no son significativamente diferentes ($p > 0,05$)

Na+1

Variable	N	R ²	R ² Aj	CV
Na+1	56	0.28	0.25	45.27

Cuadro de Análisis de la Varianza (SC tipo III)

F.V.	SC	gl	CM	F	p-valor
Modelo	0.21	2	0.11	10.20	0.0002
Altitud-C	0.21	2	0.11	10.20	0.0002
Error	0.55	53	0.01		
Total	0.76	55			

Test:LSD Fisher Alfa=0,05 DMS=0,07673

Error: 0,0104 gl: 53

Altitud-C	Medias	n	E.E.
1	0.11	11	0.03 A
3	0.24	34	0.02 B
2	0.30	11	0.03 B

Medias con una letra común no son significativamente diferentes ($p > 0,05$)

Al+3 + H+1

Variable	N	R ²	R ² Aj	CV
Al+3 + H+1	56	0.01	0.00	757.82

Cuadro de Análisis de la Varianza (SC tipo III)

F.V.	SC	gl	CM	F	p-valor
Modelo	3.6E-03	2	1.8E-03	0.32	0.7308
Altitud-C	3.6E-03	2	1.8E-03	0.32	0.7308
Error	0.30	53	0.01		
Total	0.31	55			

Test:LSD Fisher Alfa=0,05 DMS=0,05704

Error: 0,0057 gl: 53

Altitud-C	Medias	n	E.E.
2	0.00	11	0.02 A
1	0.00	11	0.02 A
3	0.02	34	0.01 A

Medias con una letra común no son significativamente diferentes ($p > 0,05$)

Anexo 12. Análisis de varianza del suelo a la profundidad de 0-30 cm por variedades.

Medidas resumen

Variedad	Variable	n	Media	D.E.
CCN51	pH_30	7	6.75	0.47
CCN51	CE_30	7	0.12	0.08
CCN51	P_30	7	4.18	3.99
CCN51	K_30	7	138.17	120.93
CCN51	C_30	7	2.03	1.20
CCN51	MO_30	7	3.50	2.06
CCN51	N_30	7	0.18	0.10
CCN51	CIC_30	7	21.01	7.46
CCN51	Ca_30	7	13.30	6.84
CCN51	Mg_30	7	1.40	0.97
CCN51	K_301	7	0.36	0.29
CCN51	Na_30	7	0.15	0.08
CCN51	Al_30	7	0.00	0.00
Nativo	CE_30	49	0.30	0.19
Nativo	P_30	49	6.05	5.64
Nativo	K_30	49	299.37	123.49
Nativo	C_30	49	2.35	0.98
Nativo	MO_30	49	4.04	1.69
Nativo	N_30	49	0.20	0.08
Nativo	CIC_30	49	28.41	8.37
Nativo	Ca_30	49	23.42	8.90
Nativo	Mg_30	49	2.44	1.28
Nativo	K_301	49	0.69	0.29
Nativo	Na_30	49	0.22	0.09
Nativo	Al_30	49	0.00	0.00

Análisis de la varianza

CE_30cm

Variable	N	R ²	R ² Aj	CV
CE_30cm	56	0.09	0.06	67.06

Cuadro de Análisis de la Varianza (SC tipo III)

F.V.	SC	gl	CM	F	p-valor
Modelo	0.18	2	0.09	2.74	0.0740
Variedad	0.18	2	0.09	2.74	0.0740
Error	1.75	53	0.03		
Total	1.93	55			

Test:LSD Fisher Alfa=0,05 DMS=0,17173

Error: 0,0330 gl: 53

Variedad	Medias	n	E.E.
CCN51	0.12	7	A
Nativo	0.30	43	B

Medias con una letra común no son significativamente diferentes ($p > 0,05$)

P_30cm

Variable	N	R ²	R ² Aj	CV
P_30cm	56	0.05	0.02	96.31

Cuadro de Análisis de la Varianza (SC tipo III)

F.V.	SC	gl	CM	F	p-valor
Modelo	83.57	2	41.78	1.53	0.2258
Variedad	83.57	2	41.78	1.53	0.2258
Error	1446.56	53	27.29		
Total	1530.12	55			

Test:LSD Fisher Alfa=0,05 DMS=4,93558

Error: 27,2935 gl: 53

Variedad	Medias	n	E.E.
CCN51	4.18	7	A
Nativo	6.05	43	A

Medias con una letra común no son significativamente diferentes ($p > 0,05$)

K_30cm

Variable	N	R ²	R ² Aj	CV
K_30cm	56	0.20	0.17	41.72

Cuadro de Análisis de la Varianza (SC tipo III)

F.V.	SC	gl	CM	F	p-valor
Modelo	187479.47	2	93739.74	6.63	0.0027
Variedad	187479.47	2	93739.74	6.63	0.0027
Error	749111.95	53	14134.19		
Total	936591.42	55			

Test:LSD Fisher Alfa=0,05 DMS=112,31662

Error: 14134,1876 gl: 53

Variedad	Medias	n	E.E.
----------	--------	---	------

CCN51	138.17	7	44.94	A
Nativo	299.37	43	18.13	B
Medias con una letra común no son significativamente diferentes ($p > 0,05$)				

C_30cm

Variable	N	R ²	R ² Aj	CV
C_30cm	56	0.05	0.01	45.23
Cuadro de Análisis de la Varianza (SC tipo III)				
F.V.	SC	gl	CM	p-valor
Modelo	2.79	2	1.39	1.36
Variedad	2.79	2	1.39	1.36
Error	54.09	53	1.02	
Total	56.87	55		

Test:LSD Fisher Alfa=0,05 DMS=0,95437

Error: 1,0205 gl: 53

Variedad	Medias	n	E.E.
CCN51	2.03	7	0.38 A
Nativo	2.35	43	0.15 A

Medias con una letra común no son significativamente diferentes ($p > 0,05$)

MO_30cm

Variable	N	R ²	R ² Aj	CV
MO_30cm	56	0.05	0.01	45.25
Cuadro de Análisis de la Varianza (SC tipo III)				
F.V.	SC	gl	CM	p-valor
Modelo	8.27	2	4.14	1.36
Variedad	8.27	2	4.14	1.36
Error	160.77	53	3.03	
Total	169.05	55		

Test:LSD Fisher Alfa=0,05 DMS=1,64542

Error: 3,0335 gl: 53

Variedad	Medias	n	E.E.
CCN51	3.50	7	0.66 A
Nativo	4.04	43	0.27 A

Medias con una letra común no son significativamente diferentes ($p > 0,05$)

N_30cm

Variable	N	R ²	R ² Aj	CV
N_30cm	56	0.05	0.01	44.89
Cuadro de Análisis de la Varianza (SC tipo III)				
F.V.	SC	gl	CM	p-valor
Modelo	0.02	2	0.01	1.26
Variedad	0.02	2	0.01	1.26
Error	0.39	53	0.01	
Total	0.41	55		

Test:LSD Fisher Alfa=0,05 DMS=0,08141

Error: 0,0074 gl: 53

Variedad	Medias	n	E.E.
CCN51	0.18	7	0.03 A
Nativo	0.20	43	0.01 A

Medias con una letra común no son significativamente diferentes ($p > 0,05$)

PH-30

Variable	N	R ²	R ² Aj	CV
PH-30	56	0.08	0.04	9.70

Cuadro de Análisis de la Varianza (SC tipo III)

F.V.	SC	gl	CM	F	p-valor
Modelo	2.23	2	1.12	2.25	0.1158
Variedad	2.23	2	1.12	2.25	0.1158
Error	26.33	53	0.50		
Total	28.56	55			

Test:LSD Fisher Alfa=0,05 DMS=0,66582

Error: 0,4967 gl: 53

Variedad	Medias	n	E.E.
CCN51	6.75	7	0.27 A
Nativo	7.36	43	0.11 B

Medias con una letra común no son significativamente diferentes ($p > 0,05$)

CIC

Variable	N	R ²	R ² Aj	CV
CIC	56	0.12	0.08	28.35

Cuadro de Análisis de la Varianza (SC tipo III)

F.V.	SC	gl	CM	F	p-valor
Modelo	436.90	2	218.45	3.50	0.0372
Variedad	436.90	2	218.45	3.50	0.0372
Error	3304.13	53	62.34		

Total 3741.03 55

Test:LSD Fisher Alfa=0,05 DMS=7,45932

Error: 62,3420 gl: 53

Variedad	Medias	n	E.E.
CCN51	21.01	7	2.98 A
Nativo	28.41	43	1.20 B

Medias con una letra común no son significativamente diferentes ($p > 0,05$)

Ca+2

Variable	N	R ²	R ² Aj	CV
Ca+2	56	0.15	0.12	37.45

Cuadro de Análisis de la Varianza (SC tipo III)

F.V.	SC	gl	CM	F	p-valor
Modelo	664.33	2	332.16	4.75	0.0126
Variedad	664.33	2	332.16	4.75	0.0126
Error	3704.38	53	69.89		
Total	4368.71	55			

Test:LSD Fisher Alfa=0,05 DMS=7,89821

Error: 69,8940 gl: 53

Variedad	Medias	n	E.E.
CCN51	13.30	7	3.16 A
Nativo	23.42	43	1.27 B

Medias con una letra común no son significativamente diferentes ($p > 0,05$)

Mg+2

Variable	N	R ²	R ² Aj	CV
Mg+2	56	0.10	0.06	50.96

Cuadro de Análisis de la Varianza (SC tipo III)

F.V.	SC	gl	CM	F	p-valor
Modelo	8.39	2	4.19	2.91	0.0631
Variedad	8.39	2	4.19	2.91	0.0631
Error	76.33	53	1.44		
Total	84.71	55			

Test:LSD Fisher Alfa=0,05 DMS=1,13374

Error: 1,4402 gl: 53

Variedad	Medias	n	E.E.
CCN51	1.40	7	0.45 A
Nativo	2.44	43	0.18 B

Medias con una letra común no son significativamente diferentes ($p > 0,05$)

K+

Variable	N	R ²	R ² Aj	CV
K+	56	0.19	0.15	42.03

Cuadro de Análisis de la Varianza (SC tipo III)

F.V.	SC	gl	CM	F	p-valor
Modelo	0.96	2	0.48	6.03	0.0044
Variedad	0.96	2	0.48	6.03	0.0044
Error	4.21	53	0.08		
Total	5.16	55			

Test:LSD Fisher Alfa=0,05 DMS=0,26619

Error: 0,0794 gl: 53

Variedad	Medias	n	E.E.
CCN51	0.36	7	0.11 A
Nativo	0.69	43	0.04 B

Medias con una letra común no son significativamente diferentes ($p > 0,05$)

Na+

Variable	N	R ²	R ² Aj	CV
Na+	56	0.06	0.02	43.45

Cuadro de Análisis de la Varianza (SC tipo III)

F.V.	SC	gl	CM	F	p-valor
Modelo	0.03	2	0.01	1.63	0.2061
Variedad	0.03	2	0.01	1.63	0.2061
Error	0.44	53	0.01		
Total	0.47	55			

Test:LSD Fisher Alfa=0,05 DMS=0,08656

Error: 0,0084 gl: 53

Variedad	Medias	n	E.E.
CCN51	0.15	7	0.03 A
Nativo	0.22	43	0.01 A

Medias con una letra común no son significativamente diferentes ($p > 0,05$)

Al+3 + H+

Variable	N	R ²	R ² Aj	CV
Al+3 + H+	56	0.15	0.12	702.20

Cuadro de Análisis de la Varianza (SC tipo III)

F.V.	SC	gl	CM	F	p-valor
------	----	----	----	---	---------

Modelo	1.5E-03	2	7.4E-04	4.73	0.0129
Variedad	1.5E-03	2	7.4E-04	4.73	0.0129
Error	0.0153		1.6E-04		
Total	0.0155				

Test:LSD Fisher Alfa=0,05 DMS=0,01185

Error: 0,0002 gl: 53

Variedad	Medias	n	E.E.
----------	--------	---	------

Nativo 0.00 43 1.9E-03 A

CCN51 0.00 7 4.7E-03 A

Medias con una letra común no son significativamente diferentes ($p > 0,05$)

Anexo 13. Análisis de varianza del suelo a la profundidad de 30-60 cm por variedades.

Medidas resumen

Variedad	Variable	n	Media	D.E.
CCN51	pH_60	7	6.64	0.76
CCN51	CE_60	7	0.09	0.09
CCN51	P_60	7	1.92	1.70
CCN51	K_60	7	119.45	74.68
CCN51	C_60	7	1.10	0.61
CCN51	MO_60	7	1.90	1.06
CCN51	N_60	7	0.10	0.05
CCN51	CIC_60	7	21.19	6.77
CCN51	Ca_60	7	11.35	4.04
CCN51	Mg_60	7	1.26	0.68
CCN51	K_601	7	0.29	0.20
CCN51	Na_60	7	0.11	0.03
CCN51	Al_60	7	0.00	0.00
Nativo	pH_60	49	7.59	0.70
Nativo	CE_60	49	0.22	0.17
Nativo	P_60	49	4.40	4.53
Nativo	K_60	49	231.84	111.89
Nativo	C_60	49	1.59	0.68
Nativo	MO_60	49	2.74	1.18
Nativo	N_60	49	0.14	0.06
Nativo	CIC_60	49	27.39	8.56
Nativo	Ca_60	49	22.73	10.11
Nativo	Mg_60	49	1.87	1.31
Nativo	K_601	49	0.55	0.28
Nativo	Na_60	49	0.25	0.12
Nativo	Al_60	49	0.00	0.00

Análisis de la varianza

PH-60

Variable	N	R ²	R ² Aj	CV
PH-60	55	0.10	0.07	10.78

Cuadro de Análisis de la Varianza (SC tipo III)

F.V.	SC	gl	CM	F	p-valor
Modelo	3.84	2	1.92	2.96	0.0604
Variedad	3.84	2	1.92	2.96	0.0604
Error	33.71	52	0.65		
Total	37.55	54			

Test:LSD Fisher Alfa=0,05 DMS=0,79817

Error: 0,6482 gl: 52

Variedad	Medias	n	E.E.
CCN51	6.78	7	0.30 A
Nativo	7.56	43	0.12 A

Medias con una letra común no son significativamente diferentes ($p > 0,05$)

CE_60cm

Variable	N	R ²	R ² Aj	CV
CE_60cm	56	0.08	0.04	79.20

Cuadro de Análisis de la Varianza (SC tipo III)

F.V.	SC	gl	CM	F	p-valor
Modelo	0.10	2	0.05	2.15	0.1263
Variedad	0.10	2	0.05	2.15	0.1263
Error	1.29	53	0.02		
Total	1.39	55			

Test:LSD Fisher Alfa=0,05 DMS=0,14737

Error: 0,0243 gl: 53

Variedad	Medias	n	E.E.
CCN51	0.09	7	0.06 A
Nativo	0.22	43	0.02 B

Medias con una letra común no son significativamente diferentes ($p > 0,05$)

P_60cm					
Variable	N	R ²	R ² Aj	CV	
P_60cm	56	0.05	0.02	106.78	
Cuadro de Análisis de la Varianza (SC tipo III)					
F.V.	SC	gl	CM	F	p-valor
Modelo	52.59	2	26.29	1.54	0.2244
Variedad	52.59	2	26.29	1.54	0.2244
Error	906.56	53	17.10		
Total	959.15	55			
Test:LSD Fisher Alfa=0,05 DMS=3,90724					
Error:	17,1050	gl:	53		
Variedad	Medias	n	E.E.		
CCN51	1.92	7	1.56	A	
Nativo	4.40	43	0.63	A	
Medias con una letra común no son significativamente diferentes ($p > 0,05$)					
K_60cm					
Variable	N	R ²	R ² Aj	CV	
K_60cm	56	0.12	0.08	48.13	
Cuadro de Análisis de la Varianza (SC tipo III)					
F.V.	SC	gl	CM	F	p-valor
Modelo	76711.94	2	38355.97	3.51	0.0372
Variedad	76711.94	2	38355.97	3.51	0.0372
Error	579808.51	53	10939.78		
Total	656520.45	55			
Test:LSD Fisher Alfa=0,05 DMS=98,81275					
Error:	10939,7832	gl:	53		
Variedad	Medias	n	E.E.		
CCN51	119.45	7	39.53	A	
Nativo	231.84	43	15.95	B	
Medias con una letra común no son significativamente diferentes ($p > 0,05$)					
C_60cm					
Variable	N	R ²	R ² Aj	CV	
C_60cm	56	0.05	0.02	45.37	
Cuadro de Análisis de la Varianza (SC tipo III)					
F.V.	SC	gl	CM	F	p-valor
Modelo	1.41	2	0.70	1.48	0.2366
Variedad	1.41	2	0.70	1.48	0.2366
Error	25.19	53	0.48		
Total	26.60	55			
Test:LSD Fisher Alfa=0,05 DMS=0,65136					
Error:	0,4754	gl:	53		
Variedad	Medias	n	E.E.		
CCN51	1.10	7	0.26	A	
Nativo	1.59	43	0.11	A	
Medias con una letra común no son significativamente diferentes ($p > 0,05$)					
MO_60cm					
Variable	N	R ²	R ² Aj	CV	
MO_60cm	56	0.05	0.02	45.42	
Cuadro de Análisis de la Varianza (SC tipo III)					
F.V.	SC	gl	CM	F	p-valor
Modelo	4.19	2	2.09	1.48	0.2368
Variedad	4.19	2	2.09	1.48	0.2368
Error	74.99	53	1.41		
Total	79.18	55			
Test:LSD Fisher Alfa=0,05 DMS=1,12373					
Error:	1,4148	gl:	53		
Variedad	Medias	n	E.E.		
CCN51	1.90	7	0.45	A	
Nativo	2.74	43	0.18	A	
Medias con una letra común no son significativamente diferentes ($p > 0,05$)					
N_60cm					
Variable	N	R ²	R ² Aj	CV	
N_60cm	56	0.05	0.02	44.71	
Cuadro de Análisis de la Varianza (SC tipo III)					
F.V.	SC	gl	CM	F	p-valor
Modelo	0.01	2	0.01	1.53	0.2267
Variedad	0.01	2	0.01	1.53	0.2267
Error	0.18	53	3.5E-03		
Total	0.19	55			
Test:LSD Fisher Alfa=0,05 DMS=0,05567					
Error:	0,0035	gl:	53		
Variedad	Medias	n	E.E.		

CCN51	0.10	7	0.02	A
Nativo	0.14	43	0.01	A
Medias con una letra común no son significativamente diferentes ($p > 0,05$)				

CIC1

Variable	N	R ²	R ² Aj	CV
CIC1	56	0.08	0.04	30.46
Cuadro de Análisis de la Varianza (SC tipo III)				
F.V.	SC	gl	CM	F
Modelo	303.98	2	151.99	2.26
Variedad	303.98	2	151.99	2.26
Error	3563.70	53	67.24	
Total	3867.68	55		

Test:LSD Fisher Alfa=0,05 DMS=7,74678

Error: 67,2397 gl: 53

Variedad	Medias	n	E.E.
CCN51	21.19	7	3.10 A
Nativo	27.39	43	1.25 A

Medias con una letra común no son significativamente diferentes ($p > 0,05$)

Ca+21

Variable	N	R ²	R ² Aj	CV
Ca+21	56	0.14	0.11	45.08
Cuadro de Análisis de la Varianza (SC tipo III)				
F.V.	SC	gl	CM	F
Modelo	786.59	2	393.30	4.28
Variedad	786.59	2	393.30	4.28
Error	4869.57	53	91.88	
Total	5656.17	55		

Test:LSD Fisher Alfa=0,05 DMS=9,05558

Error: 91,8788 gl: 53

Variedad	Medias	n	E.E.
CCN51	11.35	7	3.62 A
Nativo	22.73	43	1.46 B

Medias con una letra común no son significativamente diferentes ($p > 0,05$)

Mg+21

Variable	N	R ²	R ² Aj	CV
Mg+21	56	0.10	0.06	65.24
Cuadro de Análisis de la Varianza (SC tipo III)				
F.V.	SC	gl	CM	F
Modelo	8.75	2	4.38	2.84
Variedad	8.75	2	4.38	2.84
Error	81.61	53	1.54	
Total	90.36	55		

Test:LSD Fisher Alfa=0,05 DMS=1,17231

Error: 1,5398 gl: 53

Variedad	Medias	n	E.E.
CCN51	1.26	7	0.47 A
Nativo	1.87	43	0.19 A

Medias con una letra común no son significativamente diferentes ($p > 0,05$)

K+1

Variable	N	R ²	R ² Aj	CV
K+1	56	0.10	0.07	50.83
Cuadro de Análisis de la Varianza (SC tipo III)				
F.V.	SC	gl	CM	F
Modelo	0.42	2	0.21	2.98
Variedad	0.42	2	0.21	2.98
Error	3.73	53	0.07	
Total	4.15	55		

Test:LSD Fisher Alfa=0,05 DMS=0,25058

Error: 0,0704 gl: 53

Variedad	Medias	n	E.E.
CCN51	0.29	7	0.10 A
Nativo	0.55	43	0.04 A

Medias con una letra común no son significativamente diferentes ($p > 0,05$)

Na+1

Variable	N	R ²	R ² Aj	CV
Na+1	56	0.14	0.10	49.50
Cuadro de Análisis de la Varianza (SC tipo III)				
F.V.	SC	gl	CM	F
Modelo	0.10	2	0.05	4.20
Variedad	0.10	2	0.05	4.20
Error	0.66	53	0.01	
Total	0.76	55		

Test:LSD Fisher Alfa=0,05 DMS=0,10531
Error: 0,0124 gl: 53
Variedad Medias n E.E.

CCN51	0.11	7	0.04	A
Nativo	0.25	43	0.02	B

Medias con una letra común no son significativamente diferentes ($p > 0,05$)

A1+3 + H+1
Variable N R² R² Aj CV

A1+3 + H+1	56	0.15	0.12	702.20
------------	----	------	------	--------

Cuadro de Análisis de la Varianza (SC tipo III)

F.V.	SC	gl	CM	F	p-valor
Modelo	0.05	2	0.024.73	0.0129	
Variedad	0.05	2	0.024.73	0.0129	
Error	0.26	53	4.9E-03		
Total	0.31	55			

Test:LSD Fisher Alfa=0,05 DMS=0,06634
Error: 0,0049 gl: 53
Variedad Medias n E.E.

CCN51	0.00	7	0.03	A
Nativo	0.00	43	0.01	A

Medias con una letra común no son significativamente diferentes ($p > 0,05$)

Anexo 14. Tabla de contingencia de la relación de la textura del suelo a la profundidad de 0-30cm con la altitud y la variedad.

Frecuencias absolutas
En columnas:Altitud_C

Textura 30	A1	A2	A3	Total
Ar.	0	7	19	26
Ar.A.	0	1	5	6
Fr.	6	0	0	6
Fr.A.	3	0	0	3
Fr.Ar.	1	2	5	8
Fr.Ar.A.	1	1	5	7
Total	11	11	34	56

Estadístico	Valor	gl	p
Chi Cuadrado Pearson	45,66	10	<0,0001
Chi Cuadrado MV-G2	44,29	10	<0,0001
Coef.Conting.Cramer	0,52		
Coef.Conting.Pearson	0,67		

Frecuencias absolutas
En columnas:Variedad

Textura 30	CCN51	Nacional	Nativo	Total
Ar.	0	2	24	26
Ar.A.	0	2	4	6
Fr.	3	0	3	6
Fr.A.	0	0	3	3
Fr.Ar.	2	2	4	8
Fr.Ar.A.	2	0	5	7
Total	7	6	43	56

Anexo 15. Tabla de contingencia de la relación de la textura del suelo a la profundidad de 0-30cm con la altitud y la variedad.

Frecuencias absolutas
En columnas:Textura_60

Altitud C	Ar.	Ar.A.	Fr.	Fr.A.	Fr.Ar.	Fr.Ar.A.	Total
A1	2	0	4	3	2	0	11
A2	9	0	0	0	0	2	11
A3	27	3	0	0	2	2	34
Total	38	3	4	3	4	4	56

Estadístico	Valor	gl	p
Chi Cuadrado Pearson	41,04	10	<0,0001
Chi Cuadrado MV-G2	38,29	10	<0,0001
Coef.Conting.Cramer	0,49		
Coef.Conting.Pearson	0,65		

Frecuencias absolutas

En columnas: Textura_60

Variedad	Ar.	Ar.A.	Fr.	Fr.A.	Fr.Ar.	Fr.Ar.A.	Total
CCN51	4	0	1	0	2	0	7
Nativo	30	3	3	3	2	2	43
Total	38	3	4	3	4	4	56

Anexo 16. Análisis de varianza del contenido de cadmio en las partes vegetales por altitudes.

Altitud C	Variable	n	Media	D.E.
1	Cd_raíz	11	2.12	1.40
1	Cd_tallo	11	1.21	0.64
1	Cd_hoja	11	3.32	2.12
1	Cd_cáscara	11	0.90	0.43
1	Cd_testa	11	0.70	0.78
1	Cd_almendra	11	0.88	0.61
2	Cd_raíz	11	0.06	0.15
2	Cd_tallo	11	0.05	0.08
2	Cd_hoja	11	0.32	0.36
2	Cd_cáscara	11	0.16	0.39
2	Cd_testa	11	0.12	0.24
2	Cd_almendra	11	0.17	0.24
3	Cd_raíz	34	0.24	0.45
3	Cd_tallo	34	0.13	0.31
3	Cd_hoja	34	0.37	0.58
3	Cd_cáscara	34	0.07	0.14
3	Cd_testa	34	0.11	0.13
3	Cd_almendra	34	0.19	0.20

Media-Hoja

Variable	N	R ²	R ² Aj	CV
Media-Hoja	56	0.58	0.56	110.80

Cuadro de Análisis de la Varianza (SC tipo III)

F.V.	SC	gl	CM	F	p-valor
Modelo	77.97	2	38.99	36.08	<0.0001
Altitud-C	77.97	2	38.99	36.08	<0.0001
Error	57.27	53	1.08		
Total	135.25	55			

Test:LSD Fisher Alfa=0,05 DMS=0,78244

Error: 1,0806 gl: 53

Altitud-C	Medias	n	E.E.
2	0.32	11	A
3	0.37	34	A
1	3.32	11	B

Medias con una letra común no son significativamente diferentes ($p > 0,05$)

Media-Tallo

Variable	N	R ²	R ² Aj	CV
Media-Tallo	56	0.60	0.58	114.65

Cuadro de Análisis de la Varianza (SC tipo III)

F.V.	SC	gl	CM	F	p-valor
Modelo	10.74	2	5.37	39.01	<0.0001
Altitud-C	10.74	2	5.37	39.01	<0.0001
Error	7.29	53	0.14		
Total	18.03	55			

Test:LSD Fisher Alfa=0,05 DMS=0,27922

Error: 0,1376 gl: 53

Altitud-C	Medias	n	E.E.
2	0.05	11	A
3	0.13	34	A
1	1.21	11	B

Medias con una letra común no son significativamente diferentes ($p > 0,05$)

Media-Raiz

Variable	N	R ²	R ² Aj	CV
Media-Raiz	56	0.56	0.54	123.55

Cuadro de Análisis de la Varianza (SC tipo III)

F.V.	SC	gl	CM	F	p-valor
Modelo	33.26	2	16.63	33.41	<0.0001
Altitud-C	33.26	2	16.63	33.41	<0.0001
Error	26.38	53	0.50		
Total	59.65	55			

Test:LSD Fisher Alfa=0,05 DMS=0,53106

Error: 0,4978 gl: 53

Altitud-C	Medias	n	E.E.	
2	0.06	11	0.21	A
3	0.24	34	0.12	A
1	2.12	11	0.21	B

Medias con una letra común no son significativamente diferentes ($p > 0,05$)

Media-Almendra

Variable	N	R ²	R ² Aj	CV
Media-Almendra	56	0.43	0.41	100.09

Cuadro de Análisis de la Varianza (SC tipo III)

F.V.	SC	gl	CM	F	p-valor
Modelo	4.19	2	2.09	19.85	<0.0001
Altitud-C	4.19	2	2.09	19.85	<0.0001
Error	5.59	53	0.11		
Total	9.78	55			

Test:LSD Fisher Alfa=0,05 DMS=0,24443

Error: 0,1055 gl: 53

Altitud-C	Medias	n	E.E.	
2	0.17	11	0.10	A
3	0.19	34	0.06	A
1	0.88	11	0.10	B

Medias con una letra común no son significativamente diferentes ($p > 0,05$)

Media-Testa

Variable	N	R ²	R ² Aj	CV
Media-Testa	56	0.30	0.27	161.10

Cuadro de Análisis de la Varianza (SC tipo III)

F.V.	SC	gl	CM	F	p-valor
Modelo	3.05	2	1.53	11.15	0.0001
Altitud-C	3.05	2	1.53	11.15	0.0001
Error	7.25	53	0.14		
Total	10.31	55			

Test:LSD Fisher Alfa=0,05 DMS=0,27846

Error: 0,1369 gl: 53

Altitud-C	Medias	n	E.E.	
3	0.11	34	0.06	A
2	0.12	11	0.11	A
1	0.70	11	0.11	B

Medias con una letra común no son significativamente diferentes ($p > 0,05$)

Media-Cáscara

Variable	N	R ²	R ² Aj	CV
Media-Cáscara	56	0.59	0.58	111.21

Cuadro de Análisis de la Varianza (SC tipo III)

F.V.	SC	gl	CM	F	p-valor
Modelo	5.88	2	2.94	38.48	<0.0001
Altitud-C	5.88	2	2.94	38.48	<0.0001
Error	4.05	53	0.08		
Total	9.93	55			

Test:LSD Fisher Alfa=0,05 DMS=0,20807

Error: 0,0764 gl: 53

Altitud-C	Medias	n	E.E.	
3	0.07	34	0.05	A
2	0.16	11	0.08	A
1	0.90	11	0.08	B

Medias con una letra común no son significativamente diferentes ($p > 0,05$)

Cd-total

Variable	N	R ²	R ² Aj	CV
Cd_total	56	0.80	0.78	73.48

Cuadro de Análisis de la Varianza (SC tipo I)

F.V.	SC	gl	CM	F	p-valor
Modelo	579,27	4	144,82	50,15	<0,0001
Altitud_C	542,19	2	271,10	93,88	<0,0001
Error	147,27	51	2,89		
Total	726,54	55			

Test:LSD Fisher Alfa=0,05 DMS=1,28019

Error: 2,8876 gl: 51

Altitud C	Medias	n	E.E.	
A3	-0,74	34	0,43	A
A2	-0,45	11	0,55	A
A1	8,06	11	0,51	B

Medias con una letra común no son significativamente diferentes ($p > 0,05$)

Anexo 17. Análisis de varianza del contenido de cadmio en las partes vegetales por variedades.

Medidas resumen

Variedad	Variable	n	Media	D.E.
CCN51	Cd_raíz	7	0.76	0.57
CCN51	Cd_tallo	7	0.49	0.35
CCN51	Cd_hoja	7	1.39	0.90
CCN51	Cd_cáscara	7	0.42	0.38
CCN51	Cd_testa	7	0.20	0.20
CCN51	Cd_almendra	7	0.28	0.28
Nativo	Cd_raíz	43	0.62	1.15
Nativo	Cd_tallo	43	0.34	0.63
Nativo	Cd_hoja	43	0.99	1.72
Nativo	Cd_cáscara	43	0.26	0.45
Nativo	Cd_testa	43	0.26	0.48
Nativo	Cd_almendra	43	0.38	0.45

Media-Hoja

Variable	N	R ²	R ² Aj	CV
Media-Hoja	56	0.05	0.01	166.24

Cuadro de Análisis de la Varianza (SC tipo III)

F.V.	SC	gl	CM	F	p-valor
Modelo	6.32	2	3.16	1.30	0.2812
Variedad	6.32	2	3.16	1.30	0.2812
Error	128.92	53	2.43		
Total	135.25	55			

Test:LSD Fisher Alfa=0,05 DMS=1,47346

Error: 2,4325 gl: 53

Variedad	Medias	n	E.E.
Nacional	0.04	6	0.64 A
Nativo	0.99	43	0.24 A
CCN51	1.39	7	0.59 A

Medias con una letra común no son significativamente diferentes ($p > 0,05$)

Media-Tallo

Variable	N	R ²	R ² Aj	CV
Media-Tallo	56	0.04	0.01	176.34

Cuadro de Análisis de la Varianza (SC tipo III)

F.V.	SC	gl	CM	F	p-valor
Modelo	0.78	2	0.39	1.19	0.3116
Variedad	0.78	2	0.39	1.19	0.3116
Error	17.25	53	0.33		
Total	18.03	55			

Test:LSD Fisher Alfa=0,05 DMS=0,53904

Error: 0,3256 gl: 53

Variedad	Medias	n	E.E.
Nacional	0.01	6	0.23 A
Nativo	0.34	43	0.09 A
CCN51	0.49	7	0.22 A

Medias con una letra común no son significativamente diferentes ($p > 0,05$)

Media-Raiz

Variable	N	R ²	R ² Aj	CV
Media-Raiz	56	0.04	2.1E-03	182.17

Cuadro de Análisis de la Varianza (SC tipo III)

F.V.	SC	gl	CM	F	p-valor
Modelo	2.29	2	1.14	1.06	0.3547
Variedad	2.29	2	1.14	1.06	0.3547
Error	57.36	53	1.08		
Total	59.65	55			

Test:LSD Fisher Alfa=0,05 DMS=0,98281

Error: 1,0822 gl: 53

Variedad	Medias	n	E.E.
Nacional	3.3E-03	6	0.42 A
Nativo	0.62	43	0.16 A
CCN51	0.76	7	0.39 A

Medias con una letra común no son significativamente diferentes ($p > 0,05$)

Media-Almendra

Variable	N	R ²	R ² Aj	CV
Media-Almendra	56	0.07	0.04	127.52

Cuadro de Análisis de la Varianza (SC tipo III)

F.V.	SC	gl	CM	F	p-valor
Modelo	0.70	2	0.35	2.06	0.1382
Variedad	0.70	2	0.35	2.06	0.1382

Error	9.07	53	0.17
Total	9.78	55	
Test:LSD Fisher Alfa=0,05 DMS=0,39088			
Error: 0,1712 gl: 53			
Variedad Medias n E.E.			
CCN51	0.28	7	0.16 A
Nativo	0.38	43	0.06 A
Medias con una letra común no son significativamente diferentes ($p > 0,05$)			

Media-Testa

Variable	N	R ²	R ² Aj	CV
Media-Testa	56	0.03	0.00	189.27
Cuadro de Análisis de la Varianza (SC tipo III)				
F.V.	SC	gl	CM	F
Modelo	0.29	2	0.15	0.78
Variedad	0.29	2	0.15	0.78
Error	10.01	53	0.19	
Total	10.31	55		

Test:LSD Fisher Alfa=0,05 DMS=0,41062

Error: 0,1889 gl: 53

Variedad	Medias	n	E.E.
CCN51	0.20	7	0.16 A
Nativo	0.26	43	0.07 A

Medias con una letra común no son significativamente diferentes ($p > 0,05$)

Media-Cáscara

Variable	N	R ²	R ² Aj	CV
Media-Cáscara	56	0.06	0.02	168.98
Cuadro de Análisis de la Varianza (SC tipo III)				
F.V.	SC	gl	CM	F
Modelo	0.58	2	0.29	1.65
Variedad	0.58	2	0.29	1.65
Error	9.35	53	0.18	
Total	9.93	55		

Test:LSD Fisher Alfa=0,05 DMS=0,39681

Error: 0,1764 gl: 53

Variedad	Medias	n	E.E.
Nativo	0.26	43	0.06 A
CCN51	0.42	7	0.16 A

Medias con una letra común no son significativamente diferentes ($p > 0,05$)

Cd-total

Variable	N	R ²	R ² Aj	CV
Cd-Total	56	0,80	0,78	73,48
Cuadro de Análisis de la Varianza (SC tipo I)				
F.V.	SC	gl	CM	F
Modelo	579,27	4	144,82	50,15 <0,0001
Variedad	37,08	2	18,54	6,42 0,0033
Error	147,27	51	2,89	
Total	726,54	55		

Test:LSD Fisher Alfa=0,05 DMS=1,60685

Error: 2,8876 gl: 51

Variedad	Medias	n	E.E.
CCN51	-0,16	7	0,69 A
Nativo	4,29	43	0,32 B

Medias con una letra común no son significativamente diferentes ($p > 0,05$)

Anexo 18. Análisis de varianza del contenido de cadmio en las partes vegetales del cacao por textura del suelo de 0-30 cm.

Cd_30

Variable	N	R ²	R ² Aj	CV
Cd_30	56	0,21	0,14	288,89
Cuadro de Análisis de la Varianza (SC tipo I)				
F.V.	SC	gl	CM	F
Modelo	0,16	5	0,03	2,73 0,0297
Textura_30	0,16	5	0,03	2,73 0,0297
Error	0,60	50	0,01	
Total	0,77	55		

Test:LSD Fisher Alfa=0,05 DMS=0,12569

Error: 0,0121 gl: 50

Textura_30	Medias	n	E.E.
Ar.	0,00	26	0,02 A
Ar.A.	0,00	6	0,04 B

Fr.A.	0,00	3	0,06	A	B	C
Fr.	0,05	6	0,04	A	B	C
Fr.Ar.	0,10	8	0,04		B	C
Fr.Ar.A.	0,15	7	0,04			C

Medias con una letra común no son significativamente diferentes ($p > 0,05$)

Anexo 19. Análisis de varianza del factor de transferencia entre las partes vegetales del cacao, las partes vegetales del cacao/suelo a la profundidad de 0-30 cm y 30-60 cm por altitud y variedad.

Medidas resumen por altitud

Altitud C	Variable	n	Media	D.E.
1	Raiz/suelo30	11	0.38	1.26
1	Tallo/suelo30	11	0.22	0.74
1	Hoja/suelo30	11	0.53	1.75
1	Cáscara/suelo30	11	0.15	0.49
1	Almendra/suelo30	11	0.17	0.56
1	Testa/suelo30	11	0.10	0.32
1	Raiz/suelo60	11	0.00	0.00
1	Tallo/suelo60	11	0.00	0.00
1	Hoja/suelo60	11	0.00	0.00
1	Cáscara/suelo60	11	0.00	0.00
1	Testa/suelo60	11	0.00	0.00
1	Almendra/suelo60	11	0.00	0.00
1	Tallo/raíz	11	0.77	0.62
1	Hoja/tallo	11	3.23	2.07
1	Cáscara/Hoja	11	0.31	0.15
1	Testa/Cáscara	11	0.89	1.31
1	Almendra/testa	11	1.52	1.03
1	Hoja/raíz	11	5.54	3.53
1	Cáscara/raíz	11	1.50	0.72
1	Testa/raíz	11	1.17	1.30
1	Almendra/raíz	11	1.46	1.01
2	Raiz/suelo30	11	0.00	0.00
2	Tallo/suelo30	11	0.00	0.00
2	Hoja/suelo30	11	0.00	0.00
2	Cáscara/suelo30	11	0.00	0.00
2	Almendra/suelo30	11	0.00	0.00
2	Testa/suelo30	11	0.00	0.00
2	Raiz/suelo60	11	0.00	0.00
2	Tallo/suelo60	11	0.00	0.00
2	Hoja/suelo60	11	0.00	0.00
2	Cáscara/suelo60	11	0.00	0.00
2	Testa/suelo60	11	0.00	0.00
2	Almendra/suelo60	11	0.00	0.00
2	Tallo/raíz	11	0.42	0.79
2	Hoja/tallo	11	6.84	9.62
2	Cáscara/Hoja	11	0.72	2.23
2	Testa/Cáscara	11	4.43	13.80
2	Almendra/testa	11	1.41	1.73
2	Hoja/raíz	11	0.53	0.60
2	Cáscara/raíz	11	0.27	0.66
2	Testa/raíz	11	0.19	0.39
2	Almendra/raíz	11	0.29	0.40
3	Raiz/suelo30	34	0.46	1.48
3	Tallo/suelo30	34	0.23	0.88
3	Hoja/suelo30	34	0.88	2.88
3	Cáscara/suelo30	34	0.16	0.60
3	Almendra/suelo30	34	0.46	1.89
3	Testa/suelo30	34	0.13	0.33
3	Raiz/suelo60	34	0.17	0.88
3	Tallo/suelo60	34	0.23	1.28
3	Hoja/suelo60	34	0.22	1.00
3	Cáscara/suelo60	34	0.07	0.43
3	Testa/suelo60	34	0.04	0.16
3	Almendra/suelo60	34	0.11	0.49
3	Tallo/raíz	34	0.37	0.61
3	Hoja/tallo	34	4.07	5.73
3	Cáscara/Hoja	34	0.14	0.37

3	Testa/Cáscara	34	2.37	9.18
3	Almendra/testa	34	1.62	1.89
3	Hoja/raíz	34	0.61	0.97
3	Cáscara/raíz	34	0.11	0.24
3	Testa/raíz	34	0.19	0.22
3	Almendra/raiz	34	0.33	0.34

Medidas resumen por variedad

Variedad	Variable	n	Media	D.E.
CCN51	Raiz/suelo30	7	0.60	1.58
CCN51	Tallo/suelo30	7	0.35	0.93
CCN51	Hoja/suelo30	7	0.83	2.19
CCN51	Cáscara/suelo30	7	0.23	0.62
CCN51	Almendra/suelo30	7	0.28	0.70
CCN51	Testa/suelo30	7	0.20	0.40
CCN51	Raiz/suelo60	7	0.00	0.00
CCN51	Tallo/suelo60	7	0.00	0.00
CCN51	Hoja/suelo60	7	0.00	0.00
CCN51	Cáscara/suelo60	7	0.00	0.00
CCN51	Testa/suelo60	7	0.00	0.00
CCN51	Almendra/suelo60	7	0.00	0.00
CCN51	Tallo/raíz	7	0.50	0.47
CCN51	Hoja/tallo	7	2.78	2.68
CCN51	Cáscara/Hoja	7	0.21	0.19
CCN51	Testa/Cáscara	7	0.30	0.29
CCN51	Almendra/testa	7	1.05	0.64
CCN51	Hoja/raíz	7	2.31	1.51
CCN51	Cáscara/raíz	7	0.70	0.64
CCN51	Testa/raíz	7	0.34	0.34
CCN51	Almendra/raiz	7	0.46	0.46
Nativo	Tallo/suelo30	49	0.18	0.79
Nativo	Hoja/suelo30	49	0.69	2.58
Nativo	Cáscara/suelo30	49	0.13	0.53
Nativo	Almendra/suelo30	49	0.36	1.69
Nativo	Testa/suelo30	49	0.09	0.30
Nativo	Raiz/suelo60	49	0.14	0.78
Nativo	Tallo/suelo60	49	0.18	1.14
Nativo	Hoja/suelo60	49	0.17	0.89
Nativo	Cáscara/suelo60	49	0.06	0.39
Nativo	Testa/suelo60	49	0.03	0.14
Nativo	Almendra/suelo60	49	0.09	0.44
Nativo	Tallo/raíz	49	0.47	0.67
Nativo	Hoja/tallo	49	5.24	6.83
Nativo	Cáscara/Hoja	49	0.34	1.16
Nativo	Testa/Cáscara	49	3.19	10.56
Nativo	Almendra/testa	49	1.78	1.85
Nativo	Hoja/raíz	49	1.65	2.86
Nativo	Cáscara/raíz	49	0.43	0.75
Nativo	Testa/raíz	49	0.44	0.80
Nativo	Almendra/raiz	49	0.63	0.76

Raiz/suelo30

Variable	N	R ²	R ² Aj	CV
Raiz/suelo30	56	0.03	0.00	368.31

Cuadro de Análisis de la Varianza (SC tipo I)

F.V.	SC	gl	CM	F	p-valor
Modelo	2.82	4	0.71	0.41	0.7997
Altitud-C	1.79	2	0.89	0.52	0.5969
Variedad	1.03	2	0.52	0.30	0.7411
Error	87.54	51	1.72		
Total	90.36	55			

Test:LSD Fisher Alfa=0,05 DMS=0,98702

Error: 1,7165 gl: 51

Altitud-C	Medias	n	E.E.
2	0.08	11	A
1	0.40	11	A
3	0.51	34	A

Medias con una letra común no son significativamente diferentes ($p > 0,05$)

Test:LSD Fisher Alfa=0,05 DMS=1,23887

Error: 1,7165 gl: 51

Variedad	Medias	n	E.E.
Nacional	0.00	6	A
Nativo	0.24	43	A
CCN51	0.61	7	A

Medias con una letra común no son significativamente diferentes ($p > 0,05$)

Raiz/suelo60

Variable	N	R ²	R ² Aj	CV
Raiz/suelo60	56	0.02	0.00	664.62
Cuadro de Análisis de la Varianza (SC tipo I)				
F.V.	SC	gl	CM	F
Modelo	0.47	4	0.12	0.24
Altitud-C	0.41	2	0.20	0.41
Variedad	0.07	2	0.03	0.07
Error	25.26	51	0.50	
Total	25.73	55		

Test:LSD Fisher Alfa=0,05 DMS=0,53020

Error: 0,4953 gl: 51

Altitud-C	Medias	n	E.E.
2	-0.02	11	A
1	-2.1E-03	11	A
3	0.13	34	A

Medias con una letra común no son significativamente diferentes ($p > 0,05$)**Test:LSD Fisher Alfa=0,05 DMS=0,66549**

Error: 0,4953 gl: 51

Variedad	Medias	n	E.E.
Nacional	0.00	6	A
CCN51	0.03	7	A
Nativo	0.08	43	A

Medias con una letra común no son significativamente diferentes ($p > 0,05$)**Tallo/raíz**

Variable	N	R ²	R ² Aj	CV
Tallo/raíz	56	0.07	0.00	144.47
Cuadro de Análisis de la Varianza (SC tipo I)				
F.V.	SC	gl	CM	F
Modelo	1.69	4	0.42	0.97
Altitud-C	1.37	2	0.68	1.58
Variedad	0.32	2	0.16	0.37
Error	22.09	51	0.43	
Total	23.78	55		

Test:LSD Fisher Alfa=0,05 DMS=0,49581

Error: 0,4331 gl: 51

Altitud-C	Medias	n	E.E.
3	0.26	34	A
2	0.36	11	A
1	0.76	11	B

Medias con una letra común no son significativamente diferentes ($p > 0,05$)**Test:LSD Fisher Alfa=0,05 DMS=0,62232**

Error: 0,4331 gl: 51

Variedad	Medias	n	E.E.
CCN51	0.32	7	A
Nacional	0.33	6	A
Nativo	0.58	43	A

Medias con una letra común no son significativamente diferentes ($p > 0,05$)**Hoja/tallo**

Variable	N	R ²	R ² Aj	CV
Hoja/tallo	56	0.12	0.06	136.12
Cuadro de Análisis de la Varianza (SC tipo I)				
F.V.	SC	gl	CM	F
Modelo	266.20	4	66.55	1.81
Altitud-C	84.17	2	42.08	1.15
Variedad	182.03	2	91.02	2.48
Error	1871.0351		36.69	
Total	2137.2355			

Test:LSD Fisher Alfa=0,05 DMS=4,56311

Error: 36,6869 gl: 51

Altitud-C	Medias	n	E.E.
3	1.98	34	A
1	3.14	11	A
2	5.97	11	A

Medias con una letra común no son significativamente diferentes ($p > 0,05$)**Test:LSD Fisher Alfa=0,05 DMS=5,72746**

Error: 36,6869 gl: 51

Variedad	Medias	n	E.E.
Nacional	0.76	6	A
CCN51	3.71	7	A
Nativo	5.83	43	A

Medias con una letra común no son significativamente diferentes ($p > 0,05$)**Cáscara/Hoja**

Variable	N	R ²	R ² Aj	CV
Cáscara/Hoja	56	0.08	4.2E-03	352.30
Cuadro de Análisis de la Varianza (SC tipo I)				
F.V.	SC	gl	CM	F
Modelo	4.39	4	1.10	1.06
Altitud-C	2.76	2	1.38	1.33
Variedad	1.62	2	0.81	0.78
Error	52.84	51		1.04
Total	57.23	55		

Test:LSD Fisher Alfa=0,05 DMS=0,76685

Error: 1,0361 gl: 51

Altitud-C	Medias	n	E.E.
3	-0.06	34	0.26
1	0.30	11	0.31
2	0.63	11	0.33

Medias con una letra común no son significativamente diferentes ($p > 0,05$)

Test:LSD Fisher Alfa=0,05 DMS=0,96252

Error: 1,0361 gl: 51

Variedad	Medias	n	E.E.
Nacional	0.00	6	0.42
CCN51	0.26	7	0.41
Nativo	0.50	43	0.19

Medias con una letra común no son significativamente diferentes ($p > 0,05$)

Testa/Cáscara

Variable	N	R ²	R ² Aj	CV
Testa/Cáscara	56	0.04	0.00	381.60

Cuadro de Análisis de la Varianza (SC tipo I)

F.V.	SC	gl	CM	F	p-valor
Modelo	179.73	4	44.93	0.50	0.7366
Altitud-C	70.22	2	35.11	0.39	0.6791
Variedad	109.50	2	54.75	0.61	0.5483
Error	4592.60	51		90.05	
Total	4772.33	55			

Test:LSD Fisher Alfa=0,05 DMS=7,14908

Error: 90,0510 gl: 51

Altitud-C	Medias	n	E.E.
3	0.61	34	2.41
1	0.78	11	2.87
2	3.61	11	3.07

Medias con una letra común no son significativamente diferentes ($p > 0,05$)

Test:LSD Fisher Alfa=0,05 DMS=8,97326

Error: 90,0510 gl: 51

Variedad	Medias	n	E.E.
Nacional	0.00	6	3.87
CCN51	1.21	7	3.87
Nativo	3.53	43	1.78

Medias con una letra común no son significativamente diferentes ($p > 0,05$)

Almendra/testa

Variable	N	R ²	R ² Aj	CV
Almendra/testa	56	0.06	0.00	109.59

Cuadro de Análisis de la Varianza (SC tipo I)

F.V.	SC	gl	CM	F	p-valor
Modelo	9.71	4	2.43	0.83	0.5107
Altitud-C	0.36	2	0.18	0.06	0.9401
Variedad	9.35	2	4.67	1.60	0.2112
Error	148.66	51		2.91	
Total	158.37	55			

Test:LSD Fisher Alfa=0,05 DMS=1,28624

Error: 2,9150 gl: 51

Altitud-C	Medias	n	E.E.
3	1.08	34	0.43
2	1.15	11	0.55
1	1.48	11	0.52

Medias con una letra común no son significativamente diferentes ($p > 0,05$)

Test:LSD Fisher Alfa=0,05 DMS=1,61445

Error: 2,9150 gl: 51

Variedad	Medias	n	E.E.
Nacional	0.58	6	0.70
CCN51	1.01	7	0.70
Nativo	1.82	43	0.32

Medias con una letra común no son significativamente diferentes ($p > 0,05$)

Tallo/suelo30

Variable	N	R ²	R ² Aj	CV
Tallo/suelo30	56	0.03	0.00	418.38

Cuadro de Análisis de la Varianza (SC tipo I)

F.V.	SC	gl	CM	F	p-valor
Modelo	0.81	4	0.20	0.34	0.8513
Altitud-C	0.47	2	0.24	0.39	0.6779
Variedad	0.34	2	0.17	0.28	0.7543
Error	30.67	51	0.60		
Total	31.48	55			

Test:LSD Fisher Alfa=0,05 DMS=0,58423

Error: 0,6014 gl: 51

Altitud-C	Medias	n	E.E.
2	0.05	11	A
1	0.23	11	A
3	0.27	34	A

Medias con una letra común no son significativamente diferentes ($p > 0,05$)**Test:LSD Fisher Alfa=0,05 DMS=0,73330**

Error: 0,6014 gl: 51

Variedad	Medias	n	E.E.
Nacional	0.00	6	A
Nativo	0.12	43	A
CCN51	0.35	7	A

Medias con una letra común no son significativamente diferentes ($p > 0,05$)**Tallo/suelo60**

Variabile	N	R ²	R ² Aj	CV
Tallo/suelo60	56	0.02	0.00	727.69

Cuadro de Análisis de la Varianza (SC tipo I)

F.V.	SC	gl	CM	F	p-valor
Modelo	0.84	4	0.21	0.20	0.9379
Altitud-C	0.72	2	0.36	0.34	0.7119
Variedad	0.12	2	0.06	0.06	0.9463
Error	53.61	51	1.05		
Total	54.44	55			

Test:LSD Fisher Alfa=0,05 DMS=0,77240

Error: 1,0512 gl: 51

Altitud-C	Medias	n	E.E.
2	-0.02	11	A
1	-2.8E-03	11	A
3	0.18	34	A

Medias con una letra común no son significativamente diferentes ($p > 0,05$)**Test:LSD Fisher Alfa=0,05 DMS=0,96948**

Error: 1,0512 gl: 51

Variedad	Medias	n	E.E.
CCN51	0.04	7	A
Nativo	0.11	43	A

Medias con una letra común no son significativamente diferentes ($p > 0,05$)**Hoja/suelo30**

Variabile	N	R ²	R ² Aj	CV
Hoja/suelo30	56	0.03	0.00	383.06

Cuadro de Análisis de la Varianza (SC tipo I)

F.V.	SC	gl	CM	F	p-valor
Modelo	8.89	4	2.22	0.38	0.8250
Altitud-C	6.53	2	3.26	0.55	0.5795
Variedad	2.36	2	1.18	0.20	0.8198
Error	301.76	51	5.92		
Total	310.65	55			

Test:LSD Fisher Alfa=0,05 DMS=1,83253

Error: 5,9169 gl: 51

Altitud-C	Medias	n	E.E.
2	0.08	11	A
1	0.55	11	A
3	0.89	34	A

Medias con una letra común no son significativamente diferentes ($p > 0,05$)**Test:LSD Fisher Alfa=0,05 DMS=2,30013**

Error: 5,9169 gl: 51

Variedad	Medias	n	E.E.
Nativo	0.44	43	A
CCN51	0.90	7	A

Medias con una letra común no son significativamente diferentes ($p > 0,05$)**Hoja/suelo60**

Variabile	N	R ²	R ² Aj	CV
Hoja/suelo60	56	0.02	0.00	608.59

Cuadro de Análisis de la Varianza (SC tipo I)

F.V.	SC	gl	CM	F	p-valor
Modelo	0.73	4	0.18	0.28	0.8870
Altitud-C	0.63	2	0.31	0.49	0.6160

Variedad	0.10	2	0.05	0.08	0.9242
Error	32.72	51	0.64		
Total	33.45	55			

Test:LSD Fisher Alfa=0,05 DMS=0,60341

Error: 0,6415 gl: 51

Altitud-C	Medias	n	E.E.	
2	-0.02	11	0.26	A
1	-2.6E-03	11	0.24	A
3	0.17	34	0.20	A

Medias con una letra común no son significativamente diferentes ($p > 0,05$)

Test:LSD Fisher Alfa=0,05 DMS=0,75738

Error: 0,6415 gl: 51

Variedad	Medias	n	E.E.	
CCN51	0.04	7	0.33	A
Nativo	0.10	43	0.15	A

Medias con una letra común no son significativamente diferentes ($p > 0,05$)

Cáscara/suelo30

Variable	N	R ²	R ² Aj	CV
Cáscara/suelo30	56	0.03	0.00	419.36

Cuadro de Análisis de la Varianza (SC tipo I)

F.V.	SC	gl	CM	F	p-valor
Modelo	0.37	4	0.09	0.33	0.8546
Altitud-C	0.22	2	0.11	0.39	0.6786
Variedad	0.15	2	0.08	0.28	0.7607
Error	14.05	51	0.28		
Total	14.42	55			

Test:LSD Fisher Alfa=0,05 DMS=0,39547

Error: 0,2756 gl: 51

Altitud-C	Medias	n	E.E.	
2	0.03	11	0.17	A
1	0.16	11	0.16	A
3	0.18	34	0.13	A

Medias con una letra común no son significativamente diferentes ($p > 0,05$)

Test:LSD Fisher Alfa=0,05 DMS=0,49639

Error: 0,2756 gl: 51

Variedad	Medias	n	E.E.	
Nativo	0.08	43	0.10	A
CCN51	0.24	7	0.21	A

Medias con una letra común no son significativamente diferentes ($p > 0,05$)

Cáscara/suelo60

Variable	N	R ²	R ² Aj	CV
Cáscara/suelo60	56	0.01	0.00	771.80

Cuadro de Análisis de la Varianza (SC tipo I)

F.V.	SC	gl	CM	F	p-valor
Modelo	0.09	4	0.02	0.18	0.9494
Altitud-C	0.07	2	0.04	0.30	0.7391
Variedad	0.01	2	0.01	0.05	0.9521
Error	6.20	51	0.12		
Total	6.29	55			

Test:LSD Fisher Alfa=0,05 DMS=0,26269

Error: 0,1216 gl: 51

Altitud-C	Medias	n	E.E.	
2	-0.01	11	0.11	A
1	-9.0E-04	11	0.11	A
3	0.06	34	0.09	A

Medias con una letra común no son significativamente diferentes ($p > 0,05$)

Test:LSD Fisher Alfa=0,05 DMS=0,32972

Error: 0,1216 gl: 51

Variedad	Medias	n	E.E.	
CCN51	0.01	7	0.14	A
Nativo	0.03	43	0.07	A

Medias con una letra común no son significativamente diferentes ($p > 0,05$)

Testa/suelo30

Variable	N	R ²	R ² Aj	CV
Testa/suelo30	56	0.06	0.00	308.75

Cuadro de Análisis de la Varianza (SC tipo I)

F.V.	SC	gl	CM	F	p-valor
Modelo	0.29	4	0.07	0.80	0.5296
Altitud-C	0.14	2	0.07	0.77	0.4702
Variedad	0.15	2	0.08	0.84	0.4384
Error	4.57	51	0.09		
Total	4.86	55			

Test:LSD Fisher Alfa=0,05 DMS=0,22554

Error: 0,0896 gl: 51

Altitud-C	Medias	n	E.E.
2	0.04	11	0.10 A
1	0.10	11	0.09 A
3	0.16	34	0.08 A

Medias con una letra común no son significativamente diferentes ($p > 0,05$)

Test:LSD Fisher Alfa=0,05 DMS=0,28309

Error: 0,0896 gl: 51

Variedad	Medias	n	E.E.
Nativo	0.05	43	0.06 A
CCN51	0.21	7	0.12 A

Medias con una letra común no son significativamente diferentes ($p > 0,05$)

Testa/suelo60

Variable	N	R ²	R ² Aj	CV
Testa/suelo60	56	0.02	0.00	580.87

Cuadro de Análisis de la Varianza (SC tipo I)

F.V.	SC	gl	CM	F	p-valor
Modelo	0.02	4	4.8E-03	0.31	0.8688
Altitud-C	0.02	2	0.01	0.54	0.5878
Variedad	2.7E-03	2	1.3E-03	0.09	0.9171
Error	0.79	51		0.02	
Total	0.81	55			

Test:LSD Fisher Alfa=0,05 DMS=0,09377

Error: 0,0155 gl: 51

Altitud-C	Medias	n	E.E.
2	-3.6E-03	11	0.04 A
1	-4.3E-04	11	0.04 A
3	0.03	34	0.03 A

Medias con una letra común no son significativamente diferentes ($p > 0,05$)

Test:LSD Fisher Alfa=0,05 DMS=0,11770

Error: 0,0155 gl: 51

Variedad	Medias	n	E.E.
CCN51	0.01	7	0.05 A
Nativo	0.02	43	0.02 A

Medias con una letra común no son significativamente diferentes ($p > 0,05$)

Almendra/suelo30

Variable	N	R ²	R ² Aj	CV
Almendra/suelo30	56	0.02	0.00	490.14

Cuadro de Análisis de la Varianza (SC tipo I)

F.V.	SC	gl	CM	F	p-valor
Modelo	2.52	4	0.63	0.27	0.8982
Altitud-C	2.06	2	1.03	0.44	0.6491
Variedad	0.46	2	0.23	0.10	0.9076
Error	120.74	51		2.37	
Total	123.27	55			

Test:LSD Fisher Alfa=0,05 DMS=1,15918

Error: 2,3675 gl: 51

Altitud-C	Medias	n	E.E.
2	0.01	11	0.50 A
1	0.17	11	0.47 A
3	0.43	34	0.39 A

Medias con una letra común no son significativamente diferentes ($p > 0,05$)

Test:LSD Fisher Alfa=0,05 DMS=1,45497

Error: 2,3675 gl: 51

Variedad	Medias	n	E.E.
Nativo	0.22	43	0.29 A
CCN51	0.34	7	0.63 A

Medias con una letra común no son significativamente diferentes ($p > 0,05$)

Almendra/suelo60

Variable	N	R ²	R ² Aj	CV
Almendra/suelo60	56	0.02	0.00	588.30

Cuadro de Análisis de la Varianza (SC tipo I)

F.V.	SC	gl	CM	F	p-valor
Modelo	0.19	4	0.05	0.30	0.8740
Altitud-C	0.17	2	0.08	0.52	0.5956
Variedad	0.03	2	0.01	0.08	0.9191
Error	8.04	51		0.16	
Total	8.23	55			

Test:LSD Fisher Alfa=0,05 DMS=0,29916

Error: 0,1577 gl: 51

Altitud-C	Medias	n	E.E.
2	-0.01	11	0.13 A
1	-1.3E-03	11	0.12 A
3	0.09	34	0.10 A

Medias con una letra común no son significativamente diferentes ($p > 0,05$)

Test:LSD Fisher Alfa=0,05 DMS=0,37550

Error: 0,1577 gl: 51

Variedad	Medias	n	E.E.
CCN51	0.02	7	0.16 A
Nativo	0.05	43	0.07 A

Medias con una letra común no son significativamente diferentes ($p > 0,05$)

Hoja/raíz

Variable	N	R ²	R ² Aj	CV
Hoja/raíz	56	0.68	0.65	98.45

Cuadro de Análisis de la Varianza (SC tipo I)

F.V.	SC	gl	CM	F	p-valor
Modelo	254.93	4	63.73	26.87	<0.0001
Altitud-C	216.82	2	108.41	45.71	<0.0001
Variedad	38.11	2	19.05	8.03	0.0009
Error	120.97	51		2.37	
Total	375.89	55			

Test:LSD Fisher Alfa=0,05 DMS=1,16025

Error: 2,3719 gl: 51

Altitud-C	Medias	n	E.E.
3	-0.44	34	0.39 A
2	-0.20	11	0.50 A
1	5.42	11	0.47 B

Medias con una letra común no son significativamente diferentes ($p > 0,05$)

Test:LSD Fisher Alfa=0,05 DMS=1,45630

Error: 2,3719 gl: 51

Variedad	Medias	n	E.E.
CCN51	0.05	7	0.63 A
Nativo	2.87	43	0.29 B

Medias con una letra común no son significativamente diferentes ($p > 0,05$)

Cáscara/raíz

Variable	N	R ²	R ² Aj	CV
Cáscara/raíz	56	0.67	0.65	101.10

Cuadro de Análisis de la Varianza (SC tipo I)

F.V.	SC	gl	CM	F	p-valor
Modelo	18.62	4	4.66	26.47	<0.0001
Altitud-C	16.33	2	8.16	46.41	<0.0001
Variedad	2.30	2	1.15	6.53	0.0030
Error	8.97	51	0.18		
Total	27.59	55			

Test:LSD Fisher Alfa=0,05 DMS=0,31594

Error: 0,1759 gl: 51

Altitud-C	Medias	n	E.E.
3	-0.16	34	0.11 A
2	0.09	11	0.14 A
1	1.47	11	0.13 B

Medias con una letra común no son significativamente diferentes ($p > 0,05$)

Test:LSD Fisher Alfa=0,05 DMS=0,39655

Error: 0,1759 gl: 51

Variedad	Medias	n	E.E.
CCN51	0.12	7	0.17 A
Nativo	0.79	43	0.08 B

Medias con una letra común no son significativamente diferentes ($p > 0,05$)

Testa/raiz

Variable	N	R ²	R ² Aj	CV
Testa/raiz	56	0.42	0.38	148.74

Cuadro de Análisis de la Varianza (SC tipo I)

F.V.	SC	gl	CM	F	p-valor
Modelo	12.04	4	3.01	9.26	<0.0001
Altitud-C	8.51	2	4.25	13.08	<0.0001
Variedad	3.53	2	1.77	5.43	0.0073
Error	16.59	51	0.33		
Total	28.63	55			

Test:LSD Fisher Alfa=0,05 DMS=0,42962

Error: 0,3252 gl: 51

Altitud-C	Medias	n	E.E.
3	-0.13	34	0.14 A
2	-0.03	11	0.18 A
1	1.13	11	0.17 B

Medias con una letra común no son significativamente diferentes ($p > 0,05$)

Test:LSD Fisher Alfa=0,05 DMS=0,53925

Error: 0,3252 gl: 51

Variedad	Medias	n	E.E.
----------	--------	---	------

CCN51	-0.15	7	0.23	A
Nativo	0.71	43	0.11	B

Medias con una letra común no son significativamente diferentes ($p > 0,05$)

Almendra/raíz

Variable	N	R ²	R ² Aj	CV
Almendra/raíz	56	0.64	0.61	81.27

Cuadro de Análisis de la Varianza (SC tipo I)

F.V.	SC	gl	CM	F	p-valor
Modelo	17.37	4	4.34	22.41	<0.0001
Altitud-C	11.67	2	5.84	30.12	<0.0001
Variedad	5.70	2	2.85	14.70	<0.0001
Error	9.88	51	0.19		
Total	27.25	55			

Test:LSD Fisher Alfa=0,05 DMS=0,33161

Error: 0,1937 gl: 51

Altitud-C	Medias	n	E.E.
3	-0.10	34	0.11 A
2	0.01	11	0.14 A
1	1.42	11	0.13 B

Medias con una letra común no son significativamente diferentes ($p > 0,05$)

Test:LSD Fisher Alfa=0,05 DMS=0,41622

Error: 0,1937 gl: 51

Variedad	Medias	n	E.E.
CCN51	-0.11	7	0.18 A
Nativo	0.95	43	0.08 B

Medias con una letra común no son significativamente diferentes ($p > 0,05$)

Anexo 20. Análisis de varianza de la concentración de Cd del suelo a profundidades de 0 – 30 cm y 30 - 60 cm, con la textura del suelo.

Cd_30

Variable	N	R ²	R ² Aj	CV
Cd_30	56	0,21	0,14	288,89

Cuadro de Análisis de la Varianza (SC tipo I)

F.V.	SC	gl	CM	F	p-valor
Modelo	0,16	5	0,03	2,73	0,0297
Textura_30	0,16	5	0,03	2,73	0,0297
Error	0,60	50	0,01		
Total	0,77	55			

Test:LSD Fisher Alfa=0,05 DMS=0,12569

Error: 0,0121 gl: 50

Textura_30	Medias	n	E.E.
Ar.	0,00	26	0,02 A
Ar.A.	0,00	6	0,04 A B
Fr.A.	0,00	3	0,06 A B C
Fr.	0,05	6	0,04 A B C
Fr.Ar.	0,10	8	0,04 B C
Fr.Ar.A.	0,15	7	0,04 C

Medias con una letra común no son significativamente diferentes ($p > 0,05$)

Cd_60

Variable	N	R ²	R ² Aj	CV
Cd_60	56	0,19	0,11	534,82

Cuadro de Análisis de la Varianza (SC tipo I)

F.V.	SC	gl	CM	F	p-valor
Modelo	0,06	5	0,01	2,35	0,0543
Textura_30	0,06	5	0,01	2,35	0,0543
Error	0,27	50	0,01		
Total	0,33	55			

Test:LSD Fisher Alfa=0,05 DMS=0,08412

Error: 0,0054 gl: 50

Textura_30	Medias	n	E.E.
Ar.	0,00	26	0,01 A
Fr.Ar.A.	0,00	7	0,03 A
Fr.	0,00	6	0,03 A
Ar.A.	0,00	6	0,03 A
Fr.A.	0,00	3	0,04 A B
Fr.Ar.	0,10	8	0,03 B

Medias con una letra común no son significativamente diferentes ($p > 0,05$)

Anexo 21. Análisis de correlación entre las características químicas del suelo a la profundidad de 0-30 cm y 30-60 cm con las concentraciones de cadmio en el suelo, las partes vegetales del cacao y altitud; y la correlación entre los contenidos de cadmio entre las partes vegetales del cacao.

	Cd_30	Cd_60	pH_30	CE_30	P_30	K_30	C_30	MO_30	N_30	CIC_30	Ca_30	Mg_30	K_301	Na_30	Al_30	Cd_raiz	Cd_tallo	Cd_hoja	Cd_cáscara	Cd_testa	Cd_almendra	Altitud
Cd_30	1.00																					
Cd_60	0.43	1.00																				
pH_30	0.04	0.05	1.00																			
CE_30	0.10	0.06	0.68	1.00																		
P_30	0.23	0.14	-0.06	0.03	1.00																	
K_30	-0.16	-0.18	0.33	0.55	-0.25	1.00																
C_30	0.17	0.16	-0.02	0.19	0.13	0.32	1.00															
MO_30	0.17	0.16	-0.02	0.19	0.13	0.32	1.00	1.00														
N_30	0.17	0.16	-0.01	0.19	0.13	0.33	1.00	1.00	1.00													
CIC_30	-0.17	-0.05	0.40	0.38	-0.49	0.65	0.03	0.03	0.02	1.00												
Ca_30	-0.14	-0.03	0.58	0.52	-0.36	0.70	0.11	0.11	0.11	0.94	1.00											
Mg_30	-0.11	-0.04	0.38	0.27	-0.34	0.45	0.03	0.03	0.02	0.66	0.59	1.00										
K_301	-0.12	-0.13	0.31	0.48	-0.17	0.95	0.31	0.31	0.31	0.62	0.66	0.46	1.00									
Na_30	-0.12	-0.19	0.41	0.64	-0.12	0.55	0.19	0.19	0.20	0.45	0.51	0.40	0.47	1.00								
Al_30	-0.04	-0.02	-0.35	-0.13	-0.13	0.04	-0.20	-0.20	-0.19	0.07	-0.04	-0.01	0.04	-0.12	1.00							
Cd_raiz	0.11	0.02	-0.38	-0.45	0.47	-0.58	-0.19	-0.19	-0.19	-0.71	-0.75	-0.45	-0.56	-0.41	-0.07	1.00						
Cd_tallo	0.17	0.11	-0.44	-0.48	0.24	-0.62	-0.22	-0.21	-0.21	-0.67	-0.76	-0.38	-0.59	-0.44	-0.07	0.82	1.00					
Cd_hoja	0.13	0.01	-0.34	0.42	0.32	-0.52	-0.22	-0.22	-0.22	-0.65	-0.71	-0.37	-0.50	-0.38	-0.08	0.85	0.81	1.00				
Cd_cáscara	1.5E-03	-0.03	-0.37	-0.40	0.23	-0.58	-0.29	-0.29	-0.29	-0.67	-0.73	-0.54	-0.30	-0.08	0.66	0.77	0.74	1.00				
Cd_testa	0.03	-0.02	-0.27	-0.32	0.20	-0.34	-0.33	-0.33	-0.32	-0.44	-0.49	-0.24	-0.32	-0.26	-0.06	0.59	0.71	0.55	0.50	1.00		
Cd_almendra	0.07	0.11	-0.27	-0.37	0.34	-0.44	-0.28	-0.28	-0.28	-0.54	-0.58	-0.34	-0.39	-0.34	-0.09	0.74	0.75	0.73	0.75	0.75	1.00	
Altitud	0.09	0.14	0.19	0.42	-0.14	0.63	0.53	0.53	0.53	0.52	0.59	0.28	0.58	0.36	0.08	-0.58	-0.61	-0.63	-0.67	-0.47	-0.55	1.00

	Cd_30	Cd_60	pH_30	CE_30	P_30	K_30	C_30	MO_30	N_30	CIC_30	Ca_30	Mg_30	K_301	Na_30	Al_30	Cd_raiz	Cd_tallo	Cd_hoja	Cd_cáscara	Cd_testa	Cd_almendra	A
Cd_30																						
Cd_60	0.0010																					
pH_30	0.7874	0.6929																				
CE_30	0.4660	0.6672	<0.0001																			
P_30	0.0911	0.2926	0.6629	0.8017																		
K_30	0.2465	0.1889	0.0130	<0.0001	0.0656																	
C_30	0.2070	0.2448	0.9107	0.1691	0.3263	0.0146																
MO_30	0.2072	0.2435	0.9090	0.1694	0.3236	0.0147	<0.0001															
N_30	0.2039	0.2451	0.9179	0.1577	0.3217	0.0139	<0.0001	<0.0001														
CIC_30	0.2123	0.6897	0.0023	0.0041	0.0001	0.8411	0.8459	0.8851														
Ca_30	0.3122	0.8318	<0.0001	0.0001	0.0061	<0.0001	0.4049	0.4088	0.4381	<0.0001												
Mg_30	0.4196	0.7658	0.0038	0.0453	0.0115	0.0006	0.8279	0.8329	0.8551	<0.0001	<0.0001											
K_301	0.3958	0.3293	0.0202	0.0002	0.1991	<0.0001	0.0201	0.0202	0.0192	<0.0001	<0.0001	0.0004										
Na_30	0.3862	0.1522	0.0019	<0.0001	0.3670	<0.0001	0.1521	0.1520	0.1347	0.0005	0.0001	0.0023	0.0003									
Al_30	0.7486	0.8606	0.0078	0.3342	0.3430	0.7670	0.1481	0.1487	0.1570	0.6164	0.7533	0.9139	0.7958	0.3833								
Cd_raiz	0.4328	0.8975	0.0035	0.0006	0.0002	<0.0001	0.1527	0.1547	0.1636	<0.0001	<0.0001	0.0005	<0.0001	0.0019	0.5980							
Cd_tallo	0.2155	0.4210	0.0006	0.0002	0.0757	<0.0001	0.1107	0.1118	0.1201	<0.0001	<0.0001	0.0039	<0.0001	0.0006	0.6094	<0.0001						
Cd_hoja	0.3365	0.9238	0.0104	0.0014	0.0176	<0.0001	0.0983	0.0994	0.1077	<0.0001	<0.0001	0.0056	0.0001	0.0034	0.5811	<0.0001	<0.0001					
Cd_cáscara	0.9915	0.8084	0.0050	0.0025	0.0038	<0.0001	0.0283	0.0286	0.0293	<0.0001	<0.0001	0.0136	<0.0001	0.0238	0.5598	<0.0001	<0.0001	<0.0001	<0.0001	<0.0001		
Cd_testa	0.7589	0.9042	0.0453	0.0169	0.1415	0.0095	0.0141	0.0142	0.0149	0.0007	0.0001	0.0726	0.0154	0.0527	0.6626	<0.0001	<0.0001	<0.0001	<0.0001	0.0001	<0.0001	
Cd_almendra	0.6203	0.4082	0.0478	0.0051	0.0100	0.0006	0.0391	0.0395	0.0385	<0.0001	<0.0001	0.0109	0.0028	0.0116	0.5162	<0.0001	<0.0001	<0.0001	<0.0001	<0.0001	<0.0001	
Altitud	0.5075	0.3210	0.1656	0.0014	0.2867	<0.0001	<0.0001	<0.0001	<0.0001	<0.0001	<0.0001	0.0402	<0.0001	0.0068	0.5557	<0.0001	<0.0001	<0.0001	<0.0001	<0.0001	<0.0001	

Lambda	Valor	Proporción	Prop	Acum
1	9.00	0.41	0.41	
2	3.32	0.15	0.56	
3	1.83	0.08	0.64	
4	1.52	0.07	0.71	
5	1.15	0.05	0.76	
6	1.03	0.05	0.81	
7	0.70	0.03	0.84	
8	0.60	0.03	0.87	
9	0.57	0.03	0.90	
10	0.47	0.02	0.92	
11	0.40	0.02	0.94	
12	0.33	0.01	0.95	
13	0.31	0.01	0.96	
14	0.25	0.01	0.98	
15	0.20	0.01	0.98	
16	0.12	0.01	0.99	
17	0.11	0.01	1.00	
18	0.06	2.6E-03	1.00	
19	0.03	1.5E-03	1.00	
20	0.02	7.6E-04	1.00	
21	3.5E-04	1.6E-05	1.00	
22	2.1E-06	9.7E-08	1.00	

VARIABLES	e1	e2
Cd_30	0.03	0.22
Cd_60	0.01	0.18
pH_30	-0.17	-0.11
CE_30	-0.21	0.01
P_30	0.11	0.24
K_30	-0.27	-2.9E-03
C_30	-0.13	0.48
MO_30	-0.13	0.48
N_30	-0.13	0.48

CIC_30	-0.27	-0.20
Ca_30	-0.29	-0.15
Mg_30	-0.18	-0.16
K_301	-0.25	4.6E-03
Na_30	-0.20	-0.03
Al_30	9.5E-04	-0.13
Cd_raiz	0.29	0.10
Cd_tallo	0.29	0.07
Cd_hoja	0.28	0.06
Cd_cáscara	0.27	-0.01
Cd_testa	0.22	-0.05
Cd_almendra	0.26	0.01
Altitud	-0.25	0.17

Correlaciones con las variables originales

Variables	CP 1	CP 2
Cd_30	0.10	0.39
Cd_60	0.04	0.33
pH_30	-0.50	-0.19
CE_30	-0.62	0.02
P_30	0.34	0.43
K_30	-0.80	-0.01
C_30	-0.40	0.88
MO_30	-0.40	0.88
N_30	-0.40	0.88
CIC_30	-0.80	-0.37
Ca_30	-0.87	-0.27
Mg_30	-0.55	-0.29
K_301	-0.76	0.01
Na_30	-0.59	-0.06
Al_30	2.9E-03	-0.23
Cd_raiz	0.86	0.17
Cd_tallo	0.88	0.13
Cd_hoja	0.83	0.10
Cd_cáscara	0.80	-0.02
Cd_testa	0.66	-0.09
Cd_almendra	0.78	0.02
Altitud	-0.76	0.31